

B.I.G.

INSTITUTUL GEOLOGIC

DĂRI DE SEAMĂ
ALE
ȘEDINȚELOR

VOL. LVII
1969 - 1970

2. ZĂCĂMINTE

BUCUREȘTI
1971



Institutul Geologic al României



Institutul Geologic al României

INSTITUTUL GEOLOGIC

DĂRI DE SEAMĂ

ALE
ȘEDINȚELOR

VOL. LVII
(1969—1970)

2. ZĂCĂMINTE



BUCUREŞTI
1971



Institutul Geologic al României

CONSIDERAȚII CHIMICO-STATISTICE ASUPRA GENEZEI
MINERALIZAȚIEI DE LA ALTÎN TEPE¹

DE

VIRGIL IANOVICI², ALEXANDRU DIMITRIU, PETRE ANDĂR³

Abstract

Chemical-Statistical Considerations on the Genesis of the Altîn Tepe Mineralization. By means of the statistical mathematics methods there have been determined the character of the statistical distribution and the parameters (arithmetical mean \bar{x} , geometrical mean \bar{g} , square mean deviation, s , variation degree, v , and the heterogeneous coefficient ϕ) of copper and sulphur contents (Table 1 and 2, Plate I). Both the copper and the sulphur present a marqued heterogeneousness within the deposit. Systematically the distribution of sulphur is asymmetrical; by using the parabole method it may be proved that it constitutes associations of two or three normal distributions (Fig. 1–3). The heterogeneous character of the distribution of sulphur is an important argument in favour of the hypothesis implying a mixed genesis for the mineralization, and namely the volcanogenous-sedimentary genesis, followed by other processes among which the hydrothermal ones have displayed a large development.

În vederea unei cunoașteri mai aprofundate a geochimicii zăcămîntului de la Altîn Tepe, care să conduceă îndeosebi la precizarea trăsăturilor esențiale ale variabilității conținuturilor în compoziții utile (cupru și sulf) și, de asemenea, a genezei mineralizației, au fost interpretate statistic datele de analiză chimică (conținuturile de Cu și S) figurate în rapoartele privind situația rezervelor.^{4, 5, 6}

Rezultatele obținute, cu privire atât la mineralizația compactă, cit și de impregnație, precizează trăsăturile caracteristice ale geochimiei

¹ Comunicare în ședință din 9.1.1970.

² M.I.M.G. — D.G. Bd. Magheru 33 București.

³ Institutul Geologic, Șos. Kiseleff 55, București.

⁴ C. Roșca. Raport de rezerve. 1965. Arh. M.I.M.G. București.

⁵ Z. Albu, I. Udrean. Raport geologic minier. 1965. Arh. M.I.M.G. București.

⁶ Elena Dumitru. Raport geologic minier cu situația rezervelor de pirită cupriferă de la zăcămîntul Altîn Tepe. 1965. Arh. M.I.M.G. București.



cuprului și sulfului în zăcămînt și fundamentează statistic ipoteza genezei mixte a mineralizației.

Mineralizația din zona Altîn Tepe, localizată în partea superioară a zonei metamorfice în apropierea contactului cu seria șisturilor verzi, se prezintă sub două aspecte: compactă, constituind corpuri lenticulare, și de impregnație, asociată sau nu mineralizației compacte.

Copurile de minereu cu forme lenticulare sunt concordanțe cu șistozitatea principală a rocilor înconjurătoare și plonjează spre SE conform structurii regionale a acestor roci. Ele sunt constituite, în principal, din pirită și magnetit, cărora li se asociază calcopirită și în mod cu totul subordonat, oligistul, blenda, bornitul, galena, pirotina, covelina. Participarea diferită a piritei și a magnetitei determină existența unor zone predominant piroase sau magnetitice, dintre care primele dău caracteristica zăcămîntului.

Zonele de impregnație sunt caracterizate prin abundența piritei, care apare fie în cristale milimetrice, fie în filonașe și cuiburi alungite, dispuse paralel cu șistozitatea rocilor gazdă. Uneori apar lentile mici de pirită și calcopirită cu aceleași caracteristici ca ale minereului piroz compact. Magnetitul apare rar, ca granule și filonașe subțiri. Calcopirita apare frecvent ca plaje și filonașe în ganga de cuart.

Cunoașterea geologiei și petrografiei zăcămîntului de la Altîn Tepe au făcut obiectul a numeroase cercetări încă de la începutul secolului (Pascu, 1904). Cele mai recente cercetări au fost efectuate de către Ionescu et al.⁷ și Dimitriu, Andăr⁸.

În ceea ce privește geneza mineralizației au fost emise cîteva ipoteze: ipoteza injectiei, care atribuie minereului o origine magmatică (Pascu 1907); ipoteza „dublei geneze”, care consideră că magnetitul și pirita sunt sedimentogene, iar că calcopirita, blenda, galena și alte minerale au fost depuse din soluții hidrotermale într-o fază postmetamorfică (Codreanu, Petruțian, 1948)⁹; ipoteza originei sedimentare (Gheorghiu, 1958), și ipoteza vulcanogen sedimentară (Krautner 1965; Mureșan 1967).

Au fost cercetate statistic îndeosebi două probleme: a) variabilitatea conținuturilor de cupru și sulf și b) omogenitatea repartiției conținuturilor de sulf în cuprinsul zăcămîntului. Metodele utilizate au fost

⁷ C. Ionescu, V. Ignat, Veneta Codarcea, M. Mureșan, R. Cioceanea, V. Botoran, G. Grecescu. Raport geologic asupra regiunii Altîn Tepe-Glamură de Sus. 1960. Arh. M.I.M.G. București.

⁸ A.I. Dimitriu, P. Andăr. Studii statistică-matematice asupra geochemical zăcămîntului de la Altîn Tepe. 1967. Arh. Com. Stat. Geol., București.

TABELUL 1

Tipul și parametrii distribuției Cu % în mineralizația de sulfuri și magnetit de la Altin Tepe

Mineralizare compactă				Mineralizare de impregnare							
Natura distribuției		\bar{x}	$s_{\bar{x}}$	v	p	Natura distribuției		\bar{x}	$s_{\bar{x}}$	v	p
$H_0 = \lg n$		K	E	$H_0 = \lg n$		K	E				
Lentila I orizontul - 300 m											
3,00	1,16	2,26	1,08	47,79	0,72	3,40	2,00	0,62	1,09	115,27	0,63
Lentila I orizontul 350 - 400 m											
2,73	0,74	1,72	1,15	66,86	0,75	1,62	0,24	0,37	,05	283,78	0,59
Lentila I orizontul - 400 m											
13,40	2,11	1,26	1,20	95,24	0,71	-	-	-	-	-	0,79
Lentila II											
7,45	5,52	2,05	1,12	54,63	0,71	3,69	0,38	0,46	1,12	243,48	0,59
Lentila II *											
0,55 (2,33)	2,58 (0,19)	1,79 (2,04)	1,06 (1,04)	50,22 (50,98)	0,68	1,15	1,56	0,61	1,14	186,88	0,57
Lentila III											
6,04	8,55	2,87	1,07	37,23	0,72	0,75	0,83	0,62	1,07	172,58	0,55
Lentila IV											
1,27	1,13	1,69	1,08	63,90	0,66	-	-	-	-	-	-

* Distribuția statistică s-a verificat atât ca lognormală, cât și ca normală (valorile sunt figurate în paranteze).

descrise în mare parte în lucrările anterioare (I a n o v i c i , D i m i t r i u , 1965, 1966, 1967).

a) Variabilitatea conținuturilor de cupru și sulf a fost caracterizată prin următoarele aspecte cantitative: caracterul distribuțiilor statistice, parametrii centrului de grupare (media aritmetică, \bar{x} , media geometrică, \tilde{x}) și parametrii de impreăștiere (abalarea medie pătratică, s , gradul de variație, v , și coeficientul de neuniformitate, ρ).

În vederea stabilirii trăsăturilor esențiale ale distribuțiilor au fost construite histogramme de repartiție (pl. I). În cazul sulfului a fost cercetată distribuția valorilor aritmetice, iar pentru cupru — valorile logaritmice în baza zece — corespunzător modelelor geologice ale distribuției acestor componente, evidențiată de cercetările petrografice și mineralogice¹⁰. Rezultatele verificării lognormalității distribuției cuprului (metoda momentelor) și valorile parametrilor statistică sint prezentate în tabelul 1.

b) Omogenitatea repartiției conținuturilor de sulf a fost cercetată prin metoda parabolei (I a n o v i c i , D i m i t r i u , 1967) și metoda inter-

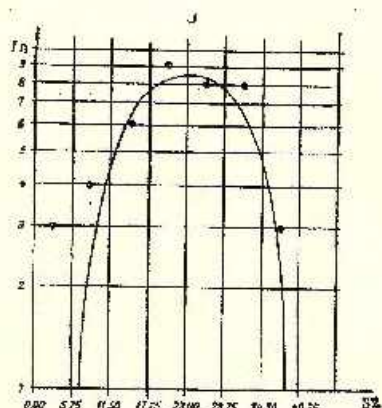


Fig. 1. — Caracterul omogen (prezența unei singure colectivități) al distribuției sulfului în mineralizația compactă din lenta IV, pus în evidență prin metoda parabolei (număr de valori = 41).

Caractère homogène (la présence d'une seule collectivité) de la distribution du soufre dans la minéralisation compacte de la lentille IV, mis en évidence par la méthode de la parabole (nombre de valeurs = 41).

valelor de încredere (D i m i t r i u)¹¹. Cercetările au fost restrinse la omogenitatea repartiției sulfului ținând seama de particularitățile pe care le prezintă repartiția acestui element.

Cu ajutorul metodei parabolei, bazată pe notarea frecvențelor absolute pe hîrtie semilogaritmică, au fost separate, două pînă la trei subcolec-

⁹ A. I. Codarcea, N. Petruțian. Zăcămîntul de pirite cupriteră de la Altin Tepe, 1948. Arh. Inst. Geol. București.

¹⁰ Op. cit. pet. 7.

¹¹ A. I. Dimitriu. Observații asupra preciziei analizei dispersionale. Sesiunea științifică a Centrului de Calcul economic și cibernetică economică 1968. București.

tivități (A, B, C) (fig. 1-3). Fiecărei subcolectivități, corespunzător lentilelor cercetate, s-au calculat parametrii statistici (tab. 2).

În ceea ce privește aprecierea asemănării chimismului sulfului s-a adoptat o metodă bazată pe intersecția intervalor de încredere ale mediei

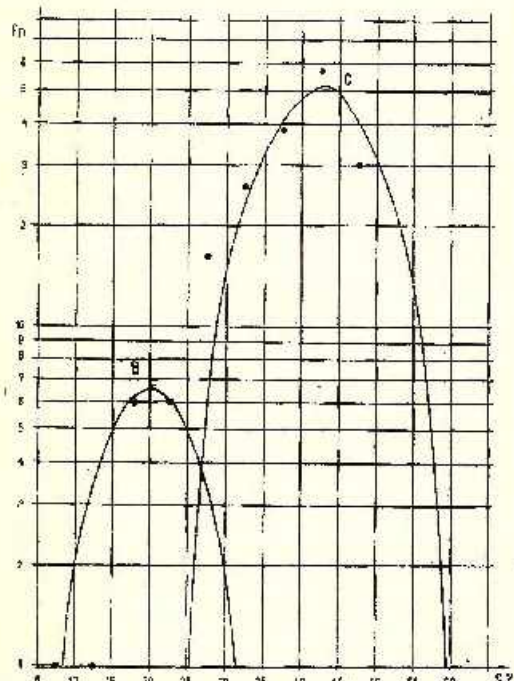


Fig. 2. — Caracterul eterogen (asocierea a două subcolectivități B și C) al distribuției sulfului în mineralizația compactă din lentila I, pus în evidență prin metoda parabolei (număr de valori = 181).

Caractère hétérogène (l'association de deux sous-collectivités B et C) de la distribution du soufre dans la minéralisation compacte de la lentille I, mis en évidence par la méthode de la parabole (nombre de valeurs = 181).

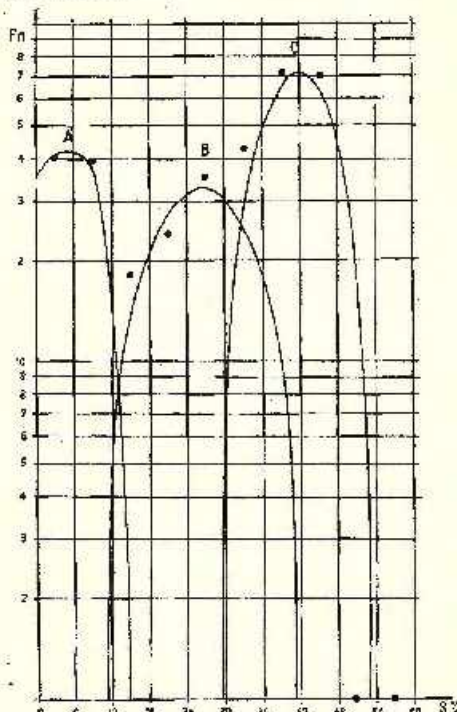


Fig. 3. — Caracterul eterogen (asocierea a trei subcolectivități A, B și C) al distribuției sulfului în mineralizația compactă din lentila II, pus în evidență prin metoda parabolei (număr de valori = 341).

Caractère hétérogène (l'association de trois sous-collectivités A, B et C) de la distribution du soufre dans la minéralisation compacte de la lentille II, mis en évidence par la méthode de la parabole (nombre de valeurs = 341).

aritmetice și dispersiei (Dimitrinu 1968). Stabilirea intervalelor de încredere s-a obținut cu ajutorul formulelor :

$$\begin{cases} \bar{x}_L = \bar{x} - t_{1-\alpha/2} \cdot s / \sqrt{n} \\ \bar{x}_U = \bar{x} + t_{\alpha/2} \cdot s / \sqrt{n} \end{cases}$$

respectiv,

$$\left\{ \begin{array}{l} s_1^2 = \frac{(n - 1) \cdot s^2}{\chi_{\frac{n}{2}; n-1}^2} \\ s_2^2 = \frac{(n - 1) \cdot s^2}{\chi_{1 - \frac{q}{2}; n-1}^2} \end{array} \right.$$

în care: $\bar{\chi}_1$ și s_1^2 reprezintă limitele inferioare ale intervalului în care se găsește speranța matematică, respectiv dispersia teoretică; \bar{s}_2 și s_2^2 — limitele superioare ale intervalului; $t_{1 - \frac{q}{2}}$ — mărimea criteriului Student la un risc $q = 0,05$; χ^2 — mărimea criteriului χ^2 la un risc q și $1 - q$; n — volumul selecției.

În acest mod s-au calculat intervalele de incredere atât pentru media aritmetică și dispersia conținuturilor de sulf în fiecare lentilă, cât și pentru media aritmetică și dispersia generală — parametrii statistici ai ansamblului lentilelor I, II și III.

Rezultatele obținute evidențiază următoarele trăsături caracteristice ale geochimiei și genezei mineralizației:

1 — Distribuția statistică a cuprului în mineralizația compactă se abate în general de la lognormalitate — proprietatea elementelor chimice care se prezintă sub forma unui singur mineral — argumentând asupra prezenței în zăcământ a calcopiritei de donă generații (cazul lentilelor I, II și III) și uneori, a încă unei serii de minerale (lentila II, în care este dezvoltată o zonă de oxidație) (pl. I; tab. 1).

Potrivit datelor mineralogice, cele două generații de calcopirită reflectă două stadii principale de formare a acestui mineral¹².

2 — Distribuția statistică a cuprului în mineralizația de impregnație este în mod sistematic lognormală (pl. I; tab. 1), argumentând asupra prezenței în mod preponderent a calcopiritei de o singură generație. Considerăm, pe baza variației pronunțate a indicatorilor statistici (tab. 1) și a datelor mineralogice că, în zonele de impregnație, calcopirita este posibil să fie depusă din soluții hidrotermale.

3 — Repartiția în zăcământ a cuprului este neuniformă, reflectând îndeosebi depunerea sa prin procese care se desfășoară spațial în funcție de numeroși factori — cazul proceselor hidrotermale. În acest sens interpretăm fluctuațiile parametrilor statistici de la o lentilă la alta, mai ales

¹² Op. cit. pet. 7

TABELUL 2
Parametrii distribuției S % în intervalele de adâncimi și magnetice de la Altin Tepe

P	$\frac{m}{m}$	Mineralizare compactă										Interacțiunea de imprengere																														
		distincții parțiale					C					districții de lărgire pe puncte p și pe puncte obiectivelor C					districții parțiale																									
		n	X	s	(X ₀ ; X ₁)	(σ_0^2 ; σ_1^2)	n	X	s	(X ₀ ; X ₁)	(σ_0^2 ; σ_1^2)	n	X	s	(X ₀ ; X ₁)	(σ_0^2 ; σ_1^2)	n	X	s	(X ₀ ; X ₁)	(σ_0^2 ; σ_1^2)																					
Lărgime I orientație = 300 - 100 m																																										
0,31	2,77	-	-	-	-	-	31	20,66	6,39	[20,32; 33,00]	[55,84; 72,30]	20,78	65	42,90	9,39	[42,26; 51,62]	[5,52; 119,32]	6,64	[7,44; 29,60]	[23,77; 43,21]	0,24	3,62	43	[2,33; 1,28]	[1,81; 2,63]	[1,20; 3,03]	61,86	147	15,05	8,73	[4,12; 17,27]	[60,81; 109,03]	55,01	[9,43; 12,95]	[13,59; 19,45]							
Lărgime I orientație = 300 - 100 m																																										
0,54	-	-	-	-	-	-	-	-	-	-	-	-	69	33,09	7,77	[31,65; 35,49]	[54,83; 65,41]	23,48	[37,10; 46,11]	[22,53; 46,06]	0,73	-	-	-	-	-	-	-	47	5,73	3,41	6,77	[8,779	[8,651; 18,23]	45,09	[8,38; 13,19]	[4,38; 8,13]					
Lărgime I orientație = 300 - 100 m																																										
0,80	-	-	-	-	-	-	-	-	-	-	-	-	35	30,66	4,75	[25,68; 33,61]	[49,80; 53,73]	25,47	[30,73; 40,57]	[26,35; 51,97]	0,70	-	-	-	-	-	-	-	72	9,81	3,14	5,41	8,17	[5,09; 15,76]	16,11	[7,25; 14,23]	[5,09; 2,99]					
Lărgime I																																										
0,88	0,05	-	-	-	-	-	-	-	-	-	-	-	18	21,29	5,76	[18,12; 24,03]	[18,09; 74,03]	20,03	163	39,38	5,87	[38,47; 40,29]	[31,17; 45,09]	1,04	[37,10; 39,32]	[29,13; 41,19]	0,57	12,00	26	1,17	0,28	[0,21; 1,46]	[0,21; 6,01]	49,97	463	12,49	8,39	[11,67; 13,31]	[62,21; 70,62]	60,00	[9,08; 11,33]	[57,12; 55,20]
Lărgime II																																										
0,22	1,42	81	6,14	3,31	[3,28; 5,99]	[11,59; 21,59]	0,08	164	27,09	5,87	[25,62; 38,93]	[69,15; 92,64]	25,63	153	-0,98	+5,0	[49,25; 41,71]	[18,13; 57,64]	11,21	[27,70; 39,74]	[31,99; 41,89]	0,19	-	-	-	-	-	-	-	120	7,01	5,80	K220	[43,05; 109,02]	100,20	0,32	[12,16]	[11,64; 19,65]				
Lărgime III																																										
0,82	2,64	-	-	-	-	-	-	99	18,35	5,03	[7,18; 10,61]	[65,11; 45,04]	35,72	201	38,72	6,37	[36,77; 37,47]	[29,45; 37,72]	14,04	[37,37; 20,32]	[21,74; 49,19]	0,63	-	-	-	-	-	-	-	90	8,01	4,96	7,90	[9,08; 18,67]	[20,30]	64,40	[9,10; 19,43]	[5,28; 11,80]				
Lărgime I																																										
0,73	-	-	-	-	-	-	-	-	-	-	-	-	-	377	38,03	5,03	[38,19; 39,43]	[97,72; 95,79]	4,67	-	-	-	-	-	-	-	-	619	10,73	8,07	[9,10; 11,05]	[37,23; 35,30]	75,18	-	-	-						

a celor care informează direct asupra neuniformității : gradul de variație, și gradul de neuniformitate, ρ (tab. 1).

4 — Distribuția statistică a sulfului în mineralizația compactă prezintă, de regulă, asimetrie de dreapta, sugerind explicarea acesteia prin modelul distribuțiilor asociate (Iancovici, Dimitriu 1967). Testarea omogenității distribuțiilor prin metoda parabolci a arătat că, în adevăr, ele constituie asociații a cîte două sau trei subcolectivități, distribuite normal : cazul lentilelor I și III, respectiv lenta II (tab. 2 ; fig. 2 și 3).

Atribuim subcolectivitățile din domeniul conținutelor de sulf relativ mari (subcolectivitățile C) ca aparținind unor sulfuri de origine vulcanogen-sedimentară, iar subcolectivitățile caracterizate prin conținuturi mijlocii (subcolectivitățile B) eventual unei origini hidrotermale. În ceea ce privește subcolectivitatea cu valorile cele mai mici (subcolectivitatea A), ea ar corespunde proceselor secundare de mineralizare cu sulfuri din zona de oxidație (bornit, covelină, calcozină), prezente în lenta II, care are în mod evident această particularitate¹³.

5 — Amploarea proceselor ulterioare (probabil hidrotermale) variază de la o lentilă la alta, ea fiind cea mai mare în cazul lentilei III și minimă în lenta I ; atribuim o ampolare mijlocie în ceea ce privește lenta II. În acest sens argumentează participarea diferită a subcolectivităților B, presupunând că fiind în legătură cu procesele ulterioare, față de subcolectivitățile C, aparținând posibil proceselor vulcanogen sedimentare (valorile raportului n_c/n_B , tab. 2).

Concluziile mai importante sunt următoarele :

a) Geneza mineralizației compacțe este mixtă și anume, vulcanogen-sedimentară, căreia i-au urmat alte procese, dintre care cele hidrotermale au avut probabil un rol important ;

b) Mineralizația de impregnație constituie propriu-zis un aport al proceselor ulterioare ;

c) Distribuția spațială a cuprului, cît și a sulfului este neuniformă.

BIBLIOGRAFIE

- Gheorghiu C. (1958) Considerații asupra genezei unor acumulări de sulfuri metalice și sisturile cristaline din R.P.R. An. Univ. C. I. Parhon, serie St. Nat., 18, București.

¹³ Op. cit. pet. 7.

- Ianovici V., Dimitriu A.I. (1965) Legi de distribuție a concentrației elementelor chimice în roci carbonatice. *Stud. cerc. geol. geof. geogr., seria geologică*, X/1, București.
- Dimitriu A.I. (1967) Natura statistică a distribuțiilor asymetrice în geoșimie. *Stud. cerc. geol. geof. geogr., seria geologică*, XII/1, București.
 - Dimitriu A.I. (1968) Fundamentarea concluziilor în geoșimie cu ajutorul statisticii matematice. *D. S. Com. Stat. Geol.* LIII/3, București.
- Kräutner H. (1965) Considerații genetice asupra zăcămintelor de sulfuri complexe din cratinalul Carpaților Orientali. *Stud. cerc. geol. geof. geogr., X/1*, București.
- Mureșan M. (1969) Studii asupra zăcămintului de pirită cu magnetit de la Altin Tepe. *D. S. Com. Stat. Geol.*, LIV/2, București.
- Pascu B. (1904) Studii geologice și miniere în județul Tulcea. *Bul. Minist. Agric., Ind., Com. și Domen.; Serv. Minel*, București.
- (1907) Zăcămîntul de minereuri de la Altin Tepe, județul Tulcea, Dobrogea. *Min. Petr. Rom.*, VII, București.

CONSÉDÉRATIONS CHIMIQUES-STATISTIQUES SUR LA GENÈSE DE LA MINÉRALISATION D'ALTÎN TEPE

(Résumé)

Cet exposé s'occupe de la géochimie et de la genèse de la minéralisation d'Altin Tepe, en interprétant du point de vue statistique les données d'analyse chimique concernant les teneurs en Cu et en S.

On a étudié statistiquement deux problèmes :

- 1) la variabilité des teneurs en Cu et en S
- 2) l'homogénéité de la répartition des teneurs en S dans le gisement.

La variabilité des teneurs en Cu et en S a été caractérisée à l'aide des méthodes statistiques mathématiques concernant l'établissement du type de distribution et l'estimation des paramètres du centre de groupement (la moyenne arithmétique \bar{X} , la moyenne géométrique \tilde{X}) ainsi que des paramètres de dissémination (l'écart type s , le degré de variation, et le coefficient de non uniformité) des teneurs en Cu et en S (tableau 1 et 2, pl. I).

L'homogénéité de la répartition des teneurs en S a été étudiée par la méthode de la parabole (Ianovici, Dimitriu, 1967). La distribution du soufre est systématiquement asymétrique; elle constitue des associations de deux ou trois distributions normales (fig. 1-3). Pour estimer la ressemblance du chimisme du soufre dans de différentes lentilles de minéral, on a adopté une méthode fondée sur l'intersection des intervalles de confiance de la moyenne arithmétique et de la dispersion (Dimitriu, 1968).

Les résultats obtenus à l'égard de la minéralisation compacte, ainsi que de l'imprégnation, précisent les traits caractéristiques de la géochimie du Cu et du S dans le gisement et confirme du point de vue chimique-statistique l'hypothèse de la genèse mixte de la minéralisation (Codarcea, Petruian, 1948).

Les conclusions les plus importantes sont les suivantes :



- a) La genèse de la minéralisation compacte peut être considérée comme volcanogène-sédimentaire, suivie d'autres processus parmi lesquels ceux hydrothermaux ont eu probablement un rôle important;
- b) La minéralisation d'imprégnation constitue proprement-dit un apport des processus ultérieurs;
- c) La distribution spatiale du Cu et du S est non uniforme.

EXPLICATION DE LA PLANCHE

Distribution statistique du Cu % et du S % dans le gisement d'Altin Tepe.
L — lentille; C — minéralisation compacte; i — minéralisation d'imprégnation.

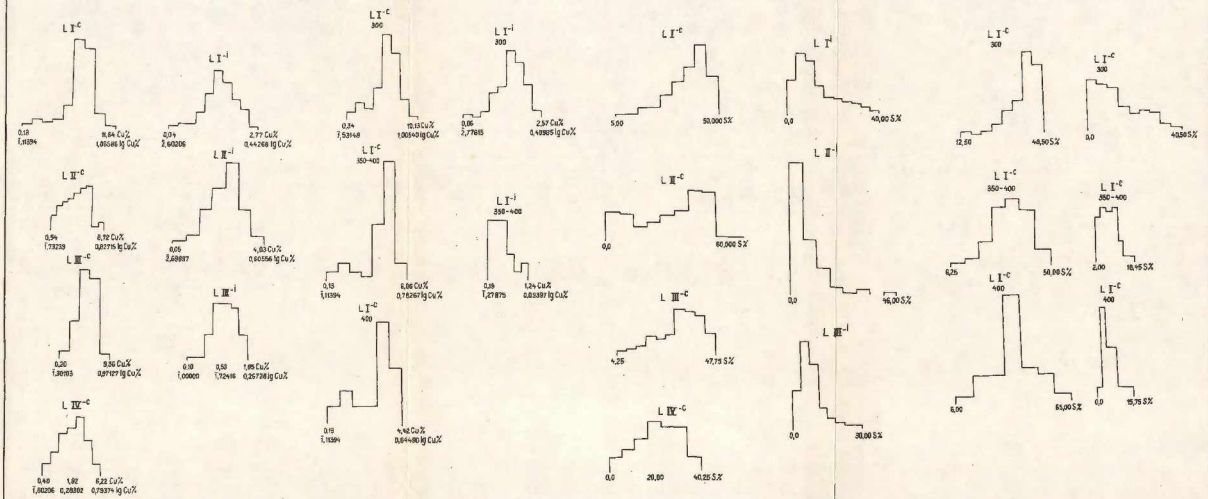




Institutul Geologic al României

DISTRIBUȚIA STATISTICĂ A Cu% și S% ÎN ZÂCĂMÎNTUL DE LA ALTIN TEPE

L-LENTILĂ C-MINERALIZAȚIE COMPACTĂ și MINERALIZAȚIE DE IMPREGNAȚIE



DETERMINAREA CONȚINUTULUI MEDIU ÎN COMPONENTI UTILI A REZERVELOR DE SUBSTANȚE MINERALE UTILE ÎN FUNCȚIE DE LEGEA DE DISTRIBUȚIE A ELEMENTELOR CHIMICE ÎN ZĂCĂMINTE¹

DE

VIRGIL IANOVICI², IULIU SILAȘ³

Résumé

Détermination de la teneur moyenne en composants utiles des réserves de substances minérales utiles par rapport à la loi de distribution des éléments chimiques dans les gisements. Pour évaluer les réserves de substances minérales utiles, on calcule les teneurs moyennes en composants utiles et nocifs à l'aide de la moyenne arithmétique, sans tenir compte de la loi de leur distribution dans les gisements. De cette manière, à cause du nombre réduit d'échantillons, les moyennes de sélection obtenues diffèrent vis-à-vis de celles réelles. Dans cet exposé, on indique une méthodologie pour calculer les composants chimiques qui consiste dans l'établissement de la loi de distribution et le calcul de la moyenne correspondante. En vue d'obtenir la loi de distribution, on indique d'effectuer certains changements de variable qui mènent à des distributions théoriquement connues. On présente comme exemple le cas où le changement de variable indiquée conduit à la distribution normale. Ainsi, hormis la distribution log-normale on introduit deux nouvelles distributions : exponentielle-normale et p-normale. En tous ces cas on indique le procédé à suivre pour calculer la teneur moyenne.

Scopul final al lucrărilor de cercetare geologică este stabilirea -- cit mai aproape de realitate -- a cantității și calității rezervelor de substanțe minerale utile. Cunoașterea cu o precizie avansată a rezervelor are o importanță deosebită la dimensionarea investițiilor, planificarea producției și realizarea planului în industria minieră.

Cu toată atenția care se acordă determinării rezervelor, din experiența practică rezultă că între rezervele calculate în urma lucrărilor

¹ Comunicare în ședință din 23 ianuarie 1970

² M.I.M.G. — D.G. strada Mendeleev 34

³ C.R.R.G. strada Dionisie Lupu 68



geologice executate și a celor obținute prin exploatare există totdeauna o diferență. Uneori această diferență se înscrie în limite acceptabile din punct de vedere practic. Dacă însă aceste diferențe sunt prea mari, ele pot avea consecințe economice grave.

Prin calcule simple (M u r g u 1963) se poate arăta că în cazul zăcămintelor de minereuri, neadeverirea prin exploatare a conținutului în compoziții utili, stabilit anterior, are urmări mult mai grave decât neconfirmarea cantității rezervelor. De aceea în cele ce urmează ne vom ocupa de problema stabilirii conținutului în compoziții utili.

În general, conținutul rezervelor extrase este mai mic decât acela calculat în zăcăminte, datorită în primul rînd pierderilor de minereu și diluării cu roci sterile în procesul de exploatare. Diluția și pierderile conduc la o diminuare firească a conținutului în compoziții utili și nu reflectă o neadeverire a calității rezervelor, stabilită prin lucrările geologice. Există însă alți factori care pot conduce la denaturarea conținutului mediu real din zăcăminte.

Dintre aceștia, în literatura de specialitate sunt analizați următorii: insuficiența desimii lucrarilor geologice sau a punctelor de probare; folosirea unor metode necorespunzătoare de probare sau aplicarea defectuoasă a unor metode adecvate; utilizarea unei scheme necorespunzătoare de pregătire și reducere a probelor în vederea efectuării analizelor chimice; erori de analiză chimică.

Existența acestor cauze, cît și influența lor asupra conținutului mediu calculat se poate stabili. Dacă numai acești factori ar influența exactitatea conținutului mediu calculat, acesta ar fi întotdeauna apropiat de conținutul real din zăcăminte. Descrii însă, lucrurile se petrec altfel. Cu toate precauțiile luate, cu toată analiza temeinică a factorilor menționați, conținutul mediu calculat, deseori nu se adeveresc în procesul de exploatare, chiar dacă se ține seama de diluție și de pierderi. Cauza principală a diferenței dintre conținuturile medii calculate și cele reale este — în afara celor menționate — utilizarea unor metode de calcul necorespunzătoare distribuției reale a compozițiilor chimice în zăcăminte.

În practica evaluării rezervelor de substanțe minerale utile, conținuturile medii se calculează prin media aritmetică simplă sau ponderată a datelor de analiză chimică, indiferent de legea de distribuție a compozițiilor utili în fiecare zăcămînt în parte.

În prezența lucrare ne propunem să indicăm modul de calculare a conținutului mediu, în concordanță cu legea de distribuție a compozițiilor utili.

Conținutul într-un anumit component util al unui zăcămînt oarecare este o variabilă aleatoare. Conținuturile tuturor probelor care să ar extrage dintr-un zăcămînt, pînă la epuizarea lui, constituie o colectivitate generală sau populație statistică.

Prin lucrările de cercetare geologică care se execută, se determină conținutul într-un număr relativ redus de puncte izolate. Conținuturile probelor recoltate reprezintă o selecție din populația statistică. Pe baza conținutului probelor recoltate se estimează conținutul mediu pe zăcămînt. Prin urmare, din punct de vedere teoretic, determinarea conținutului mediu al rezervelor este echivalentă cu estimarea mediei unei populații statisticice din datele unei selecții.

Media de selecție se calculează ca medie aritmetică. În baza teoremei limită centrală, media de selecție estimează absolut corect media colectivității generale, dacă volumul selecției tinde la infinit, indiferent de legea de distribuție a variabilei aleatoare considerate. Există un caz — distribuția variabilei aleatoare se supune legii normale Gauss-Laplace — cînd media de selecție estimează absolut corect media colectivității generale, chiar dacă volumul selecției este mai mic. Rezultă deci că media aritmetică a conținutului probelor recoltate dintr-un zăcămînt reprezintă conținutul mediu real în două cazuri: conținutul se distribuie după legea normală; numărul probelor este foarte mare (tinde la infinit), iar distribuția conținutului este oarecare.

În realitate, aceste condiții nu sunt îndeplinite, în majoritatea cazurilor. Astfel, conținutul foarte rar se distribuie după legea normală, iar numărul probelor recoltate este relativ mic, nefiind rațională din punct de vedere economic, îndesirea lucrărilor geologice peste o anumită limită. În această situație trebuie găsite alte căi pentru determinarea conținutului mediu real, renunțîndu-se la media aritmetică. Intrevedem două posibilități de rezolvare a problemei, pe care le prezentăm în cele ce urmează.

Caleul conținutului mediu în funcție de abaterea distribuției reale de la distribuția normală

După cum am arătat, dacă distribuția conținutului în zăcămînt corespunde legii normale, conținutul mediu pe zăcămînt este dat de media aritmetică a conținuturilor probelor recoltate. Cu cît mai mult se abate distribuția conținutului de la legea normală cu atît mai mult diferă media aritmetică de conținutul mediu real. Abaterea unei distribuții (unimodale) de la distribuția normală se caracterizează prin doi indicatori: asimetria

și excesul. Rezultă că din punct de vedere teoretic, conținutul mediu real este o funcție de media de selecție, asimetric și exces:

$$c_0 = F(\bar{c}, A, E) \quad (1)$$

c_0 — conținutul mediu real

\bar{c} — media de selecție (conținutul mediu aritmetic al probelor recoltate)

A — asimetria

E — excesul

Parametrii \bar{c} , A și E se calculează cu ajutorul datelor selecției după relațiile.

$$\bar{c} = \frac{\sum_{i=1}^n c_i}{n}; A = \frac{m_3}{\sigma^3}; E = \frac{m_4}{\sigma^4} - 3 \quad (2)$$

c_i — conținutul probei

m_3, m_4 — momentele centrate de ordinul 3, respectiv 4

σ — abaterea medie pătratică

Pentru determinarea conținutului real ar fi necesară stabilirea expresiei analitice a funcției (1). Odată această funcție stabilită, relația (1) se poate aplica oricărui zăcămînt, condițiile concrete fiind cuprinse în parametrii \bar{c} , A și E care diferă de la un zăcămînt la altul. Considerînd că stabilirea expresiei analitice a funcției (1) este dificilă, vom rezolva problema în a două variantă.

CALCULUL CONȚINUTULUI CORESPUNZĂTOR DISTRIBUȚIEI REALE A COMPONEȚEILOR UTILI

Fie x o variabilă alcătoare, cu funcția de frecvență (densitatea de probabilitate) $f(x)$. Media x_0 a colectivității generale este dată de expresia:

$$x_0 = \int_{-\infty}^{+\infty} x f(x) dx \quad (3)$$

Rezultă că pentru calcularea conținutului mediu real dintr-un zăcămînt trebuie rezolvate două probleme: a) Aflarea funcției de frecvență $f(c)$ a conținutului; b) Calcularea integralci (3).

În principiu, funcția de frecvență (densitatea de probabilitate) se va determina introducîndu-se în locul conținutului c o nouă variabilă x , prin schimbarea $x = g(c)$, astfel ca distribuția variabilei x să se supună unei legi de distribuție cunoscute. Pentru a face o alegere, vom determina funcția $x = g(c)$, astfel ca distribuția variabilei x să fie normală.



Funcția de frecvență a distribuției normale este :

$$n(x) = \frac{1}{\sigma_x \sqrt{2\pi}} e^{-\frac{(x - \bar{x})^2}{2\sigma_x^2}} \quad (4)$$

unde :

\bar{x} — media aritmetică a variabilei x

σ_x — abaterea medie pătratică a variabilei x

Fie deci $f(c)$ funcția de frecvență a conținutului, funcție pe care nu o cunoaștem și ne propunem să o determinăm. Să presupunem că există o funcție $g(c)$, astfel ca în urma schimbării de variabilă :

$$x = g(c) \text{ sau } c = g^{-1}(x) \quad (5)$$

distribuția variabilei x să fie normală, având funcția de frecvență (4). În aceste condiții, funcția de frecvență căutată a conținutului c este :

$$f(c) = \frac{1}{\sigma_x \sqrt{2\pi}} \cdot e^{-\frac{(g(c) - \bar{x})^2}{2\sigma_x^2}} g'(c) \, dc \quad (6)$$

Tinind seama de relația (3), conținutul mediu real, corespunzător repartiției în zăcăminte a componentelor utili este :

$$c_0 = \frac{1}{\sigma_x \sqrt{2\pi}} \int_0^{+\infty} c \cdot e^{-\frac{(g(c) - \bar{x})^2}{2\sigma_x^2}} g'(c) \, dc \quad (7)$$

Deoarece conținutul nu poate lua valori negative, limita inferioară a integralei s-a luat 0.

Pentru ușurarea calculării integralei (7), uneori este utilă efectuarea schimbării de variabilă :

$$\frac{g(c) - \bar{x}}{\sigma_x} = t \quad (8)$$

Din (8) rezultă :

$$c = g^{-1}(\sigma_x t + \bar{x}); g'(c) \, dc = \sigma_x \, dt \quad (9)$$

Înlocuind (8) și (9) în (7) se obține :

$$c_0 = \frac{1}{\sqrt{2\pi}} \int_{t_1}^{t_2} g^{-1}(\sigma_x t + \bar{x}) e^{-\frac{t^2}{2}} \, dt \quad (10)$$

unde :

$$t_1 = \lim_{c \rightarrow 0} \frac{g(c) - \bar{x}}{\sigma_x} \text{ și } t_2 = \lim_{c \rightarrow +\infty} \frac{g(c) - \bar{x}}{\sigma_x}$$

În (9) și (10) s-a notat cu $g^{-1}(y)$, funcția inversă a funcției $g(y)$.



Pentru a afla explicit densitatea de posibilitate $f(c)$ trebuie găsită expresia analitică a funcției $g(c)$ pe care o vom numi funcție de normalizare.

Graficul funcției de frecvență a distribuției normale este o curbă simetrică față de mediană, având modulul, mediană și media egale. În majoritatea cazurilor conținutul în compoziții utili se distribuie asimetric,

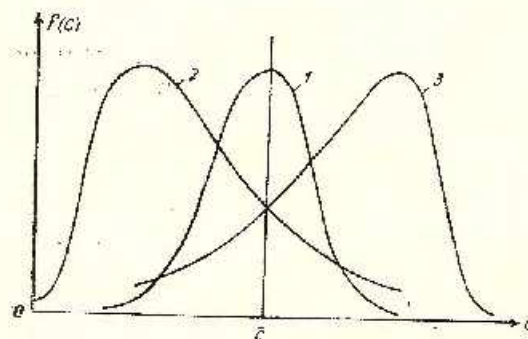


Fig. — Reprezentarea grafică a trei funcții de frecvență, una normală și două asimetrice (pozitivă și negativă).
Plotting of three functions of frequency, one normal and two asymmetrical (positive and negative).

adică maximul funcției de frecvență este deviat fie spre dreapta fie spre stânga față de media aritmetică. O distribuție prezintă o asimetrie pozitivă sau dreaptă, dacă media aritmetică se află la dreapta punctului de maxim al funcției de frecvență și negativă sau stângă în cazul invers. În cazul asimetriei pozitive, media aritmetică supraestimează conținutul mediului real, iar în cazul asimetriei negative îl subevaluează.

Din figura 1 reiese că pentru transformarea unei distribuții asimetrice pozitive sau negative într-o simetrică, trebuie efectuată o schimbare de variabilă care să deplaseze maximul curbei spre dreapta, respectiv spre stânga.

În cele ce urmează vom indica unele funcții de normalizare.

Distribuții asimetrice pozitive. Deplasarea spre dreapta a maximului unei curbe se poate realiza prin următoarele schimbări de variabile:

- | | |
|------------------|---------------------|
| 1) $x = \lg_a c$ | $(a > 0; a \neq 1)$ |
| 2) $x = c^p$ | $(p < 1)$ |
| 3) $x = a^c$ | $(0 < a < 1)$ |
- (11)

Distribuții asimetrice negative. În acest caz se pot folosi următoarele funcții de normalizare:

- | | |
|--------------|-----------|
| 1) $x = c^p$ | $(p > 1)$ |
| 2) $x = a^c$ | $(a > 1)$ |
- (12)

Pentru a normaliza o distribuție asimetrică se procedază astfel: se repartizează probele recoltate din zăcămînt pe clase de conținuturi, formîndu-se astfel distribuția empirică, care reprezentată grafic indică sensul asimetriei (pozitivă sau negativă). În funcție de sensul asimetriei se efectuează o schimbare de variabilă corespunzătoare $x = g(c)$, stabilindu-se distribuția empirică a variabilei x . Dacă în urma acestei schimbări de variabilă se obține din nou o distribuție asimetrică, se continuă procesul de normalizare. Cînd — prin procesul de normalizare — s-a ajuns la o distribuție aproximativ simetrică, se verifică normalitatea ei printr-un criteriu oarecare de semnificativ (ex. Kolmogorov, hi-pătrat etc.). Dacă s-a ajuns la o distribuție care nu diferă semnificativ de distribuția normală se scrie expresia funcției de frecvență $f(c)$ după formula (6) care introdusă în integrală (7) sau (10) conduce la conținutul mediu real pe zăcămînt.

În continuare se va determina funcția de frecvență și conținutul mediu corespunzător fiecăriei din funcțiile de normalizare indicate.

După natura funcției de normalizare utilizate vom numi distribuțiile respective log-normale, p-normale și exponential-normale.

Distribuția log-normală Dacă funcția de normalizare este $x = \log_a c$, atunci distribuția conținutului se numește log-normală.

Funcția de frecvență

Fie $x = \log_a c$. Avem $g(c) = \log_a c = \frac{\ln c}{\ln a}$; $g'(c) = \frac{1}{c \ln a}$

$$\bar{x} = \frac{\sum_{i=1}^n \ln c_i}{n \ln a} = \overline{\log_a c}; \quad \sigma_x = \sqrt{\frac{\sum_{i=1}^n (x_i - \bar{x})^2}{n-1}} = \sqrt{\frac{\sum_{i=1}^n (\log_a c_i - \bar{x})^2}{n-1}}$$

Înlocuind aceste valori în relația (6) se obține expresia funcției de frecvență a distribuției log-normale:

$$f(c) = \frac{1}{\sigma_x \sqrt{2\pi} c \ln a} e^{-\frac{(\log_a c - \bar{x})^2}{2\sigma_x^2}} \quad (13)$$



Conținutul mediu

Înlocuind în integrala (10) $g^{-1}(\sigma_x t + \bar{x}) = e^{(\sigma_x t + \bar{x}) \ln a}$ și $t_1 = \lim_{\sigma \rightarrow 0} \frac{\log_a c - \bar{x}}{\sigma_x}$
 $\rightarrow -\infty$; $t_2 = \lim_{t \rightarrow \infty} \frac{\log_a c - \bar{x}}{\sigma_x} = +\infty$, se obține:

$$c_0 = -\frac{1}{\sqrt{2\pi}} \int_{-\infty}^{+\infty} e^{(\sigma_x t + \bar{x}) \ln a - \frac{t^2}{2}} dt$$

$$c_0 = -\frac{1}{\sqrt{2\pi}} \int_{-\infty}^{+\infty} e^{-\frac{(t - \sigma_x \ln a)^2}{2} + \frac{(\sigma_x \ln a)^2}{2} + \bar{x} \ln a} dt$$

$$c_0 = \frac{1}{\sqrt{2\pi}} e^{\frac{(\sigma_x \ln a)^2}{2}} + \bar{x} \ln a \int_{-\infty}^{+\infty} e^{-\frac{(t - \sigma_x \ln a)^2}{2}} dt$$

Notând $\frac{t}{\sqrt{2}} - \frac{\sigma_x \sqrt{2} \ln a}{2} = u$, se obține:

$$c_0 = \frac{1}{\sqrt{\pi}} e^{\frac{-\bar{x} \ln a + \frac{(\sigma_x \ln a)^2}{2}}{2}} \int_{-\infty}^{+\infty} e^{-u^2} du$$

Dar $\int_{-\infty}^{+\infty} e^{-u^2} du = \sqrt{\pi}$, deci:

$$c_0 = e^{\frac{-\bar{x} \ln a + \frac{(\sigma_x \ln a)^2}{2}}{2}}$$

$c = k \cdot t^n$

(14)

Cazuri particolare

$$\text{Pentru } a = e \rightarrow x = \ln c \rightarrow c_0 = e^{\frac{-\bar{x}}{2} + \frac{\sigma_x^2}{2}} \quad (15)$$

$$\text{Pentru } a = 10 \rightarrow x = \lg c \rightarrow c_0 = e^{\frac{-\bar{x} \ln 10 + 2,05 \sigma_x^2}{2}} \quad (16)$$

Distribuția p-normală (normală de gradul p). Numim distribuția variabilei c p-normală sau normală de gradul p, dacă distribuția variabilei $x = c^p$ este normală.

Funcția de frecvență

Înlocuind în (6): $x = g(c) = c^p$; $\frac{dx}{dc} = g'(c) = p c^{p-1}$ se obține funcția de frecvență a distribuției p-normale:

$$f(c) = \frac{p}{\sigma_x \sqrt{2\pi}} c^{p-1} e^{-\frac{(c^p - \bar{x})^2}{2 \sigma_x^2}} \quad (17)$$



Conținutul mediu

Înlocuind (17) în (7) se obține :

$$c_0 = \frac{p}{\sigma_x \sqrt{2\pi}} \int_{y_1}^{\infty} c^p e^{-\frac{(c^p - \bar{x})^2}{2\sigma_x^2}} dy \quad (18)$$

Integrala (18) nu poate fi calculată prin cuadraturi, decât în anumite cazuri. Ea se poate obține totdeauna prin aproximare (metoda trapezelor, metoda lui Simpson etc), cu orice precizie dorită. În cele ce urmează se va integra prin cuadraturi, în cazul că $p = \frac{1}{n}$, unde n este un număr natural.

Făcând în (18) schimbarea de variabilă :

$$c^p = y \rightarrow c = y^{\frac{1}{p}} = y^n; dy = \frac{dy}{pc^{p-1}}; y_1 = 0; y_2 = \infty, \text{ se obține}$$

$$c_0 = \frac{1}{\sigma_x \sqrt{2\pi}} \int_0^{\infty} y^n e^{-\frac{(y - \bar{x})^2}{2\sigma_x^2}} dy \quad (18')$$

Notind integrala (18') cu I_n și integrind prin părți se ajunge la formula de recurență :

$$c_0 = I_n = \bar{x} I_{n-1} + (n-1)\sigma_x I_{n-2} \quad (n = 2, 3, \dots, n) \quad (19)$$

$$\text{Cu } I_0 = \frac{1}{2} \text{ și } I_1 = \frac{1}{2} \bar{x} + \frac{\sigma_x}{\sqrt{2\pi}} e^{-\frac{\bar{x}^2}{2\sigma_x^2}}$$

Din (19) se obține succesiv valoarea conținutului mediu c_0 pentru cazurile $n = 2, 3, 4, 5, 6, \dots$:

$$\left[\begin{array}{l} I_2 = \bar{x}^2 + \sigma_x^2 \\ I_3 = \bar{x}^3 + 3\bar{x}\sigma_x^2 \\ I_4 = \bar{x}^4 + 6\bar{x}^2\sigma_x^2 + 3\sigma_x^4 \\ I_5 = \bar{x}^5 + 10\bar{x}^3\sigma_x^2 + 15\bar{x}\sigma_x^4 \\ I_6 = \bar{x}^6 + 15\bar{x}^4\sigma_x^2 + 45\bar{x}^2\sigma_x^4 + 45\sigma_x^6 \\ \vdots \end{array} \right] \quad (20)$$

Relațiile (20) permit calculul conținutului mediu real c_0 pentru orice valoare a lui n . În aceste relații :

$$\bar{x} = \frac{\sum_{i=1}^N c_i^{\frac{1}{n}}}{N}; \sigma_x = \sqrt{\sqrt{\frac{\sum_{i=1}^N (c_i^{\frac{1}{n}} - \bar{x})^2}{N-1}}}$$



Distribuția exponențial-normală. Numim exponențial-normală distribuția variabilei e , dacă distribuția variabilei $x = a^e$ ($a > 0$; $a \neq 1$) este normală

Functia de frecvență. Înlocuind în (6) : $x = g(e) = a^e = e^{c + \ln a}$; $dx = \ln a \cdot e^{c + \ln a} dc$

se obține funcția de frecvență a distribuției exponențial normale:

$$f(c) = \frac{\ln a}{\sigma_x \sqrt{2\pi}} e^{-\frac{(e^{c+\ln a} - \bar{x})^2}{2\sigma_x^2}} \quad (22)$$

$$\text{În relația (22): } \bar{x} = \frac{\sum_{i=1}^N a^{c_i}}{N}; \quad \sigma_x = \sqrt{\frac{\sum_{i=1}^N (a^{c_i} - \bar{x})^2}{N-1}}$$

Conținutul mediu. Înlocuind (22) în (7) se obține conținutul mediu :

$$c_0 = \frac{\ln a}{\sigma_x \sqrt{2\pi}} \int_0^\infty c \cdot e^{c+\ln a} \cdot \frac{e^{(c+\ln a) - \bar{x}}}{2\sigma_x^2} dc \quad (23)$$

sau efectuând schimbarea pe variabilă :

$$\frac{e^{c+\ln a} - \bar{x}}{\sigma_x} = t \rightarrow c = \frac{\ln(\sigma_x t + \bar{x})}{\ln a}; \quad \ln a \cdot e^{c+\ln a} dc = \sigma_x dt, \text{ conținutul mediu devine:}$$

$$c_0 = \frac{1}{\ln a \sqrt{2\pi}} \int_{\frac{\bar{x}}{\sigma_x}}^{+\infty} \ln(\sigma_x t + \bar{x}) e^{-\frac{t^2}{2}} dt \quad (24)$$

Integralele (23) și (24) nu pot fi calculate prin cuadraturi. Valoarea conținutului se poate obține din aceste relații cu orice precizie fixată dinainte, calculând integralele respective prin aproximare.

Concluzii

1. În prezent, calculul conținutului mediu în componenți utili a rezervelor de substanțe minerale utile se face prin media aritmetică sau ponderată a datelor de analiză chimică. Calculul rezervelor efectuându-se — în general — pe panouri de exploatare sau blocuri geologice, volumul fiecărei selecții este mic. De asemenea, conținutul în componenți utili nu se distribuie normal în zăcăminte. Din această cauză, media aritmetică denaturează conținutul mediu real, impunându-se tot mai mult depășirea acestei rutine.

2. În lucrarea de față se indică căile de determinare a conținutului mediu, corespunzător repartiției reale a compozițiilor utili în zăcămînt. Procedeul propus constă în următoarele: stabilirea legii de distribuție a compozițiilor utili; calculul conținutului mediu corespunzător distribuției reale.

Pentru stabilirea legii de distribuție a conținutului e să se indică efectuarea unei schimbări de variabile $x = g(c)$, astfel ca variabila x să se supună unei legi de distribuție teoretice cunoscute. Pentru exemplificarea considerațiilor teoretice făcute, se consideră cazul cînd distribuția variabilei x devine normală, introducîndu-se în acest fel, pe lîngă distribuția log-normală, indicată în literatura de specialitate, două distribuții noi, p-normală și exponențial-normală. Menționăm faptul că în locul distribuției normale, se poate ajunge și la alte legi de distribuție cunoscute, prin schimbările de variabile indicate sau prin altele. Avînd în vedere multitudinea legilor de distribuție teoretică cunoscute și a schimbărilor de variabile posibile, rezultă că metoda indicată are un domeniu de aplicabilitate practic nelimitat, permîșind stabilirea legii de distribuție a compozițiilor utili din fiecare zăcămînt și calculul conținutului mediu real. Metoda indicată este deci generală. Distribuția normală și log-normală apar drept cazuri particulare ($p = 1$, respectiv $x = 1 \text{ nc}$) care de altfel sunt foarte rare în practică.

3. Calculul integralei care dă conținutul mediu se face prin enadături – dacă e posibil – sau prin metode de aproximare (metoda trapezelor, metoda parabolei etc.).

4. Legea de distribuție a compozițiilor utili și dăunători trebuie stabilită separat pe diferitele tipuri de mineralizație din același zăcămînt. De asemenea, în cadrul același tip de mineralizație, legea de distribuție stabilită odată, trebuie verificată periodic, pe măsura extinderii lucrărilor de cercetare geologică.

5. În cazul zăcămintelor cu mai mulți compoziți utili și dăunători, legea de distribuție trebuie stabilită pentru fiecare în parte. Pentru compoziții însotitori, care au o importanță economică secundară, se poate admite calculul conținutului mediu prin medie aritmetică. Dacă între anumiți compoziți există o legătură corelativă, se poate renunța la stabilirea distribuției unora, conținutul mediu pentru aceștia calculindu-se cu ajutorul ecuației regresiei, în funcție de conținutul mediu stabilit prin metodologia indicată pentru ceilalți compoziți.

6. La calculul conținutului mediu real pot exista diferite situații.

Dacă distribuția compozițiilor este normală, conținutul mediu se calculează prin medie aritmetică, indiferent de numărul probelor.



În cazul că distribuția componenților utili și dăunători nu se supune legii normale trebuie stabilită funcția de frecvență a acestora, calculându-se conținutul mediu corespunzător. Menționăm faptul că în această situație prezintă importanță numărul probelor. În majoritatea cazurilor, rezervele se calculează pe panouri sau blocuri de exploatare, ori pe blocuri geologice. Chiar dacă pe tot zăcămintul există un număr mare de probe (sute sau mii), pe unități de calcul revin de obicei numai câteva zeci de analize chimice. Datorită acestui fapt, conținuturile medii aritmetice calculate pe panouri nu reflectă realitatea. Deoarece conținutul mediu al rezervelor pe zăcămint se determină prin ponderarea mediilor aritmetice pe panouri, nici acest conținut nu coincide cu cel real. Problema stabilirii conținuturilor medii pe panouri și pe total rezerve poate fi rezolvată astfel: se calculează conținuturile medii aritmetice \bar{c}_i pe panouri de exploatare, iar prin ponderarea acestora, după cantitățile de rezerve, media pe zăcămint \bar{c} ; pe baza legii de distribuție se calculează conținutul mediu real pe zăcămint c_0 ; se calculează un coeficient de corecție $k = \frac{c_0}{\bar{c}}$, cu ajutorul căruia se determină și conținuturile medii reale pe unități de calcul $c_{0i} = k \bar{c}_i$.

Dacă numărul probelor este mare chiar și pe unități de calcul (de exemplu în cazul stocurilor și corpurilor lenticulare de dimensiuni mari), în baza teoremei limită centrală, media aritmetică poate coincide cu conținutul mediu real, fapt ce trebuie dovedit, folosind metodologia indicată.

7. Metodologia indicată conduce la stabilirea conținutului mediu real, prezentând o importanță deosebită la fundamentarea investițiilor și planificarea producției în industria minieră. În același timp ea reclamă un volum mai mare de calcule decât stabilirea mediei aritmetice. Problema poate fi însă simplificată folosind coeficientul de corecție $k = \frac{c_0}{\bar{c}}$, calculat o singură dată pentru perioada și zona de valabilitate a funcției de frecvență stabilite.

BIBLIOGRAFIE

- Ianovici V., Dimitriu A., Zorilescu D. (1969) Repartiția lognormală în geologie. *Stud. cerc. geol. geof. geogr., seria geologie*, 14 București.
 Murgu M., Bădulescu I., Braniște P., Gurău A., Mercea E., Răduță T., Silaș I., Dobre Gh. (1963) Considerații asupra alegerea distanței optime dintre lucrările de explorare la zăcămintele de minereuri. *Revista minelor*. București.



- Mihoc Gh., Urseanu V. (1962) Matematici aplicate în statistică. Ed. Acad. RPR Bucureşti.
- Mihăilă N. (1965) Introducere în teoria probabilităților și statistică matematică. Ed. didactică și pedagogică, Bucureşti.
- Ranea N., Tövissi L. (1963) Statistica matematică, cu aplicații în producție. Ed. Arad, R.P.R. Bucureşti.
- Sarapov I. P. (1968) Utilizarea statisticii matematice în geologie. Ed. Tehnică, Bucureşti. Traducere din limba rusă.

DETERMINATION OF THE AVERAGE CONTENT OF VALUABLE COMPONENTS IN THE RESERVES OF MINERALS ACCORDINGLY TO THE DISTRIBUTION LAW OF CHEMICAL ELEMENTS IN ORE DEPOSITS

(Summary)

A correct determination of the quantity — and mainly of the quality — of mineral reserves has a great importance for the judicious investment and planning of the mining industry. Between the content of the already mined out reserves, and the content calculated on the basis of geological researches, some differences are often noticed which cannot be explained only by dilution. These differences are due, among other things, to the fact that in determining the average content, the real distribution of the chemical components in ore deposits is not taken into account.

In the practice of the reckoning of mineral reserves, the average contents are evaluated by means of the simple arithmetical mean of the chemical analysis data or by their ponderation in respect with the thickness of the mineralization.

The content of the specimens extracted from a mineral deposit is an aleatory variable. The amount of all the specimens collected in an ore deposit up to its exhaustion, form a statistical population or general collectivity. With the purpose of determining the reserves, a reduced number of specimens are collected from the geological workings. The amount of these specimens, forming the calculation basis of the average content, represents a selection. Consequently, from a theoretical point of view the problem of determining the average content of valuable components comes to an estimation of the average of a general collectivity from the data of a selection.

In most cases the selection average does not coincide with the average of the general collectivity. On the basis of the central limit theorem, the selection average estimates in an absolutely correct manner the average of the general collectivity if the volume of the selection tends to infinite. In the case of a normal distribution too, the selection average represents the average of the general collectivity. In fact, these conditions are not fulfilled in all cases. So, the real distribution of the chemical components in ore deposits does not follow the normal distribution law. The reserves are generally reckoned for each ore block or geological block. The number of specimens extracted from such a unit of reckon is comparatively small,



and usually remains under a hundred. These are the principal reasons leading to the difference between the reckoned average content and the real one.

In order to eliminate the influence of the causes leading to an alteration of the quality of the reserves, the authors suggest a new method to find the average content of the chemical composition. This method solves the problem of reckoning the average content in two stages, as follows:

- determining the frequency function of the content for each component;
- reckoning the average contents according to the established distribution laws.

As a rule, in order to find out the analytical expression of the frequency function (density of probability), it has been suggested a change of the variable $x = g(c)$, where c represents the content of the investigated element, so that the new variable x has to follow an already known theoretical distribution law. To illustrate the suggested proceeding, the authors examine the case in which the variable x follows the normal law of distribution, after the modification of the variable has been performed. The function $g(c)$, by which has been obtained the change of the variable leading to the Gauss-Laplace distribution of the variable x , is called a „normalizing function”. The authors indicate the analytical expression of some normalizing functions for the empirical distribution presenting a positive asymmetry (11), as well as for the asymmetrical negative ones (12). In this way, besides the log-normal distribution which can be found in the literature, two new theoretical distributions, normal-p and normal-exponential, are introduced. The analytical expressions of these functions are represented by the relations (13), (17), respectively (22).

The mentioned process of normalization consists in the following:

- All the specimens collected from the portions of the same type of mineralization are distributed by classes of contents, thus being obtained the empirical distribution, which graphically indicates the sense of the asymmetry (positive or negative).
- Depending on the sense of the asymmetry, one of the modifications of the variable $x = g(c)$ is performed, thus being obtained the empirical distribution of the variable x . If by this change of the variable an asymmetrical distribution is once again obtained, the normalizing process has to be continued and $g(c)$ becomes a function of a function.
- When by the normalizing process one comes to an approximately symmetrical distribution, the normality is verified accordingly to some criterion of significance (for instance, Kolmogorov, square of) (etc.).
- When reaching a distribution which does not significantly differ from the normal, the expression of the frequency function is written by introducing the function $g(c)$ in the relation (6).

After establishing the frequency function of the content c , the average content is calculated by means of the integral (7) or after performing the change of the variables (8), by means of the relation (10). If possible, the integrals (7) and (10) would be calculated by means of the quadrature, and if not, by some methods of approximate integration, notwithstanding the expected accuracy. The average contents corresponding to the log-normal (14), (15), (16) normal-p (18), (19), (20) and normal-exponential (24) laws, are calculated in this work.

By the above described procedure there are calculated the real average contents for each ore deposit or area having the same type of mineralization. To plane the output it is necessary to know the real average contents by ore blocks. For this purpose one calculates the



arithmetical means by ore blocks which are afterwards multiplied by a coefficient of correction established as a ratio between the average contents by ore deposit calculated accordingly to the distribution law and that obtained as a balanced average of the arithmetical means by ore blocks.

The authors point out that the distribution law once established has to be periodically verified as the workings of geological researches are proceeding.

For the ore deposits with several valuable or deleterious components the distribution law and the corresponding average contents are to be set up for each of them. For the accessory components with a low economic value, the accuracy provided by the arithmetical mean is considered as being satisfactory.

If there is a correlative connexion between certain components, the distribution law is suggested to be established only for part of the components, while the average contents for the others are to be calculated by means of the regressive equation.

The calculation procedure proposed by the authors is most important for the substantiation of the investments and for the planning of the output in the mining industry, since it allows to determine average contents very close to the real ones. This method has an unlimited area of application due to the great number of the known theoretical distribution laws and to the changes of the extremely various possible variables. If this method is by far superior to the arithmetical mean as for the accuracy, it requires in exchange a greater volume of calculations.



**DESPRE UN PROCES DE EROZIUNE ÎN COMPLEXUL CĂRBUNOS
DE LA MINA VİRGHİŞ (BAZINUL BARAOLT)¹**

DE
ZOLTÁN KISGYÖRGY²

Abstract

On an Erosion Process in the Coal Complex within the Virgiș Mine (Baraolt Basin). It is for the first time that traces of an erosion process displaying the shape of a trough have been observed in the lignite deposits of Romania. The zone which has undergone erosion was controlled both by the exploration works and the exploitation ones. The phenomenon described is connected with neotectonical movements which have taken place at the beginning of the Quaternary. This paper yields data on the paleogeography of the region studied and on the age of the coal complex. The traces of the erosion process display a negative economical consequence affecting the estimation and the mining of the deposit.

Descrierea fenomenului

Forajele de explorare executate în perioada 1952—1960, în zona zăcământului de lignit de la Virgiș, au arătat că grosimile stratului de lignit exploatabil (stratul nr. III) nu se mențin constante, mai ales în zona axei sinclinalului. Același fenomen s-a constatat și cu ocazia înăsirii gabaritului de la rețeaua de 600—800 m (pentru rezerve de categoria C) la rețea de 400 m. (pentru rezerve de categoria B). Sondele plasate în centrul cuvetei au indicat subierea zăcământului (1,5—2,2 m), față de grosimile evidențiate pe flancurile sinclinalului (16 m). Acest fapt, a impus de la început o urmărire atentă a lucrărilor miniere de deschidere și de pregătire.

¹ Comunicare în ședință din 6.II.1970.

² Intreprinderea Minieră „Căpeni”, Jud. Covasna.

Cu ocazia săpării planelor inclinate de deschidere (nr. 156 și 157) și a galeriei principale de transport (nr. 159), au fost întlnite grosimi ale stratului de lignit, cuprinse între 1,00—2,20 m, în timp ce grosimea normală a stratului din zona deschiderilor era de 13 m. Din analiza situației s-a putut constata că este vorba despre un proces de eroziune, care a cauzat micșorarea grosimii stratului, substituind rocile acoperișului cu

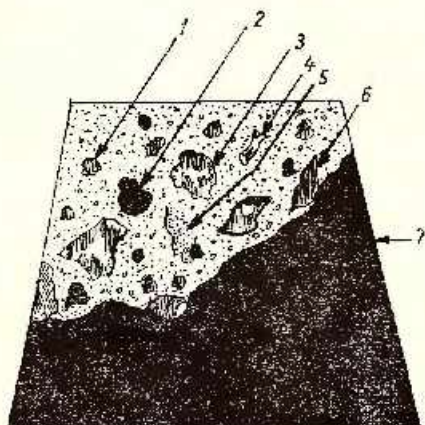


Fig. 1. — Aspectul zăcamântului erodat dintr-un front de lucru.

1. elemente de grăs cretace; 2. bulgări de cărbune; 3. marne ocraști din acoperis; 4. trunchiuri de copaci; 5. pungi de nisip fin; 6. elemente de calcare jurasice; 7. stratum III de lignit.

Aspect du gisement érodé dans un front d'abattage.

1. éléments de grès crétacé; 2. morceaux de charbon; 3. marne grise du toit; 4. troncs d'arbres; 5. incavations de sable fin; 6. éléments de cailliers jurassiques; 7. couche III de lignite.

un material specific aluvionar, heterogen din punct de vedere structural și litologic. În cele ce urmează, redăm unele aspecte ale acestui proces de eroziune, conturat pe baza observațiilor și cartărilor desfășurate, executate în lucrările miniere de deschidere și abataje în perioada 1960—1969.

Galeria principală de transport a minei, a înaintat în materialul depus după eroziune. Acest material, constituind acoperișul fals al stratului de cărbune neerodat, este alcătuit dintr-un amestec de nisip andezitic grosier și pietrișuri semimrnlate, în care se găsesc pungi de nisip cu apă, apoi blocuri de gresii, bucăți rulate de cărbune, bulgări de marne cenușii și de calcare, trunchiuri de copaci slab carbonizate sau silicificate. Aspectul general al acestui material redat în fig. 1, este al unui amestec de roci într-un nisip grosier, micaceu, de culoare cenușie, bogat în resturi de moluște.

Aceste depozite au fost cercetate pe verticală, prin suitorii și puțuri de cercetare executate în lucrările miniere existente, care au confirmat de asemenea compoziția litologică a acestui material. În unele zone, stratul de cărbune a fost erodat total, depunerile fiind așezate direct pe fundamentalul cretacic al bazinului, constituit, probabil, din stratele de Sinaia. Litostratigrafia zonei afectate de eroziune, s-a conturat și mai

precis prin analiza ulterioară a carotelor obținute din forajele de explorare și este redată prin coloanele stratigrafice din fig. 2.

Paralel cu avansarea lucrărilor de exploatare, s-a putut contura, cu o destul de mare precizie, zona largă afectată de acest proces de eroziune în perimetrul minci. Deci este vorba, de o vale a unui curs de apă,

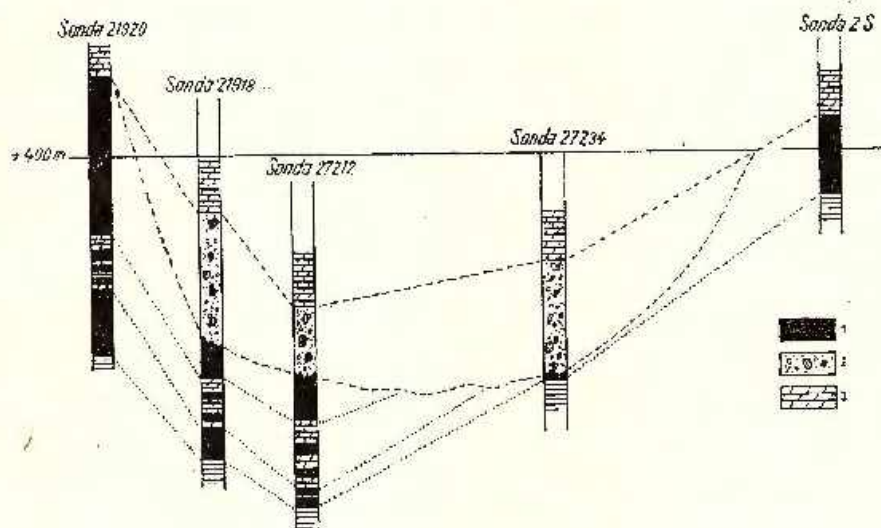


Fig. 2. — Secțiune litologică prin zona afectată de eroziune
(Scara L = 1:5.000, I = 1:500).

1, stratul de lignit; 2, material depus în urma eroziunii; 3, acoperiș acutină de eroziune.

Section lithologique de la zone affectée par l'érosion (échelle L = 1:5000, I = 1:500).

1, couche de lignite; 2, matériel déposé à la suite de l'érosion; 3, toit qui n'a pas souffert l'érosion.

destul de considerabilă, cu o direcție de curgere SW-NE și cu o viteză de curgere, probabil, mare, deoarece în depozitele aluvionare au fost puse în evidență blocuri cu dimensiuni de peste 0,6 m diametru, precum și trunchiuri de copaci. Este dezn de amintit că blocurile de gresii și calcarale din materialul depus de apele torrentiale, macroscopic arată o asemănare cu gresiile și calcaralele mezozoice de pe rama muntoasă a munților Perșani, singura direcție din care au putut veni apele torrentiale.

Pe baza lucrărilor de descoperire de la cariera Virghiș (același zăcămînt) și a celor din subteran, s-a putut întocmi coloana stratigrafică a zonei, delimitind eroziunea în spațiu.

Astfel, s-a constatat că stratul III din zonele erodate, are sedimentat deasupra, stratul IV de lignit. Eroziunea deci, a avut loc în intervalul de timp după depunerea stratului III și înaintea depunerii stratului

IV. Prezența blocurilor de lignit în materialul depus de eroziune — provenite din stratul III — denotă încheierea procesului de carbonizare. Vîrsta eroziunii, deci, este sincronă cu aceea a complexului de steril, situat între stratul nr. III și nr. IV al complexului cărbunos.

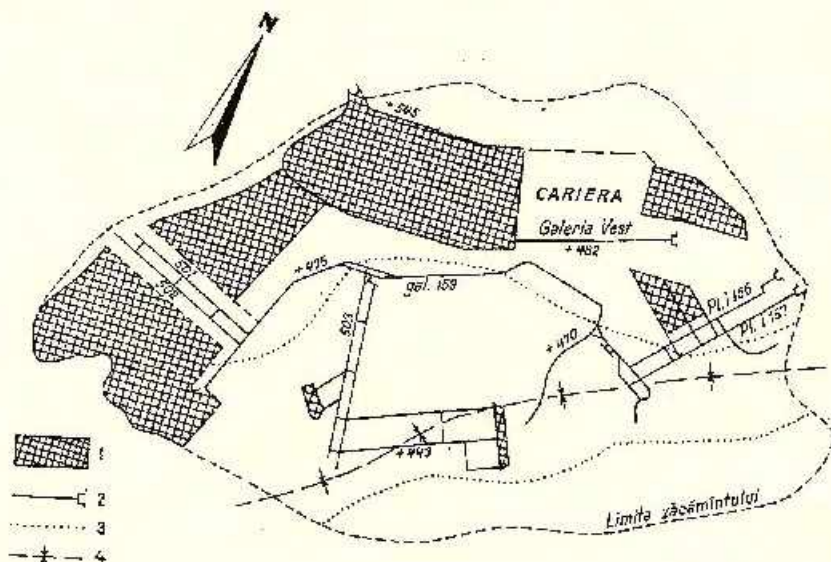


Fig. 3. — Extinderea zonii afectată de eroziune în perimetrul minci Virgiș I (scara 1:20.000).
1, zăcămînt explotat; 2, lucărî miniere; 3, zone erozionale; 4, axe de sincinalitate.

Délimitation de la zones affectées par l'érosion dans le périmètre de la mine Virgiș I. (échelle 1:20.000).

1, gisement exploité; 2, Gravaux minières; 3, zone du l'érosion; 4, axe de synclinalité.

Considerații asupra vîrstei și genezei

Considerăm necesar, a reaminti rezultatele ultimelor cercetări, privind vîrsta complexului cărbunos. Aceste cercetări, s-au efectuat asupra unui material fosilifer reprezentat prin mamifere, colectat din complexul cărbunos, în perioada 1960—1969 de autor.

Liteanu et al. (1962), consideră fauna complexului cărbunos, echivalentă cu cea de la Berești și „complexul faunistic moldavian”, atribuind-o unui interval stratigrafic, echivalent Levantinului superior (=Asitian superior).

Kretzoi (1956), sincronizează această faună, cu cea cuaternară veche, de pe teritoriul R. P. Ungare (Rákoskerestür și Pestszentlőrincz) și, sub denumirea de *etaj barotic*, o atribuie Cuaternarului.

Paralelizarea făcută de Kretzoi, ultimele cercetări întreprinse de colectivul de la Institutul de Speologie „Emil Racoviță”, Sămson și Rădulescu (1965), precum și fauna colectată de autor în ultimii ani, (*Zygolophodon borsoni* Hay s., *Anancus arvernensis* C. r. et Iob., *Dicerorhinus* cf. *leptorhinus* Cuv., *Parabos* sp.) indică vîrstă complexului

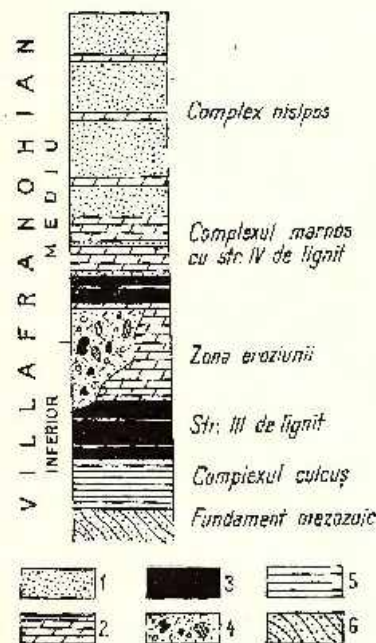


Fig. 4. — Colonna stratigrafică a zonei cu eroziune de la Virghis (scara 1:2.000).

1. rîbdă andezitică; 2. marmă; 3. lignit; 4. material depus de eroziune; 5. argile; 6. fundamental mezozoic.

Collonne stratigraphique de la zone érodée de Virghis (échelle 1:2.000)

1. table andésitique; 2. marnes; 3. lignite; 4. matériel apporté par l'érosion; 5. argiles; 6. socle mésozoïque.

cărbunos din Vighis ca Pleistocene inferior (=Villafranchian inferior) caracterizată prin două faze faunistice succesiive: faza I-a (Biber) și faza II-a (Biber – Dunau).

După sincronizările efectuate de Sămson și Rădulescu formarea stratelor nr. III și IV a avut loc deci în Villafranchianul inferior.

Intemeiați pe aceste considerente, ne exprimăm părerea că procesul de eroziune din acest complex cărbunos, a avut loc în intervalul de tranziție a celor două faze faunistice a Villafranchianului inferior.

Geneza acestui fenomen, este în legătură cu exondarea terenului în urma mișcărilor neotectonice din această zonă, mișcări care constituie o preocupare veche a geologilor și geografilor, care au studiat această parte a țării noastre.

Perioada în care s-au format aceste depozite productive, este deosebit de a prezenta o fază liniștită, din punct de vedere al mișcărilor tec-

tonice. Scufundarea părții centrale a bazinului, precum și alte fenomene de această natură, reprezintă rezultatele mișcărilor tectonice așa numitei *fazei valahie*.

Cuveta Vîrghiș, este situată spre W de falia principală vestică din bazin, pe fundamentele mezozoic piemontan al munților Perșani. Această zonă, deci, este o zonă de interferență la limita acestor două unități tectonice. Existența mișcărilor tectonice, se reflectă și prin liniile de dislocații interceptate de lucrări miniere, dintre care unele au luat naștere înaintea procesului de eroziune, iar altele după acest proces.

Răspândire și efecte economice

În minele de lignit din țara noastră, se semnalează pentru prima oară, un astfel de fenomen. În alte țări, astfel de eroziuni, sunt cunoscute în numeroase zăcăminte de cărbune.

În Anglia, o întreagă rețea subterană de albii fluviale, umplute cu un amestec de roci din depozite învecinate, mai tinere a fost urmărită prin lucrări miniere. O albie cu o lățime de 170—300 m a fost identificată pe o lungime de 9000 m; în dreptul albiei zăcământul a fost complet erodat, în timp ce în zonele de confluență s-au produs eroziuni parțiale.

Asemenea procese de eroziune s-au identificat în: R. P. Ungaria (Vadász 1952), în zăcăminte din Mioceneul inferior de la Salgotarján, în bazinele carbonifere de la Niederlausitz (R. D. Germania), Westfalia (R. F. Germania), Silezia (R. P. Polonă), Platoul Central (Franța) și în S.U.A.

Aspectele economico-miniere ale acestor procese de eroziune, au fost analizate de Serbanescu și Kisgyörgy (1966) într-un raport preliminar.

Dintre acestea amintim următoarele: micșorarea volumului de rezerve, calculat inițial pentru suprafața respectivă; greutăți în execuțarea lucrarilor miniere, care necesită lăsarea unui banc de protecție de cărbune la acoperiș; măsuri speciale tehnice și de securitate la lucrările de exploatare, toate acestea ducind la cheltuieli suplimentare pentru susțineri corespunzătoare în cazul tăvanului necoeziv.

BIBLIOGRAFIE

- Kretzoi M. (1956) A Villányi hegység alsó — pleistocén gerince — faunai. (Die altpleistozänen Wirbeltierfaunen des Villányer Gebirges), *Geol. hung. Pat.*, 27, Budapest.

- Liteanu E., Mihăile N., Bandrabur T. (1962) Contribuții la studiul stratigrafiei Cuaternarului din bazinul mijlociu al Oltului (Bazinul Baraolt), *Stud. Cerc. Geol.* VIII/3-4, București.
- Rădulescu G., Samson P., Mihăile N., Kovács A.I. (1965) Contributions à la connaissance des faunes de Mammifères pléistocènes de la Dépression de Brașov (Roumanie), *Eiszeitalter und Gegenwart*, 16, Öhr./Württ.
- Rădulescu G., Kissyörge Z. (1971) Nouvelles données sur la faune de Mammifère du Villafranchien inférieur de Căpeni - Virghiș (Dépression de Brașov, Roumanie) *Eiszeitalter und Gegenwart*, 21, Öhr./Württ.
- Samson P., Rădulescu G., Kovács A.I. (1969) Faunele de mamifere și stratigrafa cuaternarului în Depresiunea Brașov. *Atala. Rev. Muz. Sf. Gheorghe*, I. Sf. Gheorghe, Serbanescu L., Kissyörge Z. (1966) Influența fenomenelor de eroziune fluvială fosilă din bazinul de lignit Căpeni - Baraolt asupra evaluării și exploatarii zăcământului, *Rev. Minelor*, XVII/4, București.
- Vadász E. (1952) Keszénföldtan, Akad. Kiadó, Budapest.

CONCERNANT LE PROCESSUS D'ÉROSION DANS LE COMPLEXE CHARBONNEUX DE LA MINE VÎRGHIS (BASSIN BARAOLT)

(Résumé)

Les travaux d'exploration dans la zone de la mine de lignit Virghiș ont indiqué l'aménagement du complexe charbonneux dans l'axe du synclinal. Le phénomène a été étudié pendant les travaux miniers des années 1960 - 1969. Il résulte des observations effectuées qu'il s'agit des traces d'un processus d'érosion à caractère fluviatif-torrentiel. Le lit créé par ces torrents a été délimité dans le périmètre de la mine. Dans la zone respective, la couche a été érodée partiellement ou totalement et les roches du toit ont été remplacées par un matériel spécifique alluvionnaire, hétérogène du point de vue structurale et lithologique. Ce matériel est constitué par des sables andésiliques grossiers, des graviers sémiroulés, des blocs de grès, des morceaux roulés de charbon, des mottes de marnes caractéristiques au toit initial, des calcaires, des troncs d'arbres faiblement carbonisés et silicifiés. Au microscope, les blocs de grès et de calcaires présentent une certaine ressemblance avec les grès et les calcaires mésozoïques des monts Pescani, le seul lieu où les eaux ont pu arriver.

En considérant toutes les observations on a figuré la colonne litho-stratigraphique de la zone, en délimitant aussi l'érosion dans l'espace. Ainsi on a constaté que le processus d'érosion avait eu lieu dans l'intervalle compris entre la sédimentation de la couche III et avant la sédimentation de la couche IV de lignite.

En tenant compte des dernières recherches (Kretzoi 1956; Rădulescu et al. 1965), fondées sur l'étude des mammifères fossiles, le complexe charbonneux a été attribué au Quaternaire inférieur, de telle façon que le processus d'érosion du complexe charbonneux de Virghiș a eu lieu dans l'intervalle de transition des phases fauniques successives Bibar et



Biber-Danau du Villafranchien inférieur. Ce sont les mouvements néotectoniques de commencement du Quaternaire qui ont essentiellement contribué à la genèse de ce phénomène.

Ce phénomène, signalé pour la première fois dans notre pays, est déjà connu dans plusieurs bassins carbonifères de l'Europe et des Etats-Unis.

Le processus d'érosion a des effets économiques négatifs pour l'évaluation et l'exploitation des réserves de lignite.



**CONSIDERATII PETROGRAFICE ȘI GEOCHIMICE ASUPRA UNOR
MINERALIZAȚII DE SULFURI POLIMETALICE DIN REGIUNEA
MESTECĂNIȘ-FĂRĂOANE, MUNȚII BISTRITII CARPAȚII
ORIENTALI¹**

DE

ALCIBIADE IOAN MUȘAT, OLIMPIA VASILESCU, ȘTEFAN VANCEA²

Abstract

Petrographical and Geochemical Considerations on some Mineralizations of Polymetallic Sulphides from the Mestecăniș-Fărăoane Region, Bistrița Mountains, East Carpathians. The authors have studied from the petrogenetical and geochemical standpoints the hydrothermal polymetallic sulphide mineralizations from the Mestecăniș-Fărăoane Zone localized along deep-seated fractures within the aureole of some intrusions of basic rocks. On the basis of chemical and spectrochemical analyses, the presence in these mineralizations of „minor elements” such as: Au, Ag, Cu, Pb, Zn, As, Co, Ni, Hg, Bi, Sb, Cr, W, Mo, Sn, V, etc. was determined. Parageneses of elements, and not of minerals, were established inferring from the above mineralizations. The fact is underlined that the aforesaid minor elements are syngenetic with the sulphuric minerals from the second deposition phase, and that there exist relationships directly proportional to the amount and depth of such elements. In conclusion, the Neogene age of these sulphide mineralizations is established.

Mineralizațiile de sulfuri, care constituie obiectul comunicării de față, se află localizate începînd din comuna Pojorita, la est, trecînd prin Obecina Arsenesei, versantul estic al Obcinei Mestecăniș și ambii versanți ai Munțului Suhardul, din dreptul virfului Fărăoane, la vest.

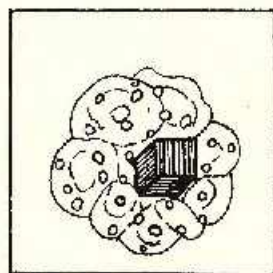
Prezența acestor mineralizații numai pe fracturi adînci dar ascunse, în mareea lor majoritate, observației directe și întotdeauna în aureola unor

¹ Comunicare în ședință din 9.I.1970.

² Intreprinderea Geologică de Prospecționi, București, calca Griviței nr. 64.

instruiri de roci bazice, precum și caracterul lor morfologic specific, au impus o serie de cerecări complexe. Acestea au condus la obținerea unor rezultate interesante din punct de vedere petrografic și genetic, pe care noi considerăm util să le expunem în această lucrare.

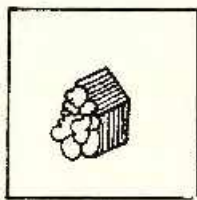
În cele ce urmează, ne vom referi la mineralizațiile din cariera „Peciuște” (comuna Pojorita), Orașul Mestecăniș, Orașul Arsenesei, pîrul Clementi, Bitca Domnească (ultimele două de pe Munțele Suhardul), ca și culmile și văile cuprinse între ele. Alături de acestea, vom face



a



b



c

Aspecte ale depunerilor de sulfuri hidrotermale.

- a. Agregat de sulfuri colomorfe „în cierchime” pe care se văd individii ce au parțial conurile cristalografice sau numai cu începuturi de conuri cristalografice;
- b. Cristal cubic de pirite ce se termină cu o „față” pe care apare un agregat de sulfuri colomorfe; c. Plajă de sulfuri colomorfe dispuse de-a lungul direcției de curgere a soluției.

Aspects des dépôts de sulfures hydrothermales

- a. Agrégat de sulfures colomorphes „en grappes” où l'on remarque des individus ayant partiellement des contours cristallographiques ou seulement des commencement de contours cristallographiques;
- b. Cristal cubique de pyrite qui se termine par une „face” présentant un agrégat de sulfures colomorphes; c. Plage de sulfures colomorphes le long de la direction d'écoulement de la solution.

cîteva observații și asupra datelor obținute în forajul 35. 914 Mestecăniș, care pe un anumit interval, a traversat o brecie tectonică, din vecinătatea unei zone mineralizate.

Întrucît scopul lucrării de față este prezentarea unor noi considerații petrogenetice și geochimice asupra acestor mineralizații, nu vom aborda probleme de geologie stratigrafică sau tectonică ale rocilor gazdă, care se găsesc expuse în alte lucrări ale noastre (Mușat, Vasilescu 1969).

În toate zonele la care ne referim, apar breci tectonice, filoane de minereu și impregnații. Brecile tectonice au elemente de roci cristaline,

eruptive, uneori sedimentare și sunt cimentate cu cuarț și sulfuri, mai rar cu carbonați și sulfuri. Numai breciile și impregnațiile apar uneori la zi.

La nivelele superioare, la care au putut fi interceptate pînă acum, filoanele, breciile și impregnațiile, sunt constituite preponderent din pirită sau/și marcasită, printre care se strecoară vînișoare milimetrice de calcopirită, blendă și mai rar galenă într-o gangă de cuarț, feldspați, clorit, biotit, muscovit, mai rar carbonați. La aceste nivele raportul dintre cantitatea de sulfuri și gangă este 1/9, dar în adîncime el se schimbă în favoarea sulfurilor, ajungînd ca la cca 200 m sub actualul nivel de eroziune, să fie de 1/1. La aceste adîncimi, printre sulfuri, începe să crească simþitor cantitatea de calcopirită, mai puþin de blendă și galenă și să apară mispichelul, bornitul și bournonitul.

Studiul microscopic indică depunerea sulfurilor în două faze, cu următoarea succesiune: în prima fază pirită sau/și marcasită în gangă de cuarþ alb-lăptos; în a doua fază pirită, calcopirită, mispichel, blendă, bornit, galenă și bournonit (alteori ordinea poate fi pirită, mispichel, calcopirită, blendă, galenă), cu gangă constituită din cuarþ, feldspați, biotit, sericit, sau din carbonați. Uneori biotitul este cloritizat și feldspaþii argilizaþi.

Analizele microscopicice cantitative (planimetricie) indică preponderenþa piritei în toate cazurile și la toate nivelele, ea atingînd procente între 50–100%, în funcþie de caracterul, nivelul și localizarea mineralizaþiei.

Analizele chimice cantitative, au indicat prezenþa aurului și argintului prinse probabil sub formă de incluzuni sau disperþioni fine, în reþele sau cristalosolii piritelor, mispichelului, galenei, calcopiritei, etc. La nivelele superioare aurul s-a întîlnit în cantităþi ce variază între urme și pînă la grame la tonă, iar argintul pînă la procente la tonă, dar în profunzime – din datele ce le avem pînă acumă – cantităþile se micșorează mult.

Cuprul, prezent în cantităþi începînd de la urme pînă la procente exploataabile la nivelele superioare, ajunge în unele cazuri la valori mari la adîncimi de cca. 200 m sub actualul nivel de eroziune.

Semnalăm de asemenea prezenþa cobaltului, a nichelului și a arsenului, ale căror valori cresc cu adîncimea.

Deoarece nu era necesar să se facă analize chimice cantitative și pentru elementele minore din ivirile de minereuri întlnite, prezenþa lor s-a urmărit cu analize spectrografice semicantitative efectuate pe minereu omogenizat, sau uneori pe pirite selecþionate sub lupa binoculară. În



acest fel a fost pusă în evidență prezența următoarelor elemente: Ag, Cu, Pb, Zn, As, Co, Ni, Mo, Sn, Hg, Bi, Sb, Cr, V, W, etc. Cum unele dintre acestea (Ag, Cu, Pb, Zn) au fost determinate și prin analize chimice cantitative, nu le vom mai discuta aici.

Cobaltul, prezent în toate sectoarele, a fost detectat de la valori cuprinse între cîteva ppm. pînă la 250 ppm. la nivelul actual de eroziune și între 400—1090 ppm. la adîncimi de 100—200 m sub acest nivel.

Nichelul, prezent și el în toate sectoarele, a fost încadrat între valori de la cîteva ppm. la 150 ppm. la suprafață, iar în adîncime între 15—2600 ppm.

Arsenul, prezent în toate sectoarele, apare la suprafață avînd valori scăzute, care însă cresc ușor spre adîncime.

Molibdenul și staniul apar în cantități foarte mici și numai în cîteva locuri.

Mereurul, bismutul, stibiul, etc., apar în cantități foarte mici în unele probe, iar în altele deloc.

Forajul nr. 35.914 Mestecăniș, săpat în versantul estic al Obcinei Mestecănișului, nu a întîlnit mineralizația de sulfuri căutată, ci numai cîteva mici apofize ale acesteia, pătrunse în brecia tectonică, pe care a traversat-o oblic, între metrii 185 și 385. Pe carotele extrase, s-a efectuat un studiu geochemical pentru determinarea unor eventuale aureole primare de dispersie. În cazul acesta este vorba de aureole epigenetice, ce s-au format prin dispersia treptată a elementelor în rocile gazdă din vecinătatea zăcămîntului, chiar în cursul procesului de formare a acestuia. În timpul formării zăcămîntului, soluția mineralizatoare se difuzează în rocile gazdă, fie integral depunînd mineralele metalice caracteristice, fie parțial conducînd la alterarea hidrotermală a acestora.

Analizele efectuate indică între metrii 200—250, concentrații de Cu, Zn, Ag, W, Co, Ni, care nu reprezintă o mineralizație propriu-zisă, ci numai o zonă de dispersie (pl. I și II). Între metrii 320—420, a apărut o aureolă de dispersie pentru Cu, As, Ni, Cr, Zn, Co, W, care reprezintă probabil concentrația maximă a acestor elemente în dreptul forajului (pl. 1 și 2).

Analizele probelor de roci colectate din sectoarele susmenționate, arată că la nivelele superioare, pe orizontală, cele mai mari cantități de aur și argint au fost întîlnite în zona de la nord-est de Pasul Mestecăniș, spre Obcina Arsenesci, iar cele mai mici cantități la Pojorîta. Cele mai mari cantități de cupru s-au întîlnit în zona Bîca Domnească-Mușuleac (Suhardul); cele mai mari cantități de cobalt au fost întîlnite în zona Muntelui Suhardul; cele mai mari cantități de nichel s-au întîlnit în ve-

înătătea tunelului de cale ferată de la Mestecăniș și a carierei „Peciușteu” (comuna Pojorita), iar cele mai mici la Oțciu Arsenesei.

Arsenul apare în cantități foarte mari acolo unde sunt mari și conținuturile de nichel sau cobalt, îndeosebi în apropiere de tunelul de cale ferată de la Mestecăniș. Prezența celorlalte elemente este sporadică și în cantități foarte mici, încât nu se pot face corelații între ele din acest punct de vedere.

Din cele de pînă acum se desprinde ideea, că deși în toate zonele cercetate, minereul este predominant pîratos (chiar și acolo unde cuprul apare în conținuturi economice), apariția unor elemente minore este remarcabilă atât din punct de vedere calitativ cât și cantitativ.

Prezența acestor elemente în minereurile sulfurice, ridică o serie de probleme importante din punct de vedere genetic.

Astfel, asociația de elemente din minereurile sulfurice ale unei regiuni, poate constitui un diagnostic în vederea stabilirii unui anumit tip genetic de mineralizare, sau unei perioade mineralizatoare.

Se știe că față de sulfurile singenetică rocilor gazdă (generate în condiții termodynamice și fizico-chimice oarecum monotone), sulfurile hidrotermale sunt puternic influențate din punct de vedere termodynamic și fizico-chimic în timpul depunerii lor.

Astfel existența unor anumite elemente specifice, grupate într-o anumită parageneză, dar în cantități variabile atât pe verticală, cât și pe orizontală (Au, Ag, As, Co, Ni, Hg, Bi, Sb, W), indică schimbările aspectului geochemical din cadrul acestor mineralizații, sub acțiunea diferenților factori, ce au influențat soluțiile mineralizatoare în timpul evoluției lor. Acești factori, în cazul nostru, pot fi: variațiile de temperatură și presiune; schimbările fizico-chimice ale soluției datorite pH-ului, potențialului Redox, prezenței (invaziei sau dispariției) unor ioni; influența pulsării hidrotermale; influența activă a rocilor gazdă; caracterul, forma, dimensiunea și dispoziția crăpăturilor sau căilor de acces, prin care circulă soluțiile mineralizatoare; adâncimea la care are loc depunerea; contactul cu apele descendente, etc.

În fine, prezența unor elemente și mincrale specifice sulfurilor hidrotermale (Au, Ag, As, Sb, Bi, Hg, W, mispichel, bournonit), ca și a unor structuri și texturi tipice pe de o parte și lipsa altor elemente (V, Ti), existența unor cantități mari de Co, Ni, As, ea și neuniformitatea răspândirii lor în întreaga aria, pe de altă parte, pot constitui de asemenea criterii pentru diagnoza petrogenetică hidrotermală.

Din studiile petrogenetic și petrografie, se observă că mineralizațiile respective sunt constituite din: cristale de amestec izomorf (omogen),

în care elementele străine participă la construcția rețelei cristaline a „gazdei”, elementele apărind ca înlocuitori izomorfi, ion cu ion, sau moleculă cu moleculă; cristale de amestec anormal (eterogen, false soluții solide), în care elementele străine pătrund în rețeaua cristalului „gazdă”, dar fără a constitui înlocuiri izomorfe; cristale „gazdă” cu adsorbție internă, în care elementele minore au fost reținute pe suprafețele cristalului în creștere, încit ele apar ca „purtate” în interiorul cristalului, în defectele de structură ale rețelei (reținerea acestor elemente depinde de sarcina electrică a precipitatului, compoziția soluției, pH-ul soluției, etc.).

Totuși, toate aceste moduri de reținere a unor elemente străine rețelei mineralului gazdă, nu pot justifica cantitățile mari de Au, Ag, Co, Ni, As, etc., prezente în minereuri. Dacă uneori prezența mispichelului explică cantitatea mare de arsen, dacă o temperatură ridicată de formare (depunere) a mineralizației, poate sugera prezența unei cantități mai mari de cobalt reținut izomorf în rețeaua piritei, nu se poate spune același lucru și despre celelalte elemente (îndeosebi despre nichel, care nu apare sub forma unor minerale specifice).

Cercetările făcute pînă acumă în acest sens (Hegemann, 1943; Fleischner, 1955; Goldschmidt, 1954; McKinstry, 1955; Campbell, Jarkovsky, 1967), nu ne-au dat un răspuns clar la această problemă.

Se știe că introducerea unor elemente străine în rețeaua unui mineral, duce la modificarea structurii și chiar a formei cristaline a acestuia.

Cercetările noastre ne-au permis observarea a numeroase agregate de sulfuri, cu o parte avînd forme sau începuturi de forme cristaline și continuîndu-se cu porțiuni ce au aspect de „ciorchine”. Determinarea cantităților de sulf și fier din piritele cu astfel de aspecte, ne-au indicat întotdeauna valori neconforme cu conținuturile stoichiometrice. Remarcăm faptul că aceste pirite se găsesc tocmai acolo, unde apar cele mai mari cantități de elemente minore. Credeam că alături de incluziunile izomorfe, sau adsorbția din rețeaua piritelor, elementele prezente în aceste parageneze, în cantitate foarte mare, sunt incluse și sub forma unor germani cristalini, sau ca atare, în agregatele colomorfe. Pe de altă parte, prezența unor cantități atât de mari de Au, Ag, Co, Ni, etc., în minereu, indică existența unei soluții cu o compoziție complexă, aflată la temperatură înaltă și care a fost nevoie să precipite rapid sub influența unor condiții termodinamice și fizico-chimice deosebite.

Prezența mineralelor de arsen implică existența unei soluții mineralizatoare alcaline. Din acest punct de vedere vrem să accentuăm că alca-

linizarea unei soluții inițial acide, în contact cu șisturile cristaline, este posibilă numai într-un timp foarte îndelungat (circulație pe distanțe de kilometri și soluție apăcasă). Aceasta ne face să presupunem că soluția a fost alcalină de la început, iar în apropierea suprafetei a fost suficientă doar diluarea ei pentru a se ajunge la o precipitare rapidă a sulfurilor.

Pe de altă parte găsita tipică depunerilor hidrotermale de minerale calcofile, constituită din cuart, feldspați, biotit, muscovit, sericit, canlit sau alteori din carbonați, este prezentă, parțial sau aproape în totalitate, în depunerile la care ne referim, avind un caracter evident alcalin.

Prezența sulfurilor și îndeosebi a piritelor colomorfe, este caracteristică zăcămintelor asociate genetic de complexele magnetice de vîrstă relativ tinere. În această regiune există magmatite bazice alcaline, de vîrstă neogenă și nu se poate nega apariția fazelor volatile în cursul diferențierii acestora.

Caracterul distilatelor este în funcție de variațiile continutului de temperatură și presiune, căci pe măsură ce are loc diferențierea și cristalizarea produselor inițiale magnetice, reziduul se îmbogățește treptat-treptat în elemente calcofile. De aici nu se deduce că o magmă bazică, unică, trebuie să genereze neapărat derivate magmatische din ce în ce mai acide și abia la urmă să se producă și soluția hidrotermală. Deși în unele regiuni de pe glob acest lucru se confirmă, aici nu se cunoște produse magmatische acide.

Precipitarea mineralelor și elementelor, prezente în paragenezele citate, din soluții nedisociate și îndeosebi prezența Co, Ni și As, alături de Au, Ag, Cu, pe lîngă care apar cantități mici de Zn, Pb, Bi, Sb, Hg, W, Cr, Ge, In, etc., indică expulzarea unei soluții hidrotermale alcaline, sub influența diferitelor factori, ca de exemplu: concentrația variabilă a diferitelor elemente în timpul evoluției reziduului magmatic, polarizarea ionilor, reducerea energiei cristaline a mineralelor ce se formează, micșorarea valențelor elementelor calcofile pe parcursul depunerilor, creșterea razelor ionice și atomice ale elementelor, modificarea tipului de rețea la minerale, creșterea tensiunii vaporilor, ca și o serie de procese secundare.

Noi nu putem cita aici seria întreagă a depunerilor, urmărîtă spațial și conformă cu factorii de mai sus, căci acest lucru nu se poate observa în întregime nici în alte zăcăminte. Am putut observa fenomene pulsatorii, cu soluții de compozitii diferite, depunerile diferențiate pe întreaga arie citată, atât pe orizontală cât și pe verticală, prezența mineralizațiilor numai pe fracturi, alterarea rocilor gazdă sub influența soluțiilor mineralizatoare, etc.

TABEL
Analize spectrometrice efectuate asupra probelor din zona Mestecăniș-Fărănașe

Zonă	Ag	Cu	Pb	Zn	Co	Ni	As	Cr	Bi	Sb	Ge	Mo	Su	Hg
Vojorila	0,000002	0,0200	0,0008	0,0097	0,1450	0,1500								
"	0,0001	0,0200	0,0001	0,0050	0,120	0,1000								
Arseneasa	0,0010	0,3000	0,0025	0,0150	0,0150	0,0150								
"	0,0010	0,3000	0,0025	0,0180	0,0010	0,0300								
"	0,0010	0,3000	0,0025	0,0200	0,0100	0,0300								
"					0,0125	0,1700								
"					0,0001									
"					0,0070	0,0005								
"					0,0025	0,0001								
"					0,0137	0,0188								
"					0,0010	0,1000								
"					0,0003	0,0003								
Mestecăniș	1,000	0,3000	0,0400	0,0300	0,0150	0,0700								
"	0,0012	0,0112	0,0012	0,0012	0,0100	0,0125	0,1700							
"	0,0004	0,1200	0,0085	0,0500	0,0500	0,0130	0,1100							
"	0,0004	0,1000	0,0040	0,0040	0,045	0,0003	0,3000							
"	0,0001	0,0300	0,0001	0,0001	0,0001	0,0080	0,0450							
"	0,0001	0,0300	0,0001	0,0001	0,0100	0,0100	0,0300							
"	0,0001	0,0600	0,0001	0,0001	0,0120	0,0110	0,3000							
"	0,0001	0,0500	0,0001	0,0001	0,0100	0,0005	0,3000							
"	0,0003	0,4850	0,6001	0,6001	0,0120	0,3000	0,0003							
"	0,0003	0,0300	0,0001	0,0001	0,0125	0,3000	0,0003							
"	0,0012	0,3000	0,0002	0,0002	0,0100	0,3000	0,0002							
"	0,0085	0,3000	0,0002	0,0002	0,0085	0,3000	0,0002							
"	0,2500	0,0300	0,3000	0,3000	0,0200	0,1000	0,0003							
"	0,1500	0,3000	0,1200	0,1000	0,0050	0,0200	0,0000							
"	1,0000	0,3000			0,0030	0,0100	0,0000							
"					0,0446	0,9510								
"					0,0461	0,0050								
"					0,0059	0,0017								
"					0,0017	—								
"					0,0045	0,0004								
"					0,0159	0,0007								

În consecință se desprind următoarele concluzii:

Elementele minore citate sunt singenetică cu mineralele sulfurice din parageneze și depuse sincron cu cea de a doua venire de soluții, la nivalele cunoscute pînă acum. Ele constituie o dominantă în cadrul mineralizațiilor de sulfuri din această regiune.

Cresterea cantității unor elemente cu adîncimea de depunere, indică raporturi direct proporționale între temperatura depunerilor și conținuturi.

Prezența numărului mare ca și a cantității mari de elemente minore din sulfurile respective, arată că soluția hidrotermală a avut o compoziție foarte complexă, cel puțin în timpul unei pulsării.

Modul de distribuție și depunere al acestor elemente în mineralizații confirmă existența unei temperaturi ridicate a soluțiilor, care au fost nevoie să precipite rapid în apropierea actualului nivel de eroziune.

Cantitatea mare de Cu, Co, Ni, ca și prezența Cr, W, indică derivatea soluțiilor respective dintr-o magmă bazică, iar creșterea conținuturilor de Cu, Co, Ni, cu adîncimea poate conduce la ideea că în profunzime acestea s-ar putea concentra în cantități economice.

Parageneza comună a mineralelor și indeosebi a elementelor, ca și structura asemănătoare a tuturor zonelor mineralizate, citate în această luerare, pot constitui un diagnostic pentru încadrarea lor la o singură provincie metalogenetică.

Faptul că geochemia n-a lămurit pînă astăzi pe deplin rolul elementelor minore dispersate în mineralele sulfurice, nu constituie un impediment în folosirea lor ca factori informativi în acest sens, mai ales cînd cantitatea în care se găsesc ele aici este remarcabilă.

Prezența lor se explică tocmai prin faptul că procesele de diferențiere ale produselor magmatice nu pot fi nelimitate, cu atît mai mult în cazul unei răciri rapide a soluției. Se știe că nici în procesele tehnologice și analizele chimice de mare finețe, executate în laboratoare, nu se pot separa în totdeauna complet unele elemente de amestecuri sau combinații complexe.

Depunerile din zonele citate nu au conținuturi importante din punct de vedere economic la nivalele superioare, sau chiar dacă uneori le an, cantitatea de minereu este mică. Totuși este posibilă o imbogătire în adâncime — în unul sau altul dintre elemente — ținîndu-se seama de parageneza elementelor și nu a mineralelor din minereul respectiv.

Prezența mineralizațiilor de sulfuri numai pe fracturile din aureola intruziunilor de roci bazice și nu pe toate fracturile din regiune, implică o legătură genetică între acestea și cuptorul magmatic, care a pus în loc

rocile bazice. Este normal să se admită că soluțiile mineralizatoare să fi ieșit din cuptorul respectiv pe cele mai accesibile căi posibile.

Fracturile respective la care ne referim sunt discordante pe structura majoră a rocilor cristaline gazdă și au fost reluate, sau chiar creiate, în timpul fazei savice din orogeneza alpină (Mușat, 1969; Mușat, Vasilescu, 1969).

În lumina acestor date, noi considerăm că aceste mineralizații de sulfuri polimetale sunt depuneri hidrotermale (Papiu, 1963; Socolescu, 1961) și de vîrstă neogenă (Mușat, 1969; Mușat, Vasilescu, 1969).

BIBLIOGRAFIE

- Ahrens L. H. (1954) The lognormal distribution of the elements. *Geochim. et Cosmochim. Acta*. 5. Paris.
- Ahrens L. H. (1954) The lognormal distribution of the elements. *Geochim. et Cosmochim. Acta*. 6. Paris.
- Cambel B., Jarkovsky J. (1967) Geochemie der Pyrite einiger Lagerstätten der Tschechoslowakei. *Vydavatelstvo Slovenskej Akademie vied Bratislava*, Bratislava.
- Fleischer M. (1955) Minor elements in some sulfide minerals. *Fiftieth Anniversary Econ. Geol.* 2.
- Goldschmidt M. V. (1954) Geochemische Verteilungsgesetze der Elemente. Oxford.
- Hegemann Fr. (1943) Die Geochemische Bedeutung von Kobalt und Nickel in Pyrit. *Zeitschrift f. angew. Minn.* 4 2-3.
- Ivanov S. N. (1964) Geneza zăcămintelor de minereuri de tip sulfuri piritoase, legată de dezvoltarea magmatismului și metamorfismului gneisoclinal. *NEDRA*. Moscova.
- McKinstry H. E. (1955) Elementele minore în unele sulfuri. *Fiftieth Anniversary Econ. Geol.* 2.
- Mușat I. A. (1969) Asupra prezenței unor minereuri de sulfuri în zona Obeinci-Mestecăniș-Carpății Orientali. *D.S. Inst. Geol.* LIV/2 București.
- Mușat I. A., Vasilescu Olimpiu. (1969) Asupra prezenței unor elemente de roci bazice în breciile tectonice de la Arșița-Iacobeni, Carpații Orientali. *D.S. Inst. Geol.* LIV/2 București.
- Mușat I. A., Vasilescu Olimpiu (1969) Mineralizații de sulfuri de la Părăoane și Arșița, Munții Bistriței-Carpații Orientali. *D.S. Inst. Geol.* LIV/2. București.
- Papiu V. Corvin (1963) Geologie și Drumetie. Ed. Stiinț. București.
- Raguin E. (1961) Géologie des Gîtes Minéraux. Troisième Edition. Ed. Masson et Cie. Paris.
- Sankov A. A. (1954) Geochemical. Ed. Teh. București.
- Schneiderbahn H. (1962) Die Erzlagerstätten, 4. Auflage. Gustav-Fischer-Verl. Jena.
- Socolescu M. (1961) Observații asupra metalogenezei și zonalității în provinciile metalogenice din Carpații Orientali și Baia Mare. *Rev. Min.* XII/1. București.

- Stiopoi V. (1962) Studiu mineralologic și geochemical al complexului filonian din Munții Tîrbleș. Ed. Acad. București.
- Stiopoi V. (1963) Geochimie. Ed. Did. și Ped. București.
- Winchell A. N., Winchell H. (1964) Elements of optical mineralogy. John Wiley & Sons Inc. New York.

CONSIDÉRATIONS PÉTROGRAPHIQUES ET GÉOCHIMIQUES SUR QUELQUES MINÉRALISATIONS DE SULFURES POLYMÉTALLIQUES DE LA RÉGION DE MESTECĂNIS-FĂRĂOANE, MONTS BISTRITZEI (CARPATES ORIENTALES)

Résumé

Dans cet exposé les auteurs présentent une série de considérations pétrogénétiques et géochimiques concernant quelques minéralisations de sulfures polymétalliques hydrothermales de la zone Pojorita-Mestecăniș-Fărăoane (monts Bistritzai), localisées dans les fractures profondes de l'auroreole de certaines intrusions de roches basiques.

Les minéralisations se présentent sous forme de filons, brèches et imprégnations dans lesquelles les sulfures sont prépondéramment représentées par pyrite, ou/et marcassite, accompagnées de chalcopyrite, blende et galène dans une gangue de quartz, feldspaths, chlorite, biotite, muscovite, parfois carbonates.

Aux niveaux supérieurs, le rapport entre la quantité de sulfures et la gangue est 1/9 mais, en profondeur, il devient 1, et le mispickel, la bornite et la bournonite apparaissent à côté d'autres sulfures.

L'étude microscopique de ces minéralisations a démontré que la sédimentation des sulfures s'était consommée en deux phases successives.

Dans ces sulfures, on a étudié la présence des éléments mineurs à l'aide d'une série d'analyses chimiques et spectrochimiques effectuées sur le minéral homogénéisé ou sur des pyrites, le plus possible sélectionnées. Le but de la recherche a été d'établir la paragenèse des éléments et non des minéraux métalliques qui forment la minéralisation. On a aussi étudié la détermination d'éventuelles aurores primaires de dispersion autour des zones minéralisées.

A la suite de ces recherches on a mis en évidence la présence des éléments suivants : Au, Ag, Cu, Pb, Zn, As, Co, Ni, Hg, Bi, Sb, Cr, W, Ba, Sn, V, etc.

Les auteurs sont arrivés à la conclusion que les éléments mineurs ci-dessus décrits étaient syngénétiques avec les minéraux sulfuriques des paragenèses et sédimentés en même temps que la seconde venue de solutions, aux niveaux connus.

On souligne qu'il y a des rapports directement proportionnels entre la température de sédimentation et la paragenèse des éléments, en tenant compte du fait que la quantité de certains éléments augmente en même temps que la profondeur.

La présence de ces „éléments mineurs“ en grand nombre et quantité dans les sulfures respectives, démontre que les solutions hydrothermales ont eu une composition très complexe et une haute température de sédimentation qui se reflètent dans leur distribution et sédimentation.

La paragenèse commune des minéraux et surtout des éléments des zones minéralisées, citées dans cet exposé, peut constituer un diagnostic pour les placer dans une province métallogénique unique.

L'étude de la paragenèse des éléments du minerai respectif peut conduire à l'idée que l'enrichissement — vers la profondeur — d'un de ces minéraux serait possible, car les sédimentations qui aux niveaux supérieurs n'ont pas de teneurs importantes, peuvent atteindre des valeurs économiques en profondeur.

En conclusion on montre que les minéralisations de sulfures polymétalliques, présentes seulement dans certaines fractures de l'autéole des intrusions de roches basiques, sont en rapport génétique avec le foyer magmatique qui a mis en place les roches basiques aussi. Les fractures étant reprises ou même créées pendant la phase savique de l'orogenèse alpine, ces minéralisations seraient des dépôts hydrothermaux néogènes.

Planche I

Distribution de la concentration des éléments chimiques dans le forage no. 35.914 — Mestecăniș.

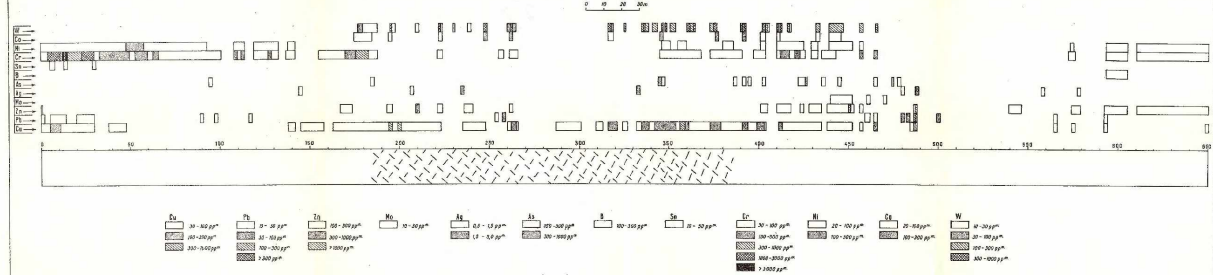
Planche II

Distribution des éléments chimiques dans le forage no. 35.914 — Mestecăniș.



MISIUNI DE ALERGIARE - DIPLOMA DEZERBERARE - STEFAN SARBU
 REPARTIȚIA CONCENTRAȚIEI ELEMENTELOR CHIMICE ÎN FORAJUL 35.914 MESTECĂNIȘ

0 10 20 30 m



AL.I.MUŞAT,O.VASILESCU,C. Considerările petrografice și geochimice asupra unor mineralizări de sulfuri polimetale din regiunea Mestecăniș-Pădurene, munți Bistriței-Carpății Orientali.

Pi II.

MUŞAT ION ALBICIADI - OLIMPIA VASILESCU - ŞTEFAN VANCEA

DISTRIBUȚIA ELEMENTELOR CHIMICE ÎN FORAJUL 35.914 MESTECĂNIȘ

0 20 40 60 m

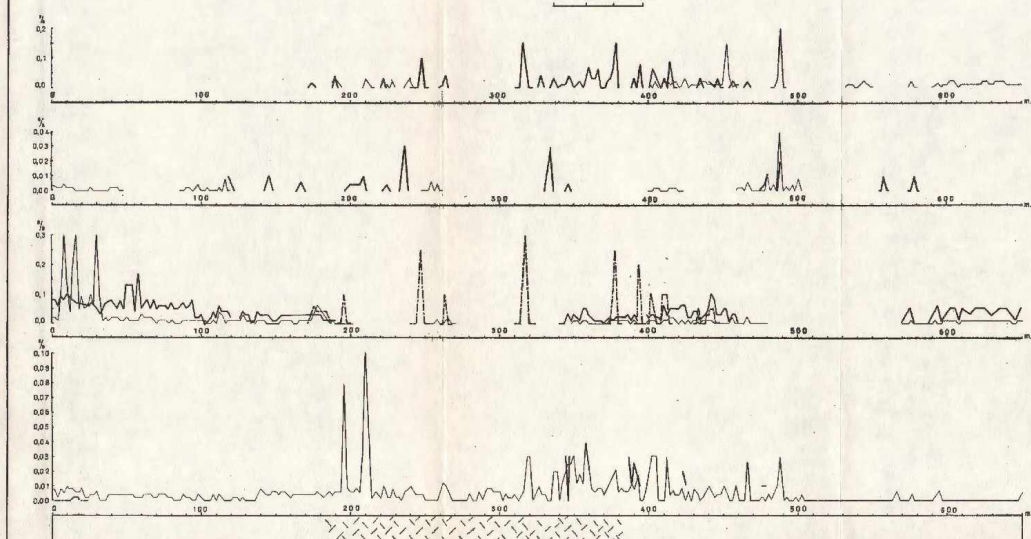
LEGENDĂ

Zn
W

Pb
Ag
Ag de 10x < Pb

Cr
Co
Ni
Co și Ni de 10x < Cr

Cu
As
Sn



GENEZA FORMAȚIUNII BAUXITIFERE DIN BAZINUL
HĂTEGULUI¹

DE

VICTOR GÖRVIN PAPIU, SILVIA MÎNZATU, VASILE IOSOFF²

Abstract

Genesis of the Bauxite-Bearing Formation of the Hăteg Basin. Several genetical conclusions related to bauxite-bearing complexes (or associations bauxite-argillaceous rocks) of the Gargasian-Albian age, located on the Mesozoic paleokarst of the Hăteg Basin (South Carpathians Romania), are presented. It is admitted that these deposits were generated by the detrital-chemical sedimentation processes and that they display a clear allochthonous character. The total absence of the granular detrital material, as well as the presence in argillaceous levels of more or less kaolinized detrital micas are arguments allowing to presume the existence of two stages of sedimentation genesis, as follows: (1) the first, of decantation during which the allochthonous granular material would have marked a gravitational sorting, concentrating in the lower part of the basin, being divided in the superjacent liquid phase into two zones: a lower ferro-bauxite and an upper argillaceous-micaceous, and (2) the sedimentation stage proper, when the definitive accumulation would have occurred due, as presumed, to their overspreading on the paleokarst relief. There results an inverted succession: argillaceous deposits followed by bauxites. The macroclastic material sorted in the first phase is torrentially accumulated over the preceding ones generating an upper sandstone-conglomerate horizon. Numerous local variations modify this standard scheme. In this paper there are concomitantly presented the characters of the diasporic autochthonous bauxites from the Pădurea Craiului Massif (Apuseni Mountains), and those of the Hăteg Basin, the possible derivation of the latter from the autochthonous bauxites mentioned above being critically formulated.

Prezenta lucrare conține concluziile genetice desprinse din studiul chimico-mineralologic al bauxitelor și rocilor însoțitoare din bazinul Hătegului care au format obiectul unei comunicări anterioare (Papiu et

¹ Comunicare în ședință din 27.II.1970.

² Institutul Geologic, Sos. Kiseleff 55, București.

al. 1971 b) în care au fost prezentate: ocurența, forma de zăcămînt, chimismul și litologia atât pentru rocile bauxitice și rocile argiloase asociate lor în zăcămînt (asociație pe care am denumit-o „complex bauxitifer”) cît și pentru calcarele din fundamentele și grezo-conglomeratele din acoperișul lor.

Problema genezei bauxitelor și în mod special a bauxitelor legate de un substrat carbonatat (calcaros sau dolomitic) a comportat numeroase discuții și continuă să se găsească în centrul preocupărilor cercetărilor de specialitate.

Studiile sistematice și complexe întreprinse în ultimii ani de către colectivul nostru din cadrul Institutului Geologic au condus la o seamă de concluzii genetice privind bauxitele noastre, care au fost inserate într-o suita de rapoarte geologică-miniere, ca și de articole și comunicări prezentate în diverse foruri din țară și de peste hotare, ultimele fiind cele de la Congresul Internațional de Geologie de la Praga (Papiu et al. 1968) și de la Conferința Internațională asupra geologiei bauxitelor de la București din septembrie 1969 (Papiu et al. 1970).

I. Poziția sistematică a bauxitelor din bazinul Hațegului

Examinînd bibliografia de specialitate, constatăm că, încă din 1927, Fox întocmește o clasificăție a bauxitelor, simplă și logică, a cărei valabilitate este încă actuală. Acest autor deosebește de o parte bauxite de tip „terra rossa”, cuprinzînd două subgrupe „primare” și „resedimentate”, și de altă parte, bauxite de „tip lateritic” formate pe roci aluminoase care, la rîndul lor pot fi de asemenea primare sau generate și păstrate „in situ” sau, ca și precedentele, resedimentate. După 45 ani clasificarea bauxitelor a luat un aspect deosebit, în sensul corelației directe dintre cele două domenii, fundamentele carbonatate avînd doar rolul de suport mai mult sau mai puțin „activ” în procesul de sedimentare și bauxitizare. Bushinsky, (1964) distinge, în clasificăția sa, trei grupe genetice: 1, bauxite lateritice (zăcămînte reziduale pe roci alumino-silicata); 2, zăcămînte sedimentare pe roci carbonatate, cu două subgrupe și anume: zăcămînte de contact și zăcămînte areale. Aceste două subgrupe sunt denumite de Barroso (1969) bauxite cu aleături petrografică complexă și respectiv bauxite cu compoziție petrografică simplă, corespunzînd „bauxitelor carstice” — str.s. — ale autorilor francezi, în ale căror forme de zăcămînt se asociază bauxite și argile. În ultimele două subgrupe se situează bauxite a căror origine se admite în genere că este

legată de roci silico-aluminoase lateritizate sau de remaniere a unui material bauxitic preexistent, ajungindu-se la concepția potrivit căreia substratul calcaros sau dolomitic joacă un rol pasiv (Nicolae 1969, Roch 1967, în parte).

Bardossy propune și o a patra grupă a „zăcămintelor reziduale pe fundament carbonatat”, intermediară între bauxitele lateritice și cele carstice. Exemplul dat sunt bauxitele din Ariège care Coombs (1969) apreciază că s-au format pe seama unui material argilos acumulat pe fundație carbonatată.

Deosebirea fundamentală dintre modul de interpretare în clasificările vechi și în cele actuale constă deci în originea materialului primar, admitându-se, de către majoritatea cercetătorilor, că, deși sunt placate peste roci carbonatate, bauxitele au la origine un material provenit din roci silico-aluminoase, prin procese de lateritzare alitică sau de „ferralitizare” (Millot 1964), sau că provin din zăcăminte bauxitice preexistente. Termenul de lateritzare *l.s.* a fost extins și pentru domeniul carstic (Caillère și Pobeguin 1964).

În ceea ce privește originea materialului primar al bauxitelor carstice, trei concepții se formulează în prezent și anume: teoria autohtoniei sau autohtoniei absolute, teoria paraautohtoniei sau alohtoniei relative și teoria alohtoniei sau alohtoniei absolute.

Prima admite acmumularea în loc a bauxitei rezultată din rezidurile calcarelor și dolomitelor conform formulării ei primordiale de către Ingósslavii Tucan (1912) și Kišpatič (1912), fără intervenția de aporturi de altă natură și a fost aplicată în Pădurea Crainului de Pauls (1913) și apoi de Rozłosznik (1918).

În interpretarea noastră, caracterul autohton (în sens local) se menține, dar geneza este legată de piroclastite diabazice (ipotetice), placate peste calcare și apoi desilicatare, eventual pe cale hidrotermală sau lateritizare, solubilizate în ape cu pH acid și apoi precipitate chimic prin amestec cu apele carstului (Papiu, Mînzatu 1967; Papiu et al. 1969). Asocierea primară calcar-piroclastit le apropie, în privința ocurenței, de bauxitele autohtone rezultate din lateritzarea bazaltelor și tufurilor placate peste dolomitele din Skopelas (Grecia) (Papastamatiou 1965) ca și de unele bauxite din U.R.S.S. (Kalugin) și din Caraibe-Jamaica (Burns 1961, Chubb 1963). Deosebirea constă în concepția solubilizării integrale în cazul nostru urmată de precipitare, punct de vedere înălțnit printre alții, la Gedeon (1952), Caillère și Pobeguin (1964-1965) Ruttner (1969). Pentru minerurile

oxide de fier, teoria precipitării este aplicată de Rousset (1967) în Haut-Var Franța. Se înțelege că originea primară a cineritelor are caracterul alohton. Solubilizarea și precipitarea le imprimă însă specificul unei autentice origini autohtonе sau, în definiția lui Grabau (din Petijohn 1956) „endogene”, în sensul de formare prin forțele aflate în însăși materia care participă la mineralogeneză din soluție.

Noțiunea de „parautohton” se referă la proveniența materialului prime din însăși masa calcaroasă înconjurătoare (Bonte 1969, de Weisse 1964). Această concepție nu-și are aplicativitatea în interpretarea noastră. În sensul „paraallohton” dat de Roch (1968) ca poate fi acceptată presupunând deplasarea materialului primar alogen spre zonele depresio-nare. Aceiași origine au și unele bauxite din Siberia (Abdulaev 1969 Lisalek, Rodin 1969). În fine cca de a treia grupă genetică se referă la originea allotonă, cu proveniența materialului în afara ariei de sedi-mentare și de ocurență actuală. Pentru partizanii acestei opinii, agentul de transport pentru bauxitele allohtonе a fost considerat a fi vîntul (Roch 1968) sau cursurile de apă (Demangeon 1969, Nicolais 1969 etc.), iar starea de agregare, cea de suspensii detritice, de particule coloidale (Bushinsky 1964, Valeton 1964 etc.) sau chiar cea ionică (Gedeon 1952, Caillère, Pobeguin 1965, Ruttnier 1969 etc.).

Dacă încercăm să situăm bauxitele noastre în clasificarea citată, nu găsim loc efectiv decit pentru cele din Bazinul Hațegului care corespund grupei bauxitelor areale sau de alcătuire simplă (bauxită-argilă). Într-o măsură mai mică, bauxitele de la Cîmpeni-Sohodol se încadrează în grupa bauxitelor cu compoziție complexă — fără însă a fi legate de complexe variante de roci argilo-detritice și fără a i se găsi în apropiere depozitul lateritic primar, care le-a generat, cum cere definiția dată de Bushinsky. Bauxitele din Pădurea Craiului, prin caracterul lor net de precipitare chimică, se situează într-o grupă cu totul aparte. Foarte asemănătoare lor sunt bauxitele diasporice din regiunea Parnas-Kiona (Grecia) după Nia (1968) atât ca ocurență cît și mineralogie. Din acest motiv, considerăm că bauxitele carstice de pe teritoriul nostru trebuie împărțite în două mari grupe și anume: (1) bauxite autohtonе sau de precipitare chimică tip Pădurea Craiului și Poiana Rusă (2) bauxite alohtonе sau detrito-chimice tip Hațeg și Cîmpeni-Sohodol. Lî se adaugă un al treilea tip de depozit alitic reprezentat prin sedimentele periglaciare continentale ematitare, actuale ale Ichimului carstic de pe platoul calcaros al masivului Pădurea Craiului, analog depozitelor de „terra rossa”.

II. Asemănări și deosebiri între bauxitele autohtone și cele alohtone din România

Considerind bauxitele din Pădurea Craiului (P.C.) drept litotipul bauxitelor noastre autohtone și pe cele din Hațeg (B.H.) al celor alohtone, am considerat deosebit de util să le comparăm din diferite puncte de vedere, pentru ca, pe baza acestor caractere să putem trage concluzii genetice și eventual filogenetice :

A) Ocurența și forma de zăcămînt.

Ambele tipuri de bauxite mulează fundamentul paleocarstic peste care repauzează și au limită superioară plană.

P.C. : corpuri lentiforme de dimensiuni reduse (maximum cîțiva zeci de metri) ;

B.H. : alcătuiesc o placă discontinuă pe zeci de hectare ;

P.C. : calcare recifale jurasice superioare în fundăment și calcare lacustre neocomiene în acoperîs ;

B.H. : calcare stratificate jurasice și calcare recifale urgoniene în fundăment sedimente detritice grosiere, nestratificate, de vîrstă apărut superioară în acoperîs ;

B) Caractere litologice.

P.C. : zăcămînte alcătuite exclusiv din bauxită, nestratificate, lipsite de orice fel de adaosuri detritice și de resturi organice, fără nici o corelație laterală cu sedimente argilo-detritice sau organogene sincrone. Structuri ooidale.

B. H. : complexe bauxitifere nestratificate alcătuite din orizonturi continue, alternanțe sau zone cu tranziție gradată de la bauxită la argilă cu material detritic. Structuri geloide fără diferențieri. Rocile argiloase prezintă recristalizări de caolinit.

C) Caractere geochemice.

Remarcabilă asemănare în chimismul celor două tipuri de bauxite atât în ceea ce privește conținutul în elemente majore (tab. 1) și conținutul în elemente minore (tab. 2).

P.C. : bauxitele ferice ($\text{Fe}_2\text{O}_3:\text{FeO} > 20$) predomină (cca 95%). Subordonat două serii genetice în tipuri de bauxite fero-ferice ($\text{Fe}_2\text{O}_3:\text{FeO} = 8-5$) și feroase ($\text{Fe}_2\text{O}_3:\text{FeO} = <4$). Conținut în silice subordonat (tab. 1) și aproximativ constant.

TABELUL 1

Tabel comparativ privind conținutul median în Al, Fe, Ti și Si din principalele noastre bauxite ferice

Component	Nr. de probe	Masivul Pădurea Craiului		Sohodol-Cimpeni		Bazinul Hațegului	
		7	8	7	8	10	
SiO_2	a	1,2 – 7,0		2,4 – 18,9		0,6 – 8,6	
	b	3,80		10,5		3,36	
Al_2O_3	a	45,2 – 59,6		42,9 – 56,0		46,6 – 54,8	
	b	50,80		50,65		50,27	
Fe_2O_3	a	20,9 – 38,7		24,4 – 34,8		24,4 – 34,8	
	b	29,37		20,31		29,46	
TiO_2	a	2,0 – 3,4		2,4 – 2,9		2,4 – 5,2	
	b	2,78		2,66		3,51	

a - limite de variație; b - medie.

TABELUL 2

Conținuturile medii de elemente minore (ppm) în bauxitele ferice din R.S.R.

Bauxite	Nr. probe	Ni	Cr	V	Be	Zr	Su	Pb	Ga	Ba	Sr
Pădurea Craiului	13	138	405	372	10,7	808	11,9	118	43	39	117
Bihor	2	79	407	357	8,1	697	10,5	84	44,5	16	30 – 40
Sohodol	10	130	134	238	13	625	34	202	51	130	603
Hațeg	10	134	216	370	7,0	733	8,2	115	16	51	337

B.H. : bauxite exclusiv ferice. Conținut în silice variabil, funcție de adausul de minerale argiloase care pot ajunge la exclusivitate (argile).

P.C. : corelație inversă între conținutul de fier și cel în aluminiu⁴.

R.H. : corelație directă între procentele celor două metale

D) Caractere mineralogice

În ambele grupe predomină hematitul, iar titanul este legat sub formă de anataz.

P.C. : alumina liberă în majoritatea covîrșitoare a cazurilor (bauxite ferice), sub forma de diaspor. Boehmitul cu totul subordonat, prezent în bauxite cu fier feros.

⁴ A.I. Dimitriu, V. Corvin Papiu și Anca Andăr. Stabilirea parametrilor geochemici ai bauxitelor din masivul Pădurea Craiului (perimetru Zece Hotare) și stabilirea modulului caracteristic pentru bauxitele din zona Ohaba Ponor. (1969) Arh. Inst. Geol. București



- B.H. : alumina liberă exclusiv sub forma de boehmit.
- P.C. : variația mineralologică vastă funcție de adaosurile de minerale cu Fe^{2+} (clorite, pirită) și de goethit primar.
- B.H. : alcătuire simplă, fierul exclusiv sub forma de hematit, minerale feroase (leptoclorite, sideroză, pirită), cu totul sporadice și formate secundar. Goethit numai secundar.
- P.C. : minerale argiloase exclusiv caolinit, în cantități subordonate (sub 8%).
- B.H. : amestecuri în toate proporțiile între boehmit și caolinit. În rocile argiloase apare pînă la exlusivitate dickitul.

E) Alterare superficială

- P.C. : zăcăminte puternic fisurate, mai ales pe limită cu calcarele și apoi pătrunse de lehmul cărăbie din exterior. Avansate procese de defezizare periferică.
- B.H. : zăcăminte continue, puțin alterate, defezizări rare; frecvente în masa gresiilor din acoperiș.

F) Influențe hidrotermale

- P.C. : fisuri umplute uneori cu pirită, cuarț, diaspor recristalizat sau caolinit, indicind activitate hidrotermală, corelată probabil magmatismului banatitic.
- B.H. : nici un indiciu de hidrotermalism. Goethitul și caolinitul de pe fisuri depuse de apele de infiltratie, exogene.

G) Vîrstă geologică

- P.C. : vîrstă neocomian inferioară, formațiune în facies sidcrolitic wealdian.
- B.H. : vîrstă aptian superioară sau albiană.

III. Originea materialului primar

Datele prezentate anterior arată în mod indubitabil originea allochtonă a materialului din care au luat naștere complexele bauxitice, avându-si sursa fie în zăcăminte preexistente de bauxită primară, fie în depozite lateritice transportate de la o oarecare distanță în bazinul de acumulare continental, aflat pe un paleocarst aptian superior. Remarcabila asemănare în privința chimismului și a conținutului în elemente minore din tre bauxitele din masivul Pădurea Craiului și bauxitele din Hațeg, cons-

tituie un serios argument geochemical pentru afirmarea filiației celor două tipuri de bauxite. Argumente contrare peremptorii sunt prezența diasporului în mare majoritate a bauxitelor din Pădurea Craiului față de prezența exclusivă a boehmitului în complexele bauxitice din bazinul Hațegului, ca și marile adasuri de argilă și de material detritic din ultimele. Aceste argumente li se adaugă faptul că nu au fost recunoscute nicăieri pe platoul carstic de pe versantul vestic al munților Sebeșului sau în altă parte bauxite de tip autohton sau asemănătoare. Acest fapt se poate natural explica prin supozitia unei totale demantelări, prin eroziune, a zăcămintelor originare. Fragmentele de bauxită găsite în masa caolinitică din baza complexului de la Murgoi, care ar putea fi considerate eventual ca materialul de origine a acestor bauxite (R a i r a T i r n o v e a n u⁵) prezintă caracter asemănătoare bauxitelor superioare, fiind boehmitice și cu mari adasuri de hematit (pl. fig. 1). Este posibil ca bauxitogeneza să nu fi fost riguros sincronă în toate punctele și ca aceste fragmente să provină de fapt din depozite penecontemporane remaniate în imediata apropiere. Cantitatea foarte mare de caolinit curat și primar recristalizat în care se găsesc înglobate fragmentele menționate, în baza-complexelor bauxitice, rezultă, după opinia noastră, dintr-o remaniere detritică din zăcăminte preexistente de caolinit. Admitând o origine analogă pentru argilă, ca și pentru materialul detritic (exclusiv muscovit) pe care-l conține, ar însemna, în această accepțiune, să presupunem cel puțin originea dublă: pentru boehmit și pentru caolinit.

Cum materialul din sedimentele detritice acoperitoare își are originea, în mod indubitat în fundamentul cristalofilian mezometamorfic al Sebeșului, putem admite că ne găsim în prezență unei sedimentări complexe în care materialul poate proveni din zăcăminte de bauxită preexistente și din demantelarea sincronă a unei scoarțe lateritice (fersialitice) cu mult caolinit, provenind din alterarea fizică a masivelor cristalofiliene (material elasic).

Pentru explicarea prezenței boehmitului, a cărui participare la alcătuirea bauxitelor de tip Pădurea Craiului, am arătat că este nesemnificativă, se pot face trei supozitii: boehmitul provine din alt tip de zăcăminți în care preexistă (cum sunt de exemplu bauxitele primare din munții Bihorului — V. Galbina), roci cu origine și caracter petrologice apropiate celor din Pădurea Craiului în care am avut însă ocazia să arătăm prezența boehmitului în cantități ridicate (Papiu et al. 1970 b); în supozitia derivării metamorfice a diasporului din boehmit în zăcăminte.

⁵ Comunicare verbală.

din Pădurea Craiului, trebuie să presupunem o remaniere anteroară proceselor de transformare. Această ipoteză pare însă puțin probabilă deoarece diasporul din suscitatele bauxite este în mod sigur primar (Papiu et al. 1971 a); întregul material provine din laterite formate pe seama funda-mentalui cristalin, al căror chimism este asemănător cu al bauxitelor din Pădurea Craiului.

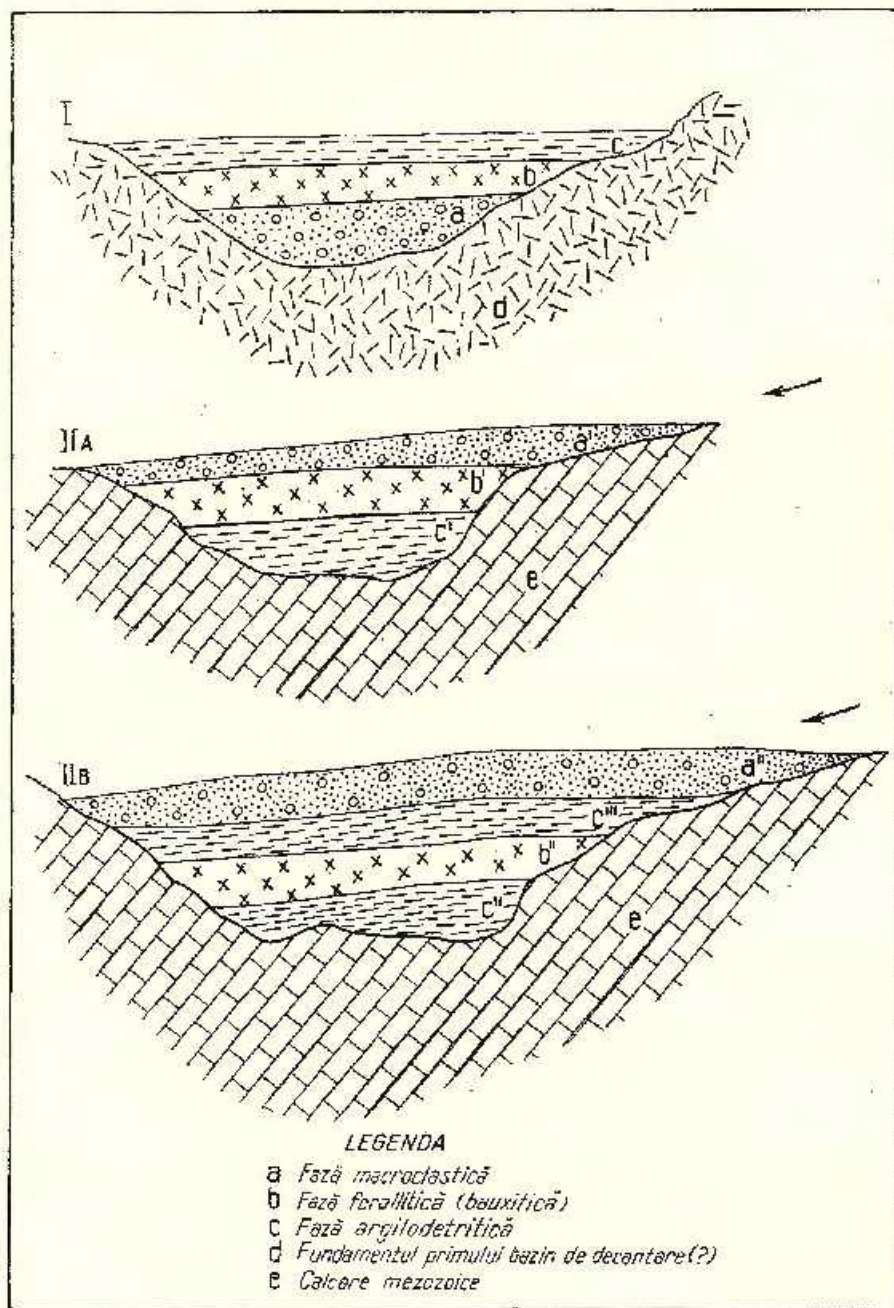
În accepțiunea oricărei ipoteze dintre cele formulate, procesul de sedimentare ne apare alimentat, în ansamblu, într-o primă etapă, de un amestec de material bauxitic și argilo-detritic (mai exact argilo-micaceous, muscovitic și biotitic fiind singurele minerale detritice aflate frecvent, intercalăriile argiloase; quartul și feldspații lipsesc integral), iar într-o a doua etapă, de un material detritic grosier care a acoperit complexele bauxitice subiacente. Prezența sporadică, alături de mice, a rutilului, turmalinei și zirconului granular, indică o corelație a complexelor bauxitice cu cristalinul subiacent. Chiar dacă admitem că rutilul, ca și anatazul, ar putea fi corelate cu titanul din bauxite (deși granulul pare remaniat), iar zirconul, cu biotitul din care ar fi fost eliberat prin alterare (care de asemenea par remaniate), argumentele nu sunt cu nimic contrazise, rămânind un semn de întrebare doar asupra modului în care s-au menținut în serie, mai ales turmalina, atunci cînd granule din alte minerale mai rezistente la alterare nu se mai întîlnesc. Asupra acestei chestiuni, ca și asupra prezenței turmalinei de neoformație, vom reveni pe parcursul lucrării.

În ceea ce privește materialul detritic, foarte heterogen de altfel, se apare sporadic în orizontul de bază, el pare generat de alunecarea și acumularea pe fundul depresiunilor carstice a unor sedimente preexistente, antrenate de pe versanți. În acest fel se poate explica și prezența fragmentelor preexistente de bauxită în masa compactă de caolinit detritic.

IV. Sedimentarea complexelor argilo-bauxitice

Am arătat anterior căc este succesiunea pe verticală a depozitelor ce alcătuiesc complexele bauxitice din bazinul Hațegului, scoțind în evidență faptul că, în ansamblu, ordinea poate fi considerată următoarea (tipică în sectoarele Comarnic și Murgoi): orizont argilo-detritic (bazal); orizont bauxitic (median); orizont argilo-detritic (superior).

Uneori (Murgoi), în orizontul median, apar intercalări argilo-detritice; alteori lipscște orizontul argilos superior sau cel inferior sau, în fine, bauxita se situează direct peste patul calcaros. În sectorul Fizești, întregul corp se reduce la o masă argilo-bauxitică (argilă megaaluminoasă) cu



muscovit detritic, ca și cind ar fi prezent doar orizontul argilos detritic bazal. Pentru a menționa premizele problemei genetice, trebuie să reamintim că practic materialul detritic decelabil se reduce la muscovit, adeseori în diferite grade de caolinizare epitaxică, și la biotit (cloritizat sau caolinizat, în genere), că materialul elastic granular lipsește cu desăvîrșire și că, în rocile argiloase, apare și dickitul. Lipsa stratificației, corelată cu structura geloidă, în care se conturează uneori corpuseculi opaci de diferite forme, inconjurați de caolinit, ne indică o sedimentare de tip argilo-coloidal sau argilo-chimic, dintr-un amestec initiu de suspensii și substanțe în dispersie ionică și coloidală. Gresiile și conglomeratele poligene, cu ciment hematitic argilos acoperitoare se situează în directă continuitate de sedimentare peste complexele citate.

A) Prima fază a sedimentogenezei (decantarea). Pentru a da o explicație acestei succesiuni inverse se poate admite fie că, într-o primă fază, s-au acumulat cu exclusivitate bauxite și argile (sedimentare chemoargilo-microclastice) în supozitia unui relief propice și a unei clime latitudinale, după care a urmat inviorarea reliefului și sedimentarea macroclastică, fie că în prealabil a avut loc un proces de decantare după care, inviorarea reliefului ar fi avut ca urmare redepunerea materialelor dar în ordinea inversă. Aporturi macroclastice anterioare sau alunecări pe pantă, ar fi determinat apariția faciesurilor grezo-microconglomeratice din baza formațiunii. Pe de altă parte, prezența constantă și exclusivă a caolinitului (+ dickit), structurile epitaxice prezентate de muscovitul caolinizat, asocierea concomitentă a fierului trivalent cu aluminiul și titanul în proporții analoge, ca și corodarea în diferite grade a calcarelor la contact cu aceste roci constituie argumente clare, după opinia noastră, pentru a admite existența unui mediu originar acid, cu pH uneori foarte scăzut. Cu aceste elemente formulate să încercăm să reconstituim succesiunea procesului sedimentogen :

I. Stadiul ipotetic de decantare premergătoare sedimentară.

II. A. Sedimentare pe fundament karstic fără nivelul argilos superior. II. B. Sedimentare în succesiune completă.

a) fază macroclastică; b) fază ferallitică (bauxitică); c) fază argilo-detritică; d) fundamentul [primul] [bazin de decantare (?)]; e) calcare mezozoică.

L. Stade hypothétique de décantation précurseur à la sédimentation. II A. Sédimentation sur soubassement karstique dans l'absence du niveau argileux supérieur. II B. Sédimentation en succession complète.

a) phase macrochastique; b) phase ferallitique (bauxitique); c) phase argilo-détritique; d) soubassement du premier bassin de décantation (?); e) calcaires mésozoïques.



Un material bauxitic sau lateritic, adus la un grad de mare dispersie, a fost transportat, fie pe cale eoliană, numai pentru pulberi, (R o c h 1959, 1968) fie pe cale fluvială (N i c o l a s 1969, D e m a n g e o n 1969, etc.), fie în fine — și poate mai curând astfel — prin scurgeri de nămol pe versanți (B u s h i n s k y 1964) și depozitat într-unul sau în mai multe bazină intinse și cu ape liniștite. În aceste bazină ar fi avut loc o sortare foarte avansată, potrivit cu coefficientul hidraulic, în cazul materialului elastic și funcție numai de greutatea specifică în cazul mîlurilor bauxitice și argiloase. Ca urmare a avut loc o primă etajare: pe fundul cuvetei s-a acumulat un strat de nisip și pietriș fin (a). Peste acesta s-au creat apoi două zone în care suspensiile mîlurilor s-au concentrat potrivit greutății specifice și anume o zonă hematito-bauxitică inferioară (b) și o zonă fero-caolinitică superficială (c) în care, în apele dense determinate de suspensiile caolinitice mai mult sau mai puțin asociate cu oxizi ferici, se mențineau în suspensie mîcile detritice. Gradul mare de dispersie a suspensiilor din aceste două faze fluide superioare depozitului de bază nu permitea însă o separare riguroasă și de aici, după cum se va arăta, au rezultat caracterole mixte argilo-bauxitice ale rocilor intermediare. O sedimentare analogă, cu indicii de granoclasare, se realizează sub ochii noștri în bazinele de decantare ale spălătoriilor de bauxită de la Chistag și Dobrești (Pădurca Craiului), unde mîlurile hematito-bauxitice indică o evidență stratificăție și chiar granoclasare. Apele sunt limpezi populate de pești la suprafață, iar în mîluri își implină rădăcinile plante superioare, hidrofite.

Plecind aşadar de la premiza existenței unei atare sortări inițiale, trebuie să presupunem că, în apele „mlaștinilor ipotetice” (cu mîluri fero-aluminoase), avea loc o activitate bacteriană avansată care crea pH-uri foarte acide, datorită cărora trecea chiar în soluție o parte din fier, aluminiu și titan. Fierul este probabil să fi fost adus mai întâi în forma bivalentă și să se fi oxidat odată cu sedimentarea. În faza aceasta, fragmentele de calcare pătrunse întimplător în apele acide au fost dizolvate sau corodate (Pl., fig. 2), au început să se formeze asociațiile epitaxice de muscovit și caolinit prin degradarea muscovitului de-a lungul planelor de clivaj și a început cloritzarea și caolinizarea lamelor detritice dc biotit procese care s-au continuat și definitivat în faza diagenetică din bazinul de sedimentare finală. Caolinitul cu structură vermiculară reprezintă după toate probabilitățile produsul final al transformării epitaxice a muscovitului detritic în mîlurile de origine, chestiune asupra căreia vom reveni în capitolul privind transformările diagenetice.

În această fază „de decantare” care precede sedimentarea definitivă se realizează aşadar două faze fluide deasupra sedimentului de pe

fund: una inferioară bauxito-feruginoasă și una superioară argilo-feruginoasă. Aceasta din urmă poate conține uneori caolinit curat dar, în cele mai multe cazuri, complexele argiloase au fixat unele cantități de fier.

B) Faza neumulării definitive. Dacă în situația bazinului de decantare menționat, o regenerare a reliefului determină deplasarea apelor spre o depresiune carstică situată la un nivel inferior, faza lichidă superioară cu argilă micacee va fi prima care se va prelunge peste relieful de fund al noului bazin, de sedimentare unde se va amesteca cu sedimentele eventual preexistente, provenite din deplasări de pe versanți așa cum ar arătat mai sus. În naștere astfel depozitul argilo-detritic bazal. O a doua mișcare, sau eventual o deplasare continuă, aduce materialul bauxito-hematitic peste precedentul, în zonă mediană, pentru că, în final, deplasarea torrentială a materialului detritic bazal să acumuleze nisipurile și pietrișurile peste sedimentele depuse anterior, generind actualele depozite detritice din acoperișul complexelor bauxitifere. În felul acesta se explică succesiunea litologică din zonele în care lipsește orizontul superior argilos. Pentru explicarea însă și a prezenței acestuia din urmă, potrivit „schemei standard”, trebuie să admitem că, înaintea acumulării depozitului grosier acoperitor, a mai avut loc un aport de material argilo-hematitic care, la rîndul său, își decantase în prealabil, gravitațional, faza macroclastică (fig.; II B).

Diferitele situații deosebite de această schemă ar fi fost impuse de varietatea aporturilor succesive chiar alternative (sectorul Murgoi). Alteori decantarea materialului a avut loc înainte de sortare (lentile argilo-bauxitice de tip Fizești) sau aportul a fost aproape exclusiv bauxitic, caz citat din forajele de la Murgoi, în care bauxitele se găsesc între patul de calcar și învelișul detritic.

Trebucă să presupunem însă că și în cazul bauxitelor allohtone din Hateg, ca și în al bauxitelor allohtone de la Sohodol sau al celor autohtone din Pădurea Craiului, apele carstice bicarbonatace au determinat precipitarea oxizilor triadei din soluții coloidale și ionice și aglutanind suspensiile de dispersie mai mare, care au format glomeruli și agregate precipitatul funcționând asemenea unui liant. De aici, lipsa de stratificare precum și lipsa structurii zonare ooidale care caracterizează bauxitele autohtone, de precipitare chimică, din munții Pădurea Craiului și Bihor. Tot precipitării și realizării rapide a unui depozit cu o oarecare consistență încetorează și faptul că aporturile succesive nu au amestecat cele două faze în bazinul de sedimentare, decât cel mult local sau parțial, la

limita de jonctiune, menținându-se, în felul acesta, unitatea litologică a orizonturilor.

Modul deosebit de acumulare explică și corelația inversă dintre conținutul în fier și cel în aluminiu din bauxitele autohtone față de corelația directă din cele alohtone. În primul caz, controlul pH-ului de precipitare separă, într-o oarecare măsură, fierul de aluminiu, în timp ce, în al doilea caz, acumularea gravitatională desparte fierul și oxizii de aluminiu de argilă. În graficul ternar (boehmit-hematit-caolinit) prezentat în comunicarea precedentă, proiecțiile bauxitelor se grupează în jurul a 35% Fe_2O_3 , iar proiecțiile argilelor, la 15–20% Fe_2O_3 .

Precizăm că am formulat alături de ipoteza sedimentării directe, și această complexă schemă evolutivă care la prima enunțare, poate să pară complicată și puțin forțată, din următoarele motive:

Dacă sedimentarea directă poate explica foarte bine geneza bauxitelor și precipitarea chimică (tip Pădurea Craiului), ea nu poate lămuri modul de acumulare al complexelor bauxitice alohtone de tip Hateg. Prezența micelor detritice indică participarea unui material litoclastic alături de suspensiile argiloase și bauxitice. Nu se poate sub niciun motiv concepe că sursa generatoare din provincia distributivă cristalofiliană ar fi conținut numai biotit și muscovit atât în cazul Hateg cît și în cazul Cimpeni-Sohodol. Prezența turmalinei detritice, a rutitului, biotitului și zirconului, de asemenea detritice și asupra originei căror am discutat anterior, complică și mai mult problema. Unii autori (D e m a n g e o n 1969, L i s i t i n a, P a s t u h o v a, din B a r d o s s y 1969) explică absența cuartului prin integrala sa substituție cu gibbsit. În cazurile cercetate de noi, această explicație nu poate fi aplicată din următoarele motive: mediul de alterare și sedimentare a fost, în mod indiscutabil, acid și deci nefavorabil solubilizări masive a silicei și mai ales a cuartului; nu se poate concepe îndepărțarea integrală a cuartului și a feldspațiilor (mai ales a microclinului) și în același timp totală nealterare a mineralelor accesori citate. Chiar și miciile se mențin în mare parte proaspete, caolinizarea și cloritizarea indicind după cum vom arăta un mediu net acid; cantitatea de silice solubilizată, într-o atare situație, ar fi fost foarte mare și ca ar fi trebuit să se regăsească, silicifiind sau substituind compoziții calcarelor sau altor roci din apropiere, ceea ce nu se întâlnește nicăieri.

Acum mod de a interpreta este susținut deopotrivă de cazul argilelor refractare, din regiunea Șuncuiuș (muntii Pădurea Craiului), de vîrstă

liasic inferioară, în facies de Gresten. Într-o lucrare foarte recentă⁶, am arătat că aceste roci, alcătuite în primul rînd din caolinit și din „caolinit dezordonat” (refractar), au luat naștere în mlaștini cu ape de o aciditate foarte ridicată și cu o vegetație hidrofilă bogată, pe scama căreia s-au format cărbunii conexi argilelor refractare. Aceste roci nu prezintă nici o urmă organică, ceea ce este consecința logică a marii acidități din mediul de sedimentare. În bază, ele se situează însă peste gresii cuarțitice în care se găsesc feldspați și minerale grele proaspete, fără indicii de eroziune (contururi corodate am recunoscut doar la mineralele grele din unele gresii negre cărbuncioase). Micele rămîn în masă argiloasă unde au fost determinate roentgenografic structuri mixte epitaxice (leverrierit?). Considerăm că aceste cuarțite bazale corespund materialului grosier decantat pe fundul bazinului, analogabil sedimentului detritic inferior rămas însă pe locul acumulării. Caolinitul s-a format pe seama micelor sau illitelor, silicea eliberată a produs fenomenele de cuartificare. O atare explicație este invocată de Vatașan (1962) în cazul formațiunii petroliere de vîrstă ordoviciană din Sahara centrală.

Din aceste considerente și întrucât în evoluția geologică a unei regiuni, se știe că se pot întîlni situații specifice nesuperpozabile asupra altora cu alcătuire analogă, considerăm interpretările noastre drept ipoteze fără pretenția de a fi prerempotrii dar în limitele largi ale logicii științifice, mai ales pentru fază siderolitică ec a precedat mișcările austrice, care încep în Cenomanian.

Vom da un exemplu de interpretare analogă :

Ehrhart (1962) pentru a explica prezența argiloi caolinitice cunoscută sub denumirea de Tonstein în bazinul carbonifer din Sarre :... „geneza caolinitului se înțelege perfect dacă se admite că a luat naștere în mlaștini cu ape acide. Este suficientă o mișcare epirogenică extrem de slabă pentru a aduce mlaștina în poziție de netă exondare. Vegetația hidrofilă moare și solurile caolinice sunt remise eroziuniei, „rexistazie de exondare”. Singura deosebire constă în aceea că, în bună parte, materialul la care ne referim este feruginos. Comparația este cu atât mai eloventă cu cît zona superficială a bazinului constituie suspensia caolinitică.”

Subliniem că atât ocurențe cât și parageneze asemănătoare argilobauxitice sunt citate recent de Caillère, Pobeguin, Roch (1969) din regiunea Draguignan (Haut Var) aplicind pentru geneză atât ipoteza

⁶V. Corvin Papu, V. Iosof, Alexandra Medeașan, Irina Brătescu, Em. Antonescu, S. Răduț. Studiu mineralogic și geochemical al argilelor refractare din Munții Apuseni. 1969. Arh. Inst. Geol.

remanierii cit și pe cea a precipitării sinerone, în totul analogă ipotezei noastre. De altfel modul în care alterează și transportă apele meteorice lateritele din India, asemănător modului imaginat de noi, a fost aplicat de Valeton (1966) pentru geneza bauxitelor din Brignoles. Nicola et al. (1968, din Caillère, Pobeguin, Roche 1969) arată că, în zăcăminte din Haut Var, se recunoaște un „profil lateritic inversat” ceea ce este analogabil vederilor noastre.

V. Evoluția diagenetică a complexelor bauxitice din bazinul Hațegului

Incepînd cu momentul sedimentării și sfîrșind cu procesele de alterare superficială cuaternar-actuale, complexele bauxitice din bazinul Hațegului au suferit o serie de transformări chimico-mineralogice, detectabile fie microscopic fie cu celelalte mijloace de investigație.

Mul rezultat conținea desigur hidrogelurile și precipitatele ionilor triadei Al-Fe-Ti care se acumulasă în condiții oxidante, alături de cantități variabile de caolinit, iar în orizonturile argiloase se adăugau unele procente de mica în diferite grade de caolinizare și cloritizare. Evoluția diagenetică și apoi cea epigenetică a hidrogelului alumino-feric a condus, prin deshidratare, la hematogel și la boehmit. Dacă în cazul bauxitelor din Pădurea Craiului pare a exista o corelație directă între procentul de oxigen și prezența diasporului și o corelație inversă față de boehmit, în cazul bauxitelor alohtone din Hațeg formate în condiții net oxidante, găsim totuși exclusiv boehmit. Prima situație este citată de Niia (1968) din bauxitele diasporice autohtone de precipitare din Grecia (reg. Parnass-Kiona) și cărora asemănare litologică și mineralogică cu cele din Pădurea Craiului este remarcabilă, iar cea de a doua din bauxitele din sudul Franței, alohtone ca și cele din Hațeg, de către Valeton (1966). Fără a avea pretenția că lămurim această contradicție, apreciem că este demnă de luat în considerație geneza diferită a celor două tipuri de bauxite. Dacă în condițiile depunerii directe din soluții, legătura cu redoxipotențialul poate fi un factor important, în cea de a doua situație materialul este probabil că s-a acumulat direct din suspensii boehmitice care au impus apoi, materialului în curs de precipitare, orientarea în structura cristalină a boehmitului.

Caolinitul este fără îndoială în bună parte detritic dar este și autogen, regenerat și format pe seama altor minerale mai ales a muscovitului. Într-adevăr caolinitul vermicular care constituie indivizi ce pot ajunge la dimensiuni milimetrice, este produsul final al diagenezei lamelor detritice de muscovit în masa mîlurilor cu pH-uri acide în apele de imbibition.



Considerind aceste cristale ca minerale aparte, intermediare între muscovit și caolinit, Termier (1890) le-a dat denumirea de leverrierit iar Lapparent (1934) a arătat că reprezintă de fapt alternanțe epitaxice de lame de muscovit și caolinit, fapt confirmat de Kubicki, Vetter (1956) în cazul stratelor de „Tonstein” din bazinul huijer Sarre. Acești autori au arătat că asociațiile epitaxice care conduc la caolinitul vermicular se formează în masa milurilor din lacurile continentale sub influența percolării continue cu ape acide (cu substanță organică). Întradevăr, ca și în alte cazuri, am avut ocazia să constatăm și noi treceri continue de la muscovit la caolinit, lamele acestor minerale alternând în diferite proporții, atât în bauxitele alohtone de la Cimpeni Sohodol⁷ cît și în cele de care ne ocupăm. Și în aceste cazuri muscovitul începe prin a se umfla mai ales la periferie și a se desface ca o armonie (Millot 1964) pentru ca apoi procesul să continue centripet. În unele cazuri, pătrunzind milul între lame, caolinizarea nu mai poate avea loc și muscovitul se menține ca atare (Papiu et al. 1971 b). Formarea numai „in situ” a caolinitului vermicular ne conduce la concluzia că, după acumularea milurilor argilo-bauxitice bazinile de sedimentare au avut un caracter lacustru sau palustru cu ape în care activitatea organică a asigurat pH-uri scăzute și continue.

De altfel caolinitul vermicular a fost citat deopotrivă din depozitele lateritice din Africa Occidentală (Lapparent, Hoerdt 1939) și, ceea ce este deosebit de semnificativ pentru studiul nostru, din Eocenul sideritic din bazinul Aquitaniei, unde se citează asociații de caolinit vermicular (cu originea menționată), dickit, gibbsit și haloisit (Millot 1964). Asociația caolinitului și dickitului în argilele asociate zăcămintelor noastre de bauxită am avut ocazia să o menționăm și la Cimpeni-Sohodol și am reîntlnit-o și în depozitele din bazinul Hătegului. Presupunem că dickitul este fie remaniat și apoi regenerat „in situ” într-o fază penecontemporană, fie format direct în sediment ca mineral de neoformăriune ca și caolinitul. Procesul de argilizare continuă apoi în masa sedimentului înainte și după consolidare (epigenetic). Caolinitul apare mai ales în masa dintre corpusculi, indicând că de acces mai propice soluțiilor diagenetice și evacuarea concomitentă a fierului.

În afară de caolinit, celelalte minerale ale triadei din masa rocii nu se individualizează prin recristalizări (afară de exceptionale cristale

⁷ V. Corvin Papiu, Silvia Minzatu, V. Iosof, R. Giușcă, Constanța Udrăescu, Al. Dimitriu. Studii mineralogice și geochemice asupra bauxitelor din Munții Apuseni. 1968 Arh. Inst. Geol.

de anataz). Este remarcabilă însă prezența turmalinei de neoformăriunc în cristale idiomorfe foarte mici. Krynn (1946), într-un studiu asupra turmalinei din sedimente, pune la îndoială posibilitatea neoformăriunii acestui mineral fără existența prealabilă a unui nucleu generator. În cazul nostru, apariția turmalinei detritice vine să confirme această ipoteză, minusculle cristale neoformate fiind legate probabil de foarte mici nucleu (pulberi rezultate în timpul alterării și din abraziune în timpul trans portului).

Între mineralele epigenetice trebuie situate desigur și mineralele cu fier feros: leptocloritele, prezente în cîteva cazuri preponderent în rocile argiloase, sideroza (într-o singură probă) și minusculle adaosuri de pirită (în două probe). Ele au luat naștere, ca și în alte bauxite, sub acțiunea soluțiilor reducătoare exogene infiltrate în masa rocii. În sectorul Poieni-Comarnic am întîlnit bauxito pe ale căror fisuri se găseau concentrații de leptoclorit care imprimau o infiltrare cu defezări pe traseul fisurilor de pătrundere mai mult sau mai puțin avansate (pl. fig. 3). Tot acțiunii apelor exogene se datoră spălarea fierului, localizată în zonă de fisurare și depunerea sa sub forma de goethit fibro-radiar. Aceleași cauze au generat și goethitul și oxiziile de fier hidratați nerecunoscute pe calc termodiferențială.

Defezărilile masive și fisurile colmatate cu argilă, caracteristice lăptilelor din munții Pădurea Craiului, nu au fost însă întîlnite. Explicația rezidă în caracterul sedimentar alohoton al acestor roci care alcătuiesc o placă continuă cu puține discontinuități impuse de paleorelieful clearos în comparație cu precedentele și, de aici mult mai puține zone de minimă rezistență la efortul tectonic și la infiltrarea apelor exogene.

În fine, procesele de defezare avansată, uneori locală alteori stratiformă, ce se întâlnesc în sedimentele detritice (gresii și microconglomerate) acoperitoare, se datoră circulației de soluții reducătoare, legate de vegetația și de mlaștinile ce se instalează la suprafața lor, documentate de altfel și de fragmentele de cărbune pe care le includ, precum și de infiltrările ulterioare de soluții reducătoare.

Transgresiunea cenomaniană surprinde o suprafață de eroziune continentală. În timpul ei, aceste sedimente au protejat de degradare sub acțiunea abraziunii marine, complexele bauxitifere.

BIBLIOGRAFIE

- Abdulaev A. I. (1969) Paleozoic Karst bauxites of soviet middle Asia. *Conf. sur la géol. de baux.* 4-8 septembrie, Budapest.
- Bardossy G. h. (1969) Comparaison des bauxites de Karst. *Conf. sur la géol. de baux.* Budapest.
- Bonte A. (1969) Mise en place et evolution des bauxites sur mur calcaire. *Conf. sur la géol. de baux.* Budapest.
- Burns J. J. (1961) Some chemical aspects of bauxite genesis in Jamaica. *Econ. Geol.* 56, New Haven.
- Bushinsky G. I. (1964) Types of karst bauxite deposits and their genesis. *Symp. baux. Ox. Hydroux. d'Alum.* I. Zagreb.
- Caillère Simonne, Thérèse Pobeguin (1964) Considération sur la genèse des bauxite de la France méridionale. *C.R. de l'Ac. des Sc.* 259, Paris.
- (1965) Considérations générales sur la composition minéralogique des bauxites du Midi de la France. *Mem. Museum Nat. Hist. Nat. Série C,* 12, Paris.
- Roch E. d. (1969) Caractères minéralogiques et genèse des argilites et bauxites de la région de Draguignan (Haut Var). *Bull. Mus. d'Hist. Nat.* 2-e 41, 3, Paris.
- Chubbs L. J. (1963) Bauxite genesis in Jamaica. *Econ. Geol.* 58, 2.
- Combès P. J. (1969) Observations et interprétations nouvelles sur les bauxites de l'Arriège (France). *Conf. int. géol. baux.* Budapest.
- Demangeon P. (1969) Sur le matériau initial de la bauxite des gisements occidentaux de l'Isthme durancien. *Conf. sur la géol. de baux.* Budapest.
- Erhard H. (1962) Témoins pédogénétiques de l'époque permocarbonifère. *C. R. Soc. Biogeogr.* 335-336-337. Paris.
- Fox C. S. (1927) Bauxite. London.
- Gedeon T. (1952) The possibility of bauxite formation. *Acta Geol. Ac. Sci. Hung.* 1, 1-4, Budapest.
- Kispáte M. (1912) Die Bauxite des Kroatischen Karstes und ihre Entstehung. *N. Jahrb. Min. Geol. u. Pal.* 34 Stuttgart.
- Krynnine P. D. (1946) The Tourmaline group in sediments. *Journ. of. Geol.* LIV, 2. Chicago.
- Kubicki G., Vettier P. (1956) Sur la présence d'argiles bauxitiques dans le Stéphanien de Decazeville. *C. R. Acad. Sci. Fr.* 240, Paris.
- L'Apparent J. de (1934) Constitution et origine de la leverrierite. *C.R. Acad. Sci. Fr.* 198 Paris.
- Hocart R. (1939) La leverrierite des formations latéritiques de l'Afrique Occidentale française. *C.R. Acad. Sci. Fr.* 208 Paris.
- Lisalek N. A., Rodin R. S. (1969) On genesis of Karst bauxites in central Siberia. *Conf. int. géol. baux.* Budapest.
- Millot G. (1961) Géologie des argiles. Ed. Masson et Cie. Paris.
- Nialahim (1968) Geologische, petrographische, geochemische Untersuchungen zum Problem der Boehmit-Diasporogenese in griechischen Oberkreide bauxiten der Parnasa-Kiona-Zone (Dissertation). Druck bei der Uni 2 Hamburg 13.
- Ruttmann A. W. (1969) Die Bauxitvorkommen der Oberkreide in den Ostalpen und deren paläogeographische Bedeutung. *Conf. sur la géol. de baux.* Budapest.
- Nicolás J. (1968) Nouvelles données sur la genèse des bauxites à mur karstique du sud-



- est de la France. Leur origine latéritique, leur transport et leur dépôt en milieu aqueux sous forme déjà constituée. *Mineral deposites*, 3, Paris.
- (1969) Problème de la genèse des bauxites à mur karstique de la France. Preuves pétrographiques, paleontologiques et géochimiques de la nature sédimentaire des formations bauxitiques de Provence. *Conf. Int. Baux.* Budapest.
- Papiu V., Corvin, Minzatu Silvia (1967) Geneza bauxitelor de pe teritoriul R.S.R. *Revista Minelor XVIII*, 5, Bucureşti.
- Iosof V., Udrescu Constanța (1967) Etude des éléments mineurs des bauxites du massif de Pădurea Craiului. *Assoc. géol. Carpato-Balcanique VIII Congr.* Belgrad.
 - Minzatu Silvia, Iosof V. (1968) Neue Angaben über Zusammensetzung und Entstehung der rumänischen Bauxite (rezumat) *Congr. Int. Geol. Sz. XXIII Sect. VIII Praga*.
 - Minzatu Silvia (1969) Ipoteză asupra genezei bauxitelor din Masivul Pădurea Craiului (Munții Apuseni). *An. Inst. Geol.* XXXVII. Bucureşti.
 - Minzatu Silvia, Iosof V. (1970 a) Genetische Typen der Karstbauxiten in den rumänischen Kreideformationen. *Conf. Int. Geol. Baux.* Budapest.
 - Minzatu Silvia, Iosof V. (1970 b) Asupra caracterelor petrologice ale bauxitelor din Munții Bihorului (reg. văl Galbina). *D.S. Inst. Geol.* LVI/1.
 - (1970 c) Litologia calacarelor mezozoice asociate bauxitelor din masivul Pădurea Craiului (Munții Apuseni). *D.S. Inst. Geol.* LVI/1 Bucureşti.
 - Minzatu Silvia, Iosof V., Udrescu Constanța, Giușcă R. (1971 a) Alăturarea chimico-mineralologică a bauxitelor din masivul Pădurea Craiului. *An. Inst. geol.* XXXVIII, Bucureşti.
- Papiu V., Corvin, Minzatu Silvia, Iosof V., Udrescu Constanța, Giușcă R. (1971 b) Alăturarea chimico-mineralologică a complexelor bauxitifere din bazinul Hațegului. *D.S. Inst. Geol.* LVII/2. Bucureşti.
- Papastamatiou J. (1965) Quelques observations sur la genèse, des bauxites en Grèce. *Trav. du Com. Int. pour l'ét. des bauxites*. 1, Zagreb.
- Pauls O. (1913) Die Aluminumerze des Bihargebirges und ihre Entstehung. *Zeitschr. f. prakt. Geol.* XXI Berlin.
- Pettijohn F. J. (1956) Sedimentary rocks. New York.
- Roch E. (1959) La genèse des bauxites de Provence et du Bas Languedoc. *An. Hébert et Haug. Trav. lab. de géol. de la Faculté de Sc. de l'Univ. de Paris*, IX, Paris.
- (1968) Les problèmes relatifs à la géologie et à la biogéographie des terrains renfermant les bauxites et les ocre. *C.R. du Coll. sur la biogeogr. de Crétacé Eocene. Tr. Lab. géoch. de la biosph.* Paris.
- Rousset Cl. (1967) Sur la nature et la genèse des minéraux de fer du Haut-Var; leurs relations avec la paléo-géographie locale. Rapports et différences avec les formations bauxitiques et les „terra rossa“. *Bull. Soc. Géol. de France* (7) IX. Paris.
- Rozlozník P. (1918) Vorläufiger Bericht über die Art des Auftretens der Bauxite im nördlichen Bihar (Kiralyerdő). *Jahrb. d. k. ung. geol. A.*, Budapest.
- Termier P. (1890) Note sur la leverrierite. *Bul. Soc. Fr. Min.* 13, Paris
- Tucan F. (1912) Terra rossa deren Natur und Entstehung. *N. Jahrb. Min., Geol. – und Pal.*

- Valeton Ida (1964) Facies problems of boemitic and diasporic bauxites Elsevier Publishing Company—Amsterdam.
- (1966) Sur la genèse des gisements de bauxite du sud-est de la France. Bull. Soc. Géol. Fr. 7, 8; 5, Paris.
- Vatan P. (1962) Les grès et leur milieu C.R. Acad. Sci. Fr. 254, Paris.
- Weisse G. de (1964) Bauxite latéritique et bauxite karstique. Symp. baux. Ox. Hydrot. d'alum. Zagreb, 1963. I. Zagreb.

GENÈSE DE LA FORMATION BAUXITIFÈRE DU BASSIN DE HATEG

(Résumé)

L'article contient quelques considérations génétiques sur la formation bauxitifère du bassin de Hateg (Carpates méridionales-Roumanie), formation dont la constitution chimique-minéralogique a été examinée dans un exposé antérieur. Les bauxites de ce secteur carpathique se situent parmi les bauxites karstiques str. s. des auteurs français; sin: bauxites aréales (Büssnaki 1967) et bauxites à constitution simple (Barodosy 1969). Dans quelques exposés antérieurs, dont le dernier a été présenté à la Conférence internationale sur la géologie des bauxites de Budapest (Papiu et al. 1969), on a démontré que ces roches sont des sédiments détrito-chimiques, se situant du point de vue génétique parmi les bauxites allochtones. De cette façon, elles ont été opposées aux bauxites autochtones qui, en Roumanie, sont représentées par les bauxites du massif Pădurea Craiului (Monts Apuseni), roches qui, à notre avis, résultent des processus de précipitation chimique, à la surface d'un paléokarst néocomien inférieur, des solutions acides dans lesquelles les ions de la triade Al-Fe-Ti étaient solubilisés, à la suite du mélange avec les eaux bicarbonatées karstiques. Les pyroclastites basiques auraient été la matière première, et la solubilisation se serait produite dans les eaux des marécages hétéromorphes avec une vaste activité bactérienne (Papiu et al. 1967, 1968, 1969). Les bauxites de Hateg, ainsi que celles de la région Cimpeni-Sohodol (Monts Apuseni-Roumanie), résulteraient du remaniement d'un matériel latéritique ou bauxitique préexistant à la surface d'un large paléokarst d'âge crétacé inférieur.

Dans le premier chapitre, on fait une comparaison systématique des deux catégories de bauxites roumaines, en soulignant les ressemblances et surtout les différences. Du point de vue stratigraphique les bauxites du massif Pădurea Craiului (P.C.) sont d'âge néocomien inférieur (faciès sidérolitique wealdien), ayant dans le mur des calcaires jurassiques supérieurs et dans le toit des calcaires néocomiens lacustres à charophyta, tandis que les bauxites de Hateg (B.H.) se sont accumulées dans une phase continentale sidérolitique gargasiennne ou albienne inférieure et ont dans le mur des calcaires jurassiques supérieurs ou récifaux urgoniens et dans le toit des dépôts gréso-conglomératiques, non stratifiés, continentaux, de couleur rouge ou grise, du même âge.

Mais pendant que les dimensions des premiers dépôts sont déterminées par les dimensions des anciennes dépressions karstiques, ayant un développement strictement local, les seconds constituent une couverture au-dessus des aires de 10 à 20 ha. Sous le rapport de la lithologie, les bauxites P.C. constituent des corps purs, sans aucune adjonction argilo-détriti-



lique ou organogène, et plus ou moins homogènes à partir de la base et jusqu'au toit. Les bauxites B.II. sont comprises dans des „complexes bauxilifères”, terme que nous utilisons pour désigner l'association de ses roches avec des dépôts argilo-détritiques. Ces derniers apparaissent dans une succession standard (secteur Poeni-Cormanic) à la base et à la partie supérieure des complexes, les bauxites constituant un horizon moyen. Il y a des exceptions pour ce modèle car l'un des horizons peut manquer (secteur Murgoi), ou des intercalations argileuses peuvent apparaître dans la masse bauxilique (secteur Murgoi), ou, enfin, il peut se réduire à un seul horizon bauxito-détritique (secteur Fizești). Entre bauxite et argiles il y a parfois un passage gradué; les roches argileuses contiennent du matériel détritique représenté exclusivement par des micas (muscovite — parfois kaolinisée et biotite — échotitisée ou kaolinisée). Il est à remarquer que les granules de quartz et de feldspath s'y absentent totalement. Du point de vue géochimique, on constate une grande ressemblance dans la constitution des deux types de bauxites (tableaux 1 et 2). Mais tandis que dans B.H. les bauxites sont exclusivement ferriques, la quantité de Fe_2 étant pratiquement négligeable, dans les bauxites autochtones (P.C.), bien que les formes ferrugines dominent nettement, apparaissent deux séries primaires ferroferriques et ferreuses caractérisées par des leptochlorites, pyrite et hydrotroilite, liées dans le processus de sédimentation. La silice à teneurs au-dessous de 7% en P.C. arrive à de hauts pourcentages surtout dans les argiles des complexes de B.H. D'autre part, les études géochimiques, confirmées par les calculs statistico-mathématiques, ont démontré que les bauxites de précipitation chimique (P.C.) présentent un rapport inverse entre les teneurs en Al et en Fe, dans les bauxites allochtones (B.II.). Il y a une corrélation directe entre l'alumine libre et le Fe total, due à l'accumulation gravitationnelle. A un autre point de vue, pendant que les premières (P.C.) se caractérisent par des structures ooidales, la structure des bauxites B.H. est géoloïde ou pélitomorphe, uniforme. Sous le rapport minéralogique, toutes les deux comprennent les oxydes libres de la triade Al-Fe-Ti & la différence que les bauxites de P.C. présentent du diaspor (subsidiairement de la boéhmite), et celles de B.H. seulement de la boéhmite (à côté de la hématite et de l'anathase). Les premières contiennent, dans les séries mentionnées, des leptochlorites, des sulfures et de la goethite primaires, et c'est la kaolinite seule qui représente le minéral argileux; les secondes ne contiennent, hormis les oxydes de la triade, que sporadiquement des minéraux nettement secondaires (la sidérose, la pyrite), et, parmi les minéraux argileux, la dickite apparaît à côté de la kaolinite. Les influences hydrothermales ont été ressenties seulement par les bauxites P.C. (des déferrisations, des kaolinisations, des recristallisations et des accumulations de nouveaux minéraux dans les fissures — le quartz, la pyrite). Les bauxites de Hațeg ne présentent pas de tels indices.

Les effets de l'altération supergène (déferrisations) sont beaucoup plus évidents aux premières, surtout dans les zones limites avec le calcaire, les roches beaucoup plus fissurées et colmatées avec du lehm karstique.

Vu les faits ci-dessus mentionnés et en tenant compte du chimisme et de la répartition des oligo-éléments, on peut considérer que les bauxites allochtones de Hațeg proviennent du remaniement de celles autochtones. Mais c'est la présence de la boéhmite qui sert à les différencier nettement vis-à-vis de celles diasporiques de Pădurea Craiului. Pour cette raison, si l'on admet que les bauxites de Hațeg résultent du remaniement de type Pădurea Craiului, il faut supposer que le processus n'a eu lieu que dans un stade initial antérieur à l'éventuelle transformation de la boéhmite en diaspor (si l'on admet cette dérivation). Mais si l'on considère — comme nous l'avons déjà prouvé dans un autre ouvrage — que le diaspor est primaire, alors le matériel origininaire ne peut provenir que des bauxites initialement boéhmiques, telles que celles des monts de Bihor (Papiu et al., 1970), ou des latérites à un chimisme analogue aux bauxites autochtones de Pădurea Craiului.

Le processus de sédimentogénèse — la partie principale de cet exposé — doit être envisagé, à notre avis, en tant que suite d'un transport aquatique plus long et d'une préalable frituration du matériel alluvial primaire à un très haut degré de dispersion, les éléments de la triade se trouvant également en état colloidal et éventuellement ionique dans les mêmes bassins. La succession stratigraphique qu'on constate dans les complexes bauxitifères pourrait être directement expliquée par la nature des apports dans le bassin de sédimentation. Mais cette interprétation est contredite par l'observation qu'on ne trouve, dans le matériel détritique, que de micas, ce qui indique une décantation préalable du matériel granulaire quartzofeldspathique. Pour cette raison on a fait la supposition de l'existence d'une étape de décantation avant la sédimentation définitive. Pendant cette étape, un avancé processus de triage aurait eu lieu, en créant trois phases conf. fig.: une phase macroclastique, dans laquelle une sédimentation au fond du bassin aurait eu lieu, une autre phase fluide pendant laquelle se sépare une zone inférieure caractérisée par des suspensions bauxito-hématisques, et une zone supérieure argileuse, à certains apports détritiques, représentés exclusivement par des paillettes de mica qui flottaient. Un rajeunissement tectonique du relief aurait provoqué le déplacement en ordre inverse des eaux du bassin de décantation et, donc, tout d'abord la sédimentation des dépôts argileux, et, après, des dépôts bauxitiques. Les dépôts argileux, se déposent au-dessus des sédiments préexistants au fond des dépressions karstiques, résultés des apports torrentiels ou des glissements de pente. C'est de cette manière qu'on explique la présence tout à fait locale de certains sédiments argilo-détritiques, dépourvus de stratification et à développements métriques où les fragments de schistes cristallins et même de bauxites préexistantes ne s'absentent pas (c'est le cas du secteur Murgoi où, sous l'horizon bauxitique, on trouve des dépôts de kaoline à galets de bauxite).

Pour expliquer la sédimentation de l'horizon supérieur il faut admettre de nouveaux apports argilo-micacés, dépourvus de détritus granulaire, et pour les horizons subordonnés argileux, intercalés dans celui bauxitique moyen, des apports alternatifs, de courte durée, argileux et bauxitiques. La lentille argilo-bauxitique de Fizești a résulté d'une sédimentation antérieure à la séparation des phases argileuse et bauxitique, ou bien les horizons supérieurs ont été ultérieurement érodés.

Il est évident que, rencontrant les eaux bicarbonatées, alcalines, du plateau kurstique, au-dessus duquel ces solutions acides ont déferlé, les phases colloïdale et ionique ont précipité en fixant aussi en même temps les suspensions dans une masse commune. C'est de cette façon qu'on explique l'absence de la stratification dans les complexes bauxitifères. La muscovite des roches argileuses présente des aspects de kaolinisation épitaxique dues à sa transformation continue dans la masse des limons sous l'action des eaux acides qu'ils contiennent. Lorsque des fragments de calcaires tombent dans ces eaux, ils sont dissous ou, au moins, corrodes.

Un dernier et vigoureux rajeunissement du relief est apporté par l'accumulation des dépôts macroclastiques (conglomérats et grès), transportés par les torrents, au-dessus de la plaque de bauxite antérieurement déposée. La matrice de ces roches présente une constitution identique à celle des argiles subjacentes. En commençant par le Cénomanien, c'est la transgression du Crétacé supérieur qui a lieu et qui recouvre la région entière; durant cette transgression le toit de grès et de conglomérats a protégé les complexes bauxitifères contre l'érosion marine.

On a formulé cette hypothèse de la „sédimentation inverse” pour expliquer une série d'observations et pour créer un point de départ pour les études futures.

Les processus diagénétiques qui ont lieu dans les gels des limons récemment accumulés ont provoqué l'individualisation de la boéhmite et des autres minéraux primaires. Les in-

fluences épigénétiques présentent deux aspects à savoir : des hydratations, conduisant à l'individualisation de la goéhtite et des autres formes d'oxydes de fer hydratés, et des réductions sous l'influence de certaines solutions descendantes (substance organique) avec la formation de minéraux de fer bivalent, comme il y a les leptochlorites, la sidérose et même les pyrites. Des processus de déferrisation (fig.) ont eu lieu, le long des fissures dans lesquelles ces eaux se sont insinuées. La réduction du fer et la déferrisation des grès de la couverture ont lieu de la même manière. Ces grès proviennent d'ailleurs des sédiments continentaux dans la masse desquels se développe une abondante végétation hydrofite, fait qui résulte aussi de la présence des charbons dans ces roches.

EXPLICATIA PLANSEI



Institutul Geologic al României

EXPLICATIA PLANSETI

Fig. 1. — Fragment de bauxită romaniat în caolinit. Orizontul bazal. Sect. Murgoi — Bazinul Hațegului.

Fragment de bauxite romanié à kaolinite. Horizon basal. Secteur Murgoi — Bassin de Hațeg.

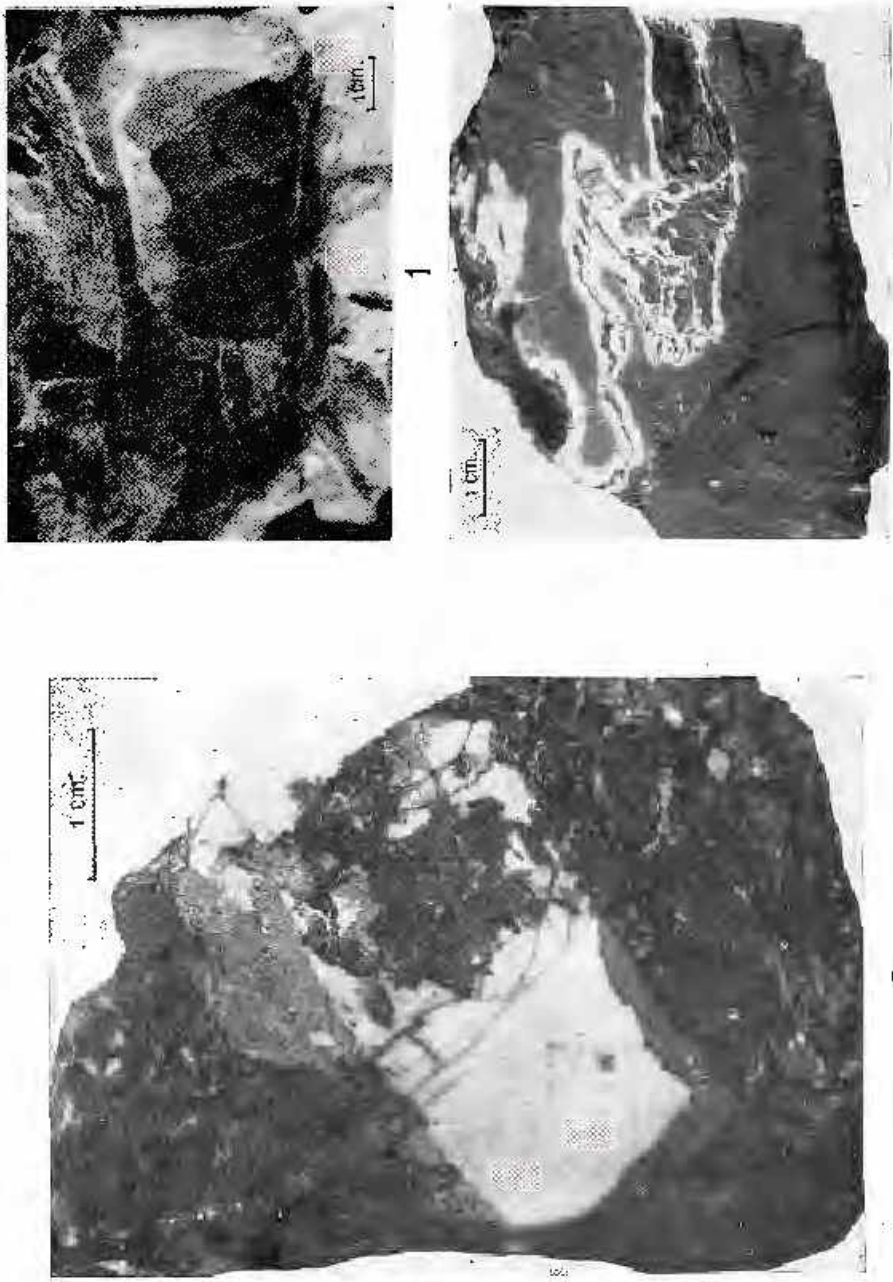
Fig. 2. — Fragment de calcar corodat la limita cu materialul argilo-bauxitic. Sect. Murgoi — Bazinul Hațegului.

Fragment de calcaire corrode à sa limite avec le matériel argilo-bauxitique. Secteur Murgoi bassin de Hațeg.

Fig. 3. — Diferizarea și cloritizare epigenetică de-a lungul unei fisuri în bauxită. Sect. Comarnic, Bazinul Hațegului.

Déferrisation et chloritisation épigénétique le long d'une fissure dans la bauxite. Secteur Comarnic, Bassin de Hațeg.

V. PAPIU ET AL. Geneza Bauxitelor din bazinul Hateg



Institutul Geologic. Dări de seamă ale sedințelor, vol. LVII/2

3

2

1



Institutul Geologic al României

ALCĂTUIREA CHIMICO MINERALOGICĂ A FORMAȚIUNII
BAUXITIFERE DIN BAZINUL HĂTEGULUI¹

DE

VICTOR CORVIN PAPIU, SILVIA MÎNZATU, VASILE IOSOF,
CONSTANȚA UDRESCU, RADU GIUȘCĂ²

Abstract

Chemical-Mineralogical Composition of the Bauxite-Bearing Formation of the Hațeg Basin. The karst bauxites from the Hațeg Basin (South Carpathians Romania) pertain to the allochthonous group, and are included in the „bauxite-bearing complexes” presenting, particularly in the basement and at the upper part, argillaceous horizons. These complexes are of the Upper Aptian age, and rest on Mesozoic limestones being overlain by sandstones and consanguine hematitic microconglomerates, which are in turn overlain by argillaceous detrital deposits of the Cenomanian Transgression. Being accumulated under oxidizing conditions, in their composition took part the oxides of the triad Al, Fe, Ti (boehmite-hematite-anatase) to which clay minerals (kaolinite and dickite in argillaceous rocks) are added. The subordinate additions of letochlorite, siderose, pyrite display a secondary character. Of the greatest importance is the direct ratio between the content in iron, aluminium and titan, and conversely that with respect to the clay minerals. Among the detrital minerals the clear-cut predominance of the muscovite, showing different degrees of kaolinization, is to be noticed. A characteristic feature is also constituted by the presence of the authigenic tourmaline and the detrital one. The minor elements show high contents of Ni, Co, V, Zn, Sr, Ga within bauxites, and exceeding of Ba in clays, thus permitting to characterize the various mining districts.

Studiul chimico-mineralologic al bauxitelor din bazinul Hațegului, se situează pe linia cercetării sistematice și complexe a alcătuirii bauxitelor indigene, inițiată în ultimii ani la Institutul Geologic în vederea valorificării căi mai complete a acestor importante minereuri de aluminiu,

¹ Comunicare fu ședinta din 6.II.1970.

² Institutul Geologic, șos. Kiseleff 55, București.

abordind în aceeași timp și latura științifică ce conduce la descifrarea genezei lor. Într-o serie de lucrări anterioare am prezentat succesiv caracterile și geneza bauxitelor din masivul Pădurea Craiului, Bihor (Valea Galbina) și Cimpeni-Sohodol³, toate din Munții Apuseni, elaborând

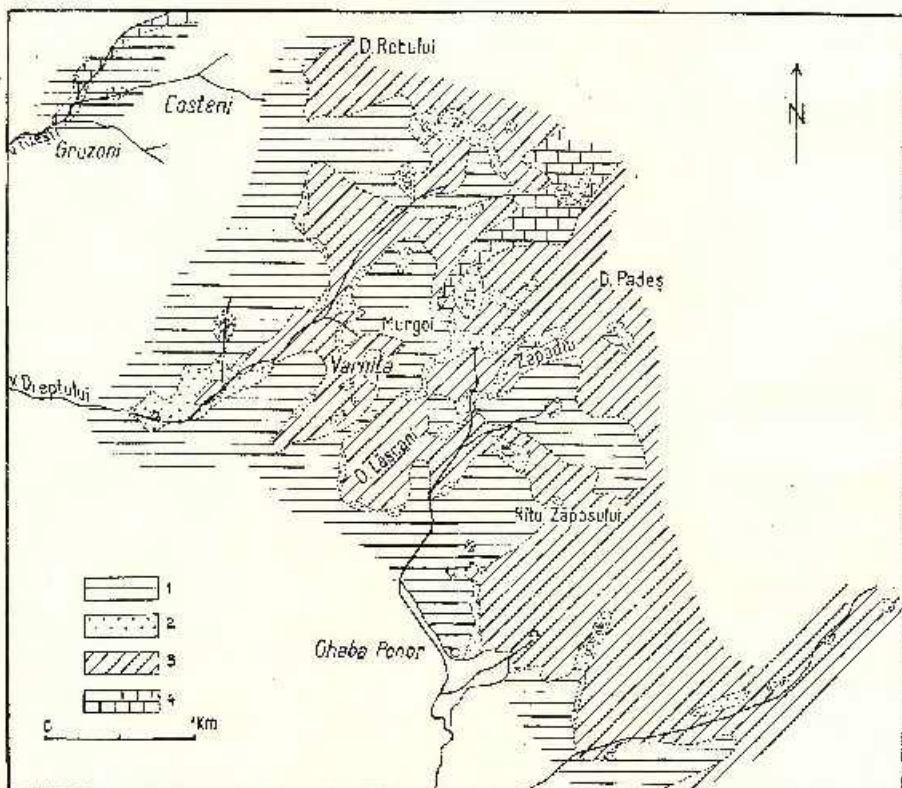


Fig. 1. — Schiță geologică a regiunii bauxitifere din bazinul de Hațeg

1. Cenomanian; 2. Albian; 3. Barrémien; 4. Jurasic superior.

Schéma géologique de la région bauxitifère du bassin de Hațeg.

1. Géocénomanien; 2. Albien; 3. Barrémien; 4. Jurassique supérieur.

o nouă interpretare genetică privind bauxitele carstice, a cărei valabilitate considerăm că depășește cadrul formațiunilor de pe teritoriul nostru.

Bauxitele din bazinul Hațegului se situează, în cadrul acestei scheme, în grupa bauxitelor detrito-chimice sau alohotone și se găsesc placate

³V. Corvin Papiu, Silvia Minzatu, V. Iosof, Constanța Udrăscu, A.I. Dimitriu. Studii mineralogice și geochimice asupra bauxitelor din Munții Apuseni. 1968. Arh. Inst. Geol.

peste calcarale mezozoice care alcătuiesc vasta regiune carstică de pe versantul de SW al munților Sebeșului și rama estică a bazinului Hațegului (fig. 1) fiind asociate cu sedimente argiloase și detritice.

Parte din materialul studiat, precum și datele de explorare, ne-au fost puse la dispoziție de geologii R a i r a T ī r n o v e a n u și G r. J a - c o t ă (I.F.L.G.S), iar o serie de secțiuni subțiri și indicații directe ne-au fost furnizate de A l. S t i l l ă (Intreprinderea Geologică de Prospecții).

I. DATE BIBLIOGRAFICE

Bauxitele carstice din bazinul Hațegului, deși recunoscute încă din 1897 de Halavats, care le consideră cruste feruginoase, nu au fost identificate că atare și cu atit mai puțin cercetate, decât în ultimele două decenii. L a u f e r (1924) amintește doar de mici concentrații reziduale de oxizi ferici acumulate la suprafața reliefului carstic al calcarelor jurasicice superioare, acoperite de sedimentele detritice ale Cretacicului superior.

M a m u l e a (1958) citează prezența unor corpuri lenticulare de bauxite la suprafața calcarelor jurasicice superioare, ocupând mai ales excavațiile unui vechi relief, dateate stratigrafic la baza formațiunii valangian-hauteriviene. Depozitele acoperitoare sunt înglobate sub termenul de „gresii infrabarremiene” și debutează prin conglomerate mărunte și gresii de culoare roșu-vișinie. Se subliniază caracterul transgresiv al acestor roci, „față de calcarile tithonice” precum și faptul că sunt acoperite, tot transgresiv, de gresile albe infracenomaniene.

M u r g e a n u și P a t r u l i u s (1960) consideră că bauxitele din acest sector se găsesc în baza formațiunii albiene.

Ilieșcu et al. (1960)⁴ situează calcarale din baza bauxitelor în Barremian-Aptian, subliniind prezența intercalărilor de gresii în jumătatea superioară a formațiunii peste care vin apoi calcare recifale cu orbitorine în facies urgonian.

D r ă g h i n d ă (1963)⁵ figurează bauxitele din bazinul Hațegului peste calcarale neocomiene, considerindu-le „produse de alterare lateritică”, în baza depozitelor albiene.

⁴ Gh. Iliescu, Maria Iliescu, Gh. Mărgărit, Mariia Mărgărit, V. Niculescu Raport asupra proiecțiunilor geologice pentru cărbuni în bazinul Hațegului. 1960. Arh. Inst. Geol.

⁵ I. Drăghindă, Paula Mihalache. Asupra proiecțiunilor pentru cărbuni în bazinul Hațeg și Petroșani. 1963. Arh. Inst. Geol.

Lucărările ulterioare efectuate de Brînzău (1955)⁶ precum și cele de explorare întreprinse de I.G.E.X. (1958)⁷ situează bauxitele din această regiune peste calcarale jurasicice superioare.

Lucacea (1966), într-un studiu al căruia principal obiectiv sunt bauxitele de la Cîmpeni Sohodol, se referă și la bauxitele din Bazinul Hațegului (Murgoi și Fizești) scoțind în evidență caracterul alohoton al acestor depozite.

Datele cele mai recente asupra geologicii bazinului Hațegului, cu privire specială la bauxite, se datorează însă lui Stîlă (1965, 1966)⁸. Calcarale din patul bauxitelor aparțin după acest autor, atât Jurasicului superior (sect. Fizești) cât și Barremian-Aptianului (sect. Poeni-Comarnic), în sectorul Murgoi, bauxitele situindu-se deopotrivă atât pe cele jurasicice cât și pe calcarale cretacice urgoniene. Depozitele jurasicice superioare ar fi reprezentate printr-o succesiune de „calcare cu benzi de silice” (Oxfordian superior-Kimmerdian-Titonic). Calcarale masive din baza bauxitelor sunt atribuite Cretacicului inferior (facies urgonian). Depozitele, caracterizate prin „gresii roșii” și „rocibauxitice”, care apar placate peste calcare ar constitui în ansamblu un ciclu atribuit Albianului (?). Litologia formațiunii albiene ar fi fost determinată de dezvoltarea rețelei hidrografice, autorul admînind caracterul secundar (de remaniere) al rocilor bauxitice din bazinul Hațegului, formulat de altfel în trecut și de noi (Papiu, Minzatu 1967, 1969). Depozitele acoperitoare sunt prezente prin sedimentele grezo-conglomeratice cenomaniene cu care debutează ciclul de sedimentare a Cretacicului superior.

Chiriac⁹ ținând seama de faptul că vîrstă calcarelor recifale urgoniene din baza bauxitelor este beduliană, atribuie acestei roci Aptianului superior (Gargasianului), vîrstă pentru care opinăm și noi.

Din datele de explorare de la I.G.E.X. (1968) reiese că în genere depozitele bauxitice cu extensiuni pe sute de hectare conțin cantități ridicate de material argilo-detritic în bază și la partea superioară (exemplu: sectorul Comarnic-Poeni), uneori acest material apărind însă și la

⁶ A. Brînzău. Raport geologic asupra lucrărilor de prospecții geologice executate în 1953 pe zăcămîntul de bauxită Ohaba-Ponor. 1953 M.I.M.G.M.

⁷ ISEM Zăcămîntele de bauxită — Grupul Ohaba-Ponor Reg. Hunedoara. 1958. Arh. M.I.M.G.

⁸ A.I. Stîlă. Raport geologic asupra prospecțiunilor pentru bauxite de la Ohaba-Ponor-Pui (Mării Sebeșului). 1965. Arh. Inst. Geol.

⁹ A.I. Stîlă. Raport asupra prospecțiunilor geologice pentru bauxită din partea de SW a munjilor Sebeș (zona Pui — sectoarele Fizești-Cioclovina-Merisor). 1966 Arh. Inst. Geol.

⁸ Comunicare verbală.

orizonturi intermediare (exemplu : sectorul Murgoi). Aceste date au fost verificate și completate apoi atât prin observațiile noastre de teren cît și prin studiile de laborator.

II. OCURENTĂ ȘI ALCĂTUIREA COMPLEXELOR BAUXITICE

Bauxitele din bazinul Hațegului se încadrează, sub toate aspectele, în tipul de bauxite carstice (de Weiss 1964), denumite și „bauxite de geosinclinal”, și anume în tipul de „bauxite areale” (B u s h i n s k y 1964), caracterizate prin largă dezvoltare peste întinsurile platourilor carstice. Într-adevăr, potrivit datelor de foraj și după aprecierile lui J a c o t ă¹⁰ în sectorul Poeni-Comarnic formațiunca bauxitiferă se întinde pe o suprafață de 800 m/150 -200 m, iar în sectorul Murgoi pe 500 m—200 m. Această observație conduce la concluzia existenței unor bazine de sedimentare depresionare, cu supafețe întinse asemenea unor vaste poljii în paleocarstul pe suprafață căruia a avut loc acumularea. În apropiere de Murgoi, vechiul relief determină un sistem de bazine de dimensiuni mai mici, care este vizibil de altfel și în restul regiunii, la diferite scări, începînd cu vechile poljii și avene cu pereți uneori verticali. Sub efectul eroziunii, aceste vechi forme carstice apar la zi îngăduind urmărirea limitei cu rocile bauxitice pe distanțe convenabile pentru reconstituirea paleoreliefului, principalul factor ce a impus grosimea formațiunii cu bauxită¹¹, care variază între 5 și 20 m în sectorul Comarnic și între 1 și 12 m în sectorul Murgoi (J a c o t ă)¹². Din aceste motive, prospecțiunca geofizică și forajele sunt singurele mijloace pentru determinarea grosimii și extensiei acestei formațiuni. Datorită aceleiași cauze, peste calcarul fundamentalului, se pot dispune uneori, în imediata vecinătate unul față de altul, nivale diferențiate ale complexului bauxitifer.

Am utilizat termenul de „complex bauxitifer” pentru desemnarea asociațiilor strînsă de sedimente bauxitice și argile, ce se dezvoltă între fundamentul calcaros și depozitele grezo-microconglomeratice de culoare roșie cu treceri spre conușiu și verzui din acoperiș, roci foarte specifice peisajului carstic din estul bazinului Hațegului. Grosimea acestor depozite acoperitoare, a căror prezență a avut o deosebită importanță pentru conservarea (ferirea de eroziune) a bauxitelor subjacente, variază între

¹⁰ Comunicare verbală.

¹¹ A. I. Dimitriu, V. Corvin Papu și Anca Andăr. Stabilirea parametrilor geochemici ai bauxitelor din masivul Pădurea Craiului (perimetru Zecă Hotare) și stabilirea modulului caracteristic pentru bauxitele din zona Ohaba Ponor 1969. Arb. Inst. Geol. București.

¹² Comunicare verbală.

0 și 15 m după nivelul de eroziune atins. Potrivit interpretărilor noastre ele sunt consanguine cu bauxitele, deosebirea granulometrică fiind datorită unor procese speciale de sortare, după cum vom avea ocazia să arătăm într-o lucrare viitoare. Doar depozitele detritice bazale, a căror apariție este cu totul sporadică, pot avea o origine deosebită, legată probabil de acumulări de piemont sau de depuneri pe fundul crevaselor și avenelor paleocarstice, anterioare procesului de sedimentogeneză ce a generat complexul bauxitic. Și sub acest aspect, deosebirea dintre bauxitele din Hațeg și bauxitele autohtone, lipsite de adaosuri sau de orice fel de corelații cu depozite argilo-detritice din Pădurea Craiului, este evidentă.

Ca și în alte regiuni (Pădurea Craiului), pe limita dintre bauxite și calcare sau dintre bauxite și sedimentele acoperișului se insinuează lehmul bauxitifer (argilo-detritic de la suprafață).

Atât prospecțiunea de suprafață, cât și mai ales profilele forajelor au indicat, pentru zăcăminte de bauxită din Hațeg, o alcătuire litologică specifică datorită acumulării de tip alohton. Caracteristica acestei acumulării o constituie dispoziția periferică a materialului argilos la partea inferioară și superioară a complexelor precum și dezvoltarea bauxitei de preferință în zona intermediară sau mediană. Această dispoziție este caracteristică „plăcii” bauxitice din sectorul Comarnic-Poeni (fig. 2) și într-o largă măsură depozitelor din sectorul Murgoi. O structură analogă se întâlnește și la unele zăcăminte de bauxită din Ungaria, cum este marele zăcămînt de la Gant (Ghid 1969) și la bauxitele aptiene din sudul Franței (Provence), Ariège (Combe 1969), a căror vîrstă și alcătuire sunt asemănătoare celor din bazinul Hațegului, pentru a da numai două exemple.

În cadrul acestei structuri de bază apar uneori variații de însemnatate minoră. Dintre acestea, unele privesc orizontul inferior în baza căruia se pot găsi depozite argilo-detritice.

În sectorul Murgoi, orizontul inferior este reprezentat uneori prin caolinit curat de culoare albă, în masa căruia apar incluse fragmente colțuroase de bauxite dure, hematitice, cu o alcătuire mineralologică asemănătoare cu cea a bauxitelor curate. Alteori, ca în cazul orizontului bazal ce aflorează în pîrful de la Ohaba Peștera, sub argilele bauxito-hematitice ale orizontului inferior se găsește un orizont de cca 2 m grosime, alcătuit din roci foarte variate: argile hematitice care trec la gresii argilo-hematitice cu muscovit, euarț, feldspati și granule de sisturi cristaline, fragmente subcentimetricce de bauxit și de sisturi cristaline, într-o asociere haotică ce amintește de sedimentele rezultate în urma alunecării și prăvălirii pe versanți.

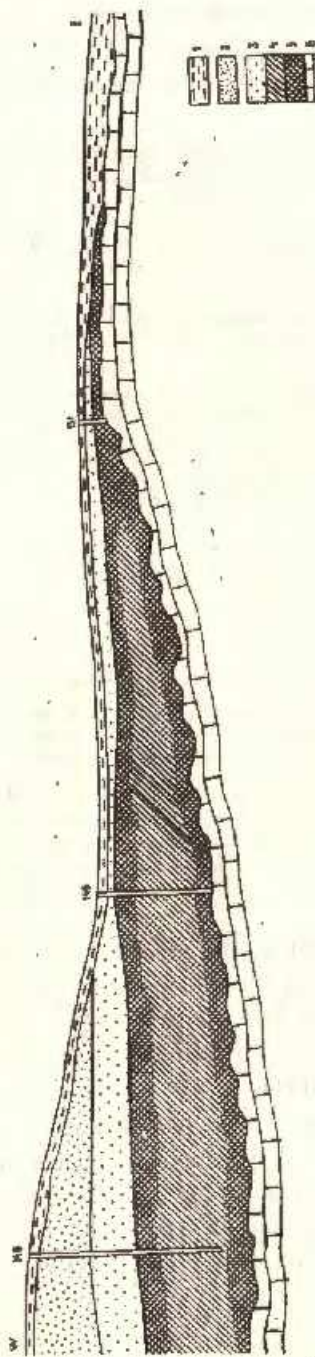


Fig. 2. — Profil schematic în formă de bâră din regiunea Poeni-Comarnic bazinul Hațegului (după Gr. J. cotă, IFI.G.S.).
Scara 1:1.000. 1. depozite argilo-silicicole deluviale; 2. crevii; 3. stenile roșii; 4. bauxită esolanaică (cu peste 30% SiO_2 și astfel: 5. bauxită (cu 10% SiO_2) și calcare cratice latice.

Coupe schématique de la formation bauxitifère de la région Poeni-Comarnic, bassin de Hațeg (d'après Gr. J. cotă, IFI.G.S.).
Echelle de 1:1.000. 1. dépôts argilo-silicicoles déluviaires; 2. grottes; 3. grès rouges; 4. bauxite esolanaïque riche plus de 10% SiO_2 et sable; 5. bauxite (avec 10% SiO_2).
6. calcaire cratique inférieur.

O altă variație privește alcătuirea orizontului bauxitic median și a fost remarcată în sectorul Murgoi (J a c o t ă)¹³ unde au fost întlnite situații deosebite constând atât în apariția de intercalări argiloase în

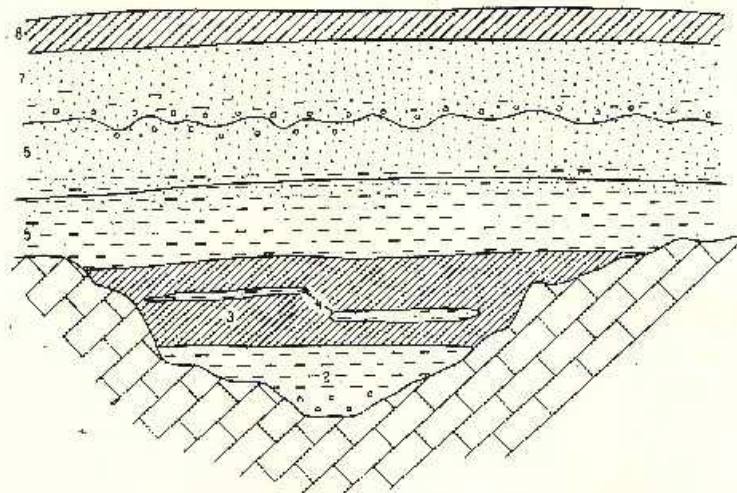


Fig. 3. Depresiunea paleocaristică bauxitifără (bassinul Hațegului).

1, calcar mesozoic. Complex bauxitifără: 2, orizontul argilo-detrític basal; 3, bauxit; 4, intercalări argilo-detrítice; 5, orizontul argilo-detrític superior; 6, gresii și microconglomérati din acoperiș; 7, depozite transgresive cénomanieni; 8, depozite fluviale recente;

Dépression paléokarstique bauxitifère (bassin de Hațeg).

1, calcaire mésozoïque. Complex bauxitifère: 2, horizon argilo-détritique basal; 3, bauxite; 4, intercalations argilo-détrítiques; 5, horizon argilo-détritique supérieur; 6, grès et microconglomérats du toit; 7, dépôts transgressifs cénomaniens; 8, dépôts éluviaux récents.

cadrul orizontului bauxitic median (fig. 3) cât și în absența orizontului argilos superior sau basal și începutul ciclului direct prin orizontul bauxitic. În sectorul Comarnic s-a recunoscut un orizont de bauxită direct peste calcare și acoperit de gresii (fig. 4) și desigur că un studiu amănunțit ar conduce la descoperirea a numeroase alte situații.

Un caz special îl reprezintă lentila de la Fizești (fig. 5 a și b) situată în malul stîng al pîrîului Văratecului la confluența cu pîrîul Gruzeni, care se întinde pe cca 40 m în malul drept al văii, avind o grosime de cca 1 1/2 m. Ea este alcătuitoră din argile bauxitice cu muscovit și prezintă textura sis-toasă în amonte (sistozitate probabil de stratificare) și masivă în aval.

¹³ Communicare verbală.

Puitul 148 Comarnic

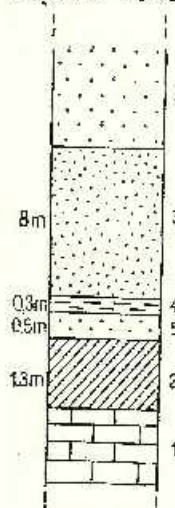


Fig. 4. — Strat de bauxită intercalat între calcarile fundamentei și gresiile acoperitive (puțul 148 Comarnic).

1, calcar urgenian; 2, bauxită compactă; 3, gresie; 4, argilo-silit; 5, gresie roșie.

Couche de bauxite intercalée entre les calcaires du soubassement et les grès qui la recouvrent (puits 148 Comarnic).

1. calcaire urgenien; 2. bauxite compacte; 3. grès; 4. argilo-silite; 5. grès rouge.

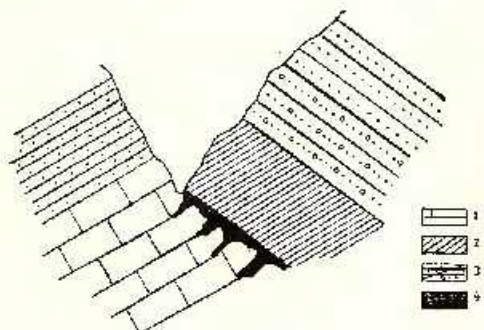


Fig. 5a. — Secțiune transversală prin lenticula de la Fizești.

1, calcar jurasic; 2, argilă bauxitică; 3, gresie și microbrecie; 4, grăde roșie pe fissuri.

Section transversale de la lentille de Fizești.

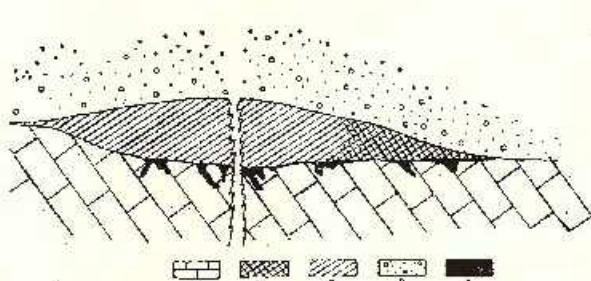
1, calcaire jurassique; 2, argile bauxitiques; 3, grès et microbrecies; 4, grès rouge dans des fissures.

Fig. 5b. — Secțiune longitudinală prin lenticula de la Fizești.

1, calcar jurasic; 2, argilă bauxitică silicase; 3, argile bauxitice massive; 4, grès și microbrecie silicase; 5, grès roșu dinsă făcătoare.

Section longitudinale de la lentille de Fizești.

1, calcaire jurassique; 2, argile bauxitiques silicase; 3, argiles bauxitiques massives; 4, grès et microbrecies silicase; 5, grès rouge dans des fissures.



Acoperișul îl constituie microconglomeratele și gresiile cuarțitice cenușii, nestratificate, cu un grad slab de agregare. La limita cu lentila subțință se găsește un strat de cca 10 cm grosime, de argilă plastică insinuată de la suprafață. Explicația acestei situații poate fi făcută fie admîind că orizonturile superioare au fost erodate într-o perioadă imediat următoare sedimentării lor, astfel că ne găsim doar în prezența orizontului bazal, fie că rocile orizonturilor superioare nu s-au acumulat, problemă asupra căreia vom reveni la geneză.

În fine, depozitele consanguine din acoperiș sunt reprezentate prin gresii groși lipsite de sortare, cu unele intercalării microconglomeratice și marno- sau argilo-siltitice, mai mult sau mai puțin lenticulare, a căror culoare este preponderent roșie, impusă de cimentul argilo-hematitic. Local, ele trec la zone pătate sau chiar la strate întregi de culoare cenușie sau verzuie, rezultată prin procese locale de defezizare.

Întreaga formațiune este acoperită de sedimentele argilo-detritice fosiliere ale transgresiunii cenomaniene, de eroziunea căreia au protejat-o depozitele detritice menționate.

A) Calcarele jurasice și rocile asociate

1. Calcarele jurasice. Studiul s-a efectuat asupra probelor de pe valea Vărătecului (Fizești) unde bancurile calcaroase de grosimi decimetrice sunt străbătute de fisuri (pseudofiloane) cu material grezos-feruginos. Rocile sunt compacte și uneori prezintă faciesuri brecioase, bogate în oxid feric. Sub raport litologic, avem de afacere cu un biocalcarenit în care resturile organice sunt rotunjite, ca urmare a unui avansat proces de abraziune și dizolvare, și reduse la un material destul de echigranular (0,15–0,30 mm) crustificat cu calcit. Conținutul de 85–90% detritus organic a proprie roca de tipul „microcoquina”. Doar cca 30% (mai ales foraminifere) din acest material prezintă un grad convenabil de conservare, mareala majoritate a acestor granule având structura și conturele sterse prin diageneză, lăsând aspecte ce conduc spre formele pseudoolitice. Nu se recunoaște nici un indiciu de orientare.

În cazul unui bloc provenit din fragmentare tectonică și apoi inglobat în gresie carstică, gradul de diageneză este mai puțin avansat, recunoscindu-se bine caracterul detritusului organic (bivalve, plăci de echino-derme, brahiopode). Local se constată o mare heterogenitate dimensională, formele cele mai mari aparținând fragmentelor spatice de echinoide, care pot atinge 0,75 mm. Uneori se conturează o ușoară granoelasare cu unitățile de stratificație de grosimi milimetrice.



2. Aceidente silicioase¹⁴. Făcând corp comun cu calcarele, accidentele silicioase sunt rezultatul unui amestec intim de silice de origine organică și de calcit fin granular, amestec ce poate avea loc în cele mai variate proporții conducind, de la calcarele propriu-zise, la calcare silicioase și apoi de la acestea, prin intermediul stadiului de silicolite calcaroase, la silicolite str.s. Acestea din urmă corespund termenului de „chaille” (Cayeux). Silicea este reprezentată printr-o masă foarte fină de calcedonie și microcuarț care se amestecă intim cu calcitul, sau tinde să rămână în exclusivitate și care diagenetic a substituit calcarul. În masa aceasta se găsesc incluse testuri de radiolari (cca 20–30%) de tip *Spummellaria*, foarte rar *Nasselaria*, cu structura testului evidentă, umplute cu un amestec de calcit și substanță organică și cu mici adâncuri de oxizi. Cu totul excepțional, apar radiolari umpluți cu silice de tipul prezent în masa fundamentală sau chiar cu calcedonită fibro-radiară. Alteori testul este opac, iar umplutura cavității, ușor transparentă, de culoare brun închisă. Dezvoltarea acestor accidente silicioase este legată de concentrarea locală de organisme silicioase, urmată apoi de solubilizarea silicei și de substituția calcitului. Într-un depozit grezo-microconglomeratic superior, au fost recunoscute fragmente de silicolite bogate în radiolari și mai ales în spicule de spongieri, conservați în calcedonită (spongolite cu radiolari, recristalizate), și căror proveniență presupune că trebuie legată tot de accidente silicioase din seria calcarelor jurasice superioare.

3. Gresile din umplutura fisurilor. Materialul detritic care a umplut fisurile calcarelor jurasice într-o fază siderolitică premergătoare acumulării bauxitelor a fost cimentat cu oxid feric, apărind astăzi sub forma unor gresii imature și heterogranulare, cu ciment hematitic pelicular. Sub raport mai ales structural, au fost recunoscute două tipuri petrografice.

Primul tip este reprezentat prin gresii heterogranulare, grosiere, fără sortare, detritusul mineral colțuros având dimensiuni de 0,25–1,25 mm și fiind alcătuit preponderent din cuarț și din mici fragmente de quarțite (mai ales în clasa cea mai grosieră), urmărate de microclin proaspăt și de lame de mice care pot depăși 2,5 mm diametru. Pachetele de muscovit includ uneori cristale idiomorfice de rutil și de zircon. Local, apar mici concentrări de calcit recristalizat corespunzând poastei unor fragmente inițiale de calcar sparitic.

¹⁴ Aceste roci au fost studiate pe materialul furnizat de geologul A.I. Stilla.

Alcătuirea procentuală a acestor roci este următoarea :

cuarț + cuarțite	30—50%
microclin	20—30%
muscovit	10—20%
ciment	2—10%

Limita cu peretele calcaros al fisurii este marcată printr-o zonă de 1 mm grosime de caleit recristalizat.

Al doilea tip litologic se caracterizează prin prezența a două fracții granulometrice și anume : o fracție grosieră compusă din mici fragmente colțuroase pînă la rotunjite de cuarțit, biotit eloritizat și parțial opacitizat și, cu totul subordonat, granule colțuroase de microclin (de 1—2 mm), de calcare fin granulară și de roci feldspatic calcitizate. În general granulația acestei fracții variază între 0,50 și 0,75 mm, iar participarea sa la alcătuirea rocii este de cca 60% ; o fracție fină, cu dimensiuni sub 0,30 mm, în majoritate sub 0,05 mm, alcătuită preponderent din granule de cuarț metamorfic cărora li se adaugă subordonat : muscovit, minerale opace (hematitizate sau limonitizate) și sporadic, granule colțuroase de granați și zircon. Această fracțiune constituie cca 20% din masa rocii.

Cimentul calcito-hematitic ($\pm 20\%$ din masa rocii) umple porii dintre granulele detritice sau le înfășoară pelicular, adescori corodindu-le.

Sub raport genetic, admitem că aceste roci grezoase cu caracter pseudofilonian rezultă din cimentarea unui material detritic granular rezultat din alterarea formațiunilor mezometamorfice din munții Sebeșului, introduse de apele de infiltratie pe fisurile și pe suprafecțele de separare dintre strate. El corespunde unui „paleo terra rossa” de vîrstă pregar-gasiană, acumulat peste paleocarst într-o perioadă puțin premergătoare formării bauxitelor. Astfel definit, considerăm că materialul primar este în total comparabil cu lehmul bauxitifer cuaternar actual, ce se găsește pe fisurile calcarelor și la limita dintre bauxite și calcare în masivul Pădurea Craiului (Papiu et al. 1968).

B) Calcarele urgoniene

Calcarele urgoniene alcătuiesc principalele roci pesle care se situează bauxitele din bazinul Hațegului. Materialul examinat provine din sectorul Comarnic (de pe dreapta văii Peștera), din regiunea satului Ohaba și din sectorul Murgoi, din calcare masive sau ușor orientate. Caracterele microscopic arată că avem de a face în general cu depozite recifogene sau organogene subrecifale, în care detritusul organic se amestecă cu mate-



rialul caracteristic pseudoolitie și în care activitatea diagenetică a șters, în diferite grade, structura primară, astfel că stabilirea participării procentuale a diferenților compoziției este uneori imposibilă. Ca urmare a acestor procese, structurile sunt fin granulare pînă la criptogranulare. Raporturile dintre compoziții conduce spre tipuri spogenetice, cu observația că materialul detritic, ca și cel argilos, sunt practic absente. Calcarele organogene, subordonat pseudoolitice, întlnite în baza depozitelor bauxitice din regiunea satului Ohaba Peștera sunt recristalizate în proporție de cca 50%, iar compozițele bioclastice, reprezentate prin fragmente de organisme recifale (dominante), foraminifere, fragmente de alge calcaroase, de bivalve și de brahiopode. Aceste fragmente prezintă uneori cruste algale.

Alteori roca este alcătuită din resturi organice (45%) înglobate într-o masă granulo-cristalină ce pare a fi provenit în urma precipitării din soluții carbonatate rezultate pe seama detritusului fin triturat. Local, prin precipitare, au luat naștere corpusculi pseudoolitici (component chemogen) cu \varnothing 0,08–0,20 mm. În porțiunile în care diageneza a influențat mai puțin, se recunoște foraminifere (cu predominarea textulariilor, uneori foarte bine conservate și subordonat a miliolidelor), urmate ca frecvență de bivalve de alge calcaroase (?) și de alte resturi nedeterminate, care pot fi confundate uneori cu pseudoolitile.

Repartiția procentuală a acestor componente variază în următoarele limite :

Resturi organice	25–40%
Corpusculi organogeni parțial diagenizați	25–30%
Masă fin granulară	30–50%

Un al treilea tip de calcar urgonian (dreapta Văii Peșterea) se caracterizează prin structura fin granulară pînă la cripto-granulară în care se conturează vag corpusculi circulari, mai rar elipsoidali ($\varnothing = 0,30 – 0,75$ mm), care uneori se individualizează prin cruste fine de calcit cristalizat la periferie, alături de rare fragmente de schelete organice milimetrice sau submilimetrice (organisme coloniale sau alge calcaroase). În masa rocii se recunoște două generații de fisuri de contracție. Roca a rezultat probabil dintr-un msl fin calcaros, organogen, în care a avut loc precipitarea corpusculilor menționați, a căror fuzionare a dat naștere structurii actuale (pseudoolite chemogene), (P a p i n 1970 a). Eforturile teconice au condus uneori (Murgoi) la aspecte aproape breicioase, cu fisuri umplute cu calcit. În acest caz roca reprezintă un autentic calcar orga-

nogen (cofnina sau humășel alcătuit din resturi milimetrice pînă la centimetrice de crinoide, briozoare (?), polypieri, pachyodontite (?), foraminifere și pseudoolite organogene (\varnothing sub 0,5 mm) acoperite uneori cu cruste algale.

Apariția în cadrul materialului detritic a fragmentelor de calcar, alături de resturile organice grosiere, conduce pînă la microcalcicrudite (Murgoi). La alcătuirea unor atare roci participă, în procente variate, fragmente milimetrice de calcar microgranular, pseudoolitice sau organogene (cu briozoare), intens corodate, alături de fragmente de schelete organice (entoce, bivalve cu costulație vizibilă), din a căror dezagregare, urmată de disoluție și reprecipitare, a luat naștere cimentul calcitic al rocii.

O) Chimismul calcarelor mezozoice

Din analizele chimice (tab. 1) reiese remarcabila puritate a calcarelor cercetate, mai ales a celor urgoniene. În cazul calcarelor jurasice

TABELUL 1

Analize chimice asupra calcarilor asociate bauxitelor (Hațeg)

	Jurasic superior		Cretacic inferior		
	H ₁	A ₁₆	H ₂₂	H ₂₉	A ₁₁
SiO ₂	1,35	0,60	0,80	0,11	0,20
Al ₂ O ₃	0,14	0,14	urme	urme	urme
Fe ₂ O ₃	0,25	0,30	urme	urme	urme
FeO	lipsă	—	lipsă	lipsă	—
MgO	urme	—	urme	lipsă	—
CaO	53,80	54,42	54,90	55,30	54,44
Na ₂ O	0,03	—	urme	urme	—
Ka ₂ O	lipsă	—	lipsă	lipsă	—
TiO ₂	lipsă	—	lipsă	lipsă	—
P ₂ O ₅	0,05	—	urme	urme	—
MnO	urme	—	lipsă	lipsă	—
S	0,12	—	lipsă	lipsă	—
CO ₂	43,29	—	43,25	43,50	—
H ₂ O ⁺	0,20	—	0,15	0,15	—
H ₂ O ⁻	0,15	—	0,12	0,20	—
	Pc=	43,10			Pc=
					42,80

A₁₆ și A₁₁ — după Al. Stiliă (1965)

H₁ — calcar stratificat din baza lentelei Fizești — valea Văratecului (analist Alexandra Dănciulescu)

H₂₂ — calcar masiv Comarnic-Poeni (analist Alexandra Dănciulescu)

H₂₉ — idem Ohaba — Peștera (analist Alexandra Dănciulescu)



inferioare (care dețin silicifieri) se constată prezența unei cantități subunitare de silice (supraunitare într-un singur caz), mici adasuri de fier, aluminiu, din argilă, precum și alte cîteva elemente (surprinzător oarecum : 0,12% S), în timp ce calcarele recifale urgoniene sunt lipsite de alte elemente (fierul și alumina apar sub forma de urme). Această diferență este perfect explicabilă dacă ținem seama că, în timp ce calcarele jurasicice au caracterul unor calcarenite detritogene cu accidente silicioase, calcarele urgoniene au caracterul recifal sau recifogen, indicind acumulare într-un domeniu prin excelență lipsit de contaminări exterioare. Silicea din calcarele jurasicice se coreleză cu prezența accidentelor silicioase de natură organogenă, mai mult sau mai puțin singenetice, iar alumina și fierul fie cu aporturi mici, argiloase și de oxizi sincrone procesului de sedimentare, fie cu infiltrări ulterioare de soluții descendente, cu originea în masa bauxitelor și rocelor conexe din acoperiș. Aceste date constituie un argument în plus pentru originea cu totul independentă de masa calcarelor subjacente a materialului primar, din care, au luat naștere bauxitele, chestiune care de altfel, în cazul din Hațeg, nu poate fi luată în discuție, dată fiind originea lor alohtonă.

III. STUDIUL PETROLOGIC AL COMPLEXELOR BAUXITIFERE

Din datele sumare prezentate în capitolul referitor la ocurența formăjuniilor bauxitifere din bazinul Hațegului s-a putut desprinde desigur faptul că, la alcătuirea sa, iau parte în primul rînd mineralele oxidate ale triadei Al-Fe-Ti (gelul feroaluminos), materialul argilos și apoi materialul detritic. Principala proveniență a tuturor celor trei grupe admitem că este alohtonă și că aceste componente își au originea într-o arie distributivă foarte apropiată. Caracterul alohton, al acestor depozite trebuie legat fie de zăcăminte preexistente de bauxită autohtonă fie de un material silicatat intens laterizat, în care uneori s-a ajuns la hidroxizi de fier și aluminiu, iar alteori la caolinit prin menținerea în rocă a silicei. În primul caz se poate aplica termenul genetic de ferrallitizare, iar în cel de al doilea pe cel de fersiallitizare, propuși în sinonimia celui de laterizare de către Millot (1964). Caracterele litologice ale complexului bauxitic conduc la concluzia că o parte integrantă a materialului de origine, în afară de suspensiile detritice, a fost în stare coloidală sau chiar în soluție ionică ce a precipitat înglobind materialul detritic de mare dispersie; de aici lipsa de stratificație și lipsa unei structuri ooidale specifice în masa bauxitelor. Din aceleasi motive, am considerat că termenul de „sedimente detrito-chimice” este cel mai potrivit pentru desemnarea acestor roci

alăturindu-le celui de „alohtonie” (bauxite alohtonice detrito-chimice). În bauxite, materialul argilos este exclusiv caolinitic, în rocile argiloase adăugindu-i-se dickitul. Caolinitul reprezintă „mineralul argilos cardinal” (Millot 1964) și indică un mediu continental de formare și mai ales un pH acid (fază siderolitică). Originea sa poate fi legată și de procese de caolinizare *in situ* a materialului detritic, fapt dovedit prin structurile mixte epitaxice pe care le prezintă nicoile detritice din rocile complexului. Materialul detritic nebauxitic (*str.s.*) apare cantitativ numai în orizontul bazal și în porțiunea cea mai superioară de trecere spre gresii. În aceste zone cuarțul, practic absent, în seria argilo-bauxitică propriu zisă, se alătură micelor și altor minerale de origine cristalină.

Pe de altă parte, determinările chimico-mineralogice au arătat că, în timp ce fierul (hematit) și titanul (anataz) se mențin în cantități destul de apropiate în majoritatea rocilor argilo-bauxitice, alumina liberă (boehmitul) și argila (caolinitul) variază în toate proporțiile cu o tendință de concentrare cantitativă în sectoarele extreme ale graficului (fig. 6). O parte din caolinit și dickitul sunt de origine diagenetică.

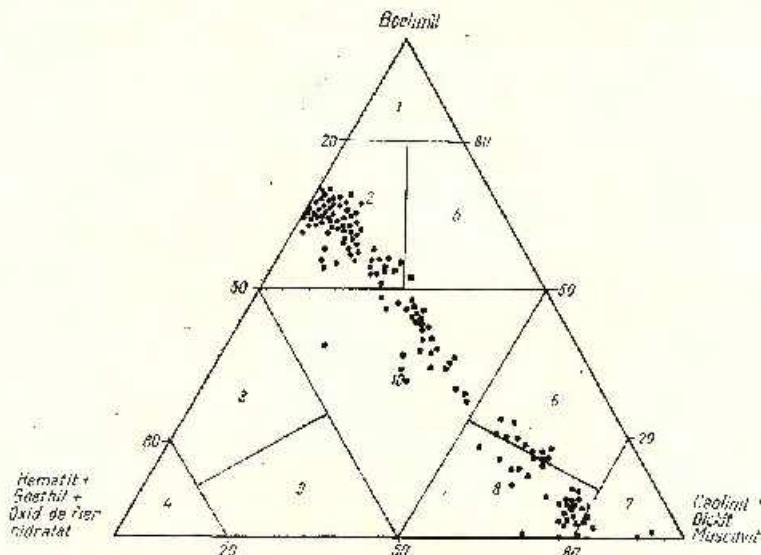


Fig. 6. — Grafic ternar cu alcătuirea chimică a rocilor bauxitice din bazinul Hategului.

1. allite; 2. alferilite; 3. ferallite; 4. ferrilite; 5. alifilite; 6. siallite; 7. silite (silicofelit); 8. aiferilite; 9. ferrisilite; 10. ferrifilite.

Graphique ternaire avec la composition chimique des roches bauxitiques du bassin de Hateg.

1. allites; 2. alferillites; 3. ferallites; 4. ferrilites; 5. alifilites; 6. siallites; 7. silites (silicofelites); 8. aiferilites; 9. ferrisilites; 10. ferrifilites.

Am prezentat aceste date genetice sumare, care vor fi reluate și dezvoltate, pentru a crea o bază de discuție în descrierile ce urmează și pentru a arăta că cele trei componente principale (gelul triadic, caolinitul și materialul detritic *str.s.*), care la prima enunțare par a constitui entități mineralogice bine definite (termenii extremi ai unui eventual grafic ternar), sunt departe de a avea un caracter genetic exclusiv și nici chiar distributiv, unitar, astfel că ne vedem nevoiți să le facem descrierea în ansamblu.

Bauxitele din Hațeg prezintă o structură geloidă, criptocristalină foarte fină, nedecelabilă pe cale optică care, datorată pigmentului hematitic de mare dispersie, este adeseori opacă. În această masă cu nuanțe brune, roșii sau roz, se găsesc atât mineralele principale cât și bună parte dintre cele cu distribuții subordonate, astfel că, în studiul petrografic, vom fi silici să abordăm ca atare. Fisurile sunt umplute cu oxizi, cu caolinit sau cu leptoclorit criptocristalin. Studiul optic a fost completat cu cel termodiferențial și spectrografic, astfel că s-a putut întocmi tabelul 3 în care figurează alcătuirea mineralogică totală a rocilor.

Macroscopic, principalele roci componente ale complexului, rocile bauxitice și cele argiloase prezintă o mare asemănare între ele, neputindu-se face în general deosebirea, deși termenii extremi sunt net deosebiți. Conținutul de hematit ridică greutatea specifică a rocilor argiloase imprimându-le și aspectul compact, asemănător adeseori bauxitelor pure.

În general rocile sunt dure, compacte, fără stratificație, cel mult cu o șistozitate secundară de clivaj și mai rar, cum este cazul celor argilo-bauxitice de la Fizești, cu șistozitate de stratificație. Cele cu conținut mare în argilă prezintă adaosuri mai mult sau mai puțin vizibile de muscovit. Rocile grezoase și conglomeratice-brecioase din bază au uneori indicii de granoclăsare. Diferitele tipuri litologice pot prezenta tranziții laterale și caracter mai mult sau mai puțin lenticulare.

Culoarea este brună-roșie; varietățile compacte au în spărtură luciu cornos și amintesc chiar de aspectul jaspurilor. Rocile argiloase pot prezenta nuanțe de brun-gălbui datorate adaosului de caolinit și hidratarii hematitului, consecință a proceselor locale de deferizare.

Procesele de reducere a fierului sub acțiunea soluțiilor care au circulat pe fisuri conduc la inverziri locale sau de-a lungul acestor fisuri (Comarnic, păt 147). Pe fisuri apare de asemenea și caolinit secundar.

Bauxitele din bazinul Hațegului sunt exclusiv boehmitice, iar fierul se găsește, în marea sa majoritate, sub forma de hematit goethitul și oxizi hidratați având un caracter secundar. Constant, în alcătuirea acestor complexe și alături de caolinit, în rocile bogate în argilă, apare și dickitul.

Din corelarea rezultatelor obținute cu diferite metode, mineralele complexului bauxitifer pot fi clasificate astfel (tab. 3).

Oxizii triadei Al-Fel-Ti. Aluminiu = boehmit (1); Fier : hematit (1), goethit (2), limonit (oxizi de fier hidratați recunoscuți numai termodiferențial) (1–2); Titan : anataz (2).

Minerale argiloase : caolinit (1), dickit (2), leptoclorite (2)

Minerale detritice : muscovit (2), biotit (3), rutil (3) zircon (3), cuart (3), turmalină (3)

Minerale detritice și de neoformăriune : leverrierit (structuri epitaxice de muscovit și caolinit) (2) turmalină (3)

1 = prezent în toate probele analizate (sau cu puține excepții)

2 = prezent în 15–50% dintre probele analizate

3 = foarte rar sau sporadic în probele analizate.

A) Studiul optic (petrografie)

Secțiunile examineate în rocile întregii serii au pus în evidență trei componente principale : masa fundamentală (sau mezostoza)¹⁵, materialul detritic și umplutura fisurilor. Facem o mențiune specială pentru prezența turmalinei de neoformăriune.

În rocile în care masa fundamentală este uniform și intens pigmentată cu hematit și în care nu se găsesc incluse lame de mică – corespunzînd bauxitelor *str.s.* (hematitice) – secțiunile subțiri nu permit descifrarea vreunei structuri : cimpul este total opac, doar pe alocuri conturindu-se fisuri de contracție umplute cu caolinit recristalizat (planșa I, fig. 1). Aceste fisuri, atunci când sunt mai numeroase, pot alcătui rețele anastomozate (pl. I, fig. 2). În alte cazuri, în masa fundamentală se conchurează corpusculi în secțiune circulari, ovali sau lobati ce par a fi rezultat fie din aglutinarea suspensiilor milului de origine, fie prin procese de precipitare din coloizi (pl. I, fig. 3). Între aceștia, masa roci este deferizată și apare caolinit criptocristalin (asemănător unui liant – pl. I, fig. 4). Într-un stadiu mai avansat, masa intersticială crește cantitativ, iar caolinul se individualizează în cristale mai mult sau mai puțin marcate, cu tendințe de idiomorfism. Corpusculii sunt opaci fără structură, arareori prezintând cruste de regenerare *in situ*. În aceste roci, care capătă astfel caracterul preponderent caolinic, corespunzînd definiției de „argile megaaluminoase” (sinonim argile cu alumina liberă) se recunosc lame de muscovit în diferite grade de caolinizare epitaxică și chiar vermo-

¹⁵ Termenul, perfect aplicabil în cazul bauxitelor autohtone din Pădurea Craiului în care apar înglobați corpusculi ovoidali, este mai puțin adecvat în rocile din bazinul Hațegului.

izi de caolinit, neoformațiuni considerate de unii autori ca produse tipice de degradare ale muscovitului (M i l o t 1964).

Pe fisuri se concentrează oxizi ferici sau caolinit, niciodată calcit sau cuarț.

Descrierea mineralologică dă următorii componenți :

1. Oxizii ferici. Microscopic se constată, după cum s-a menționat, prezența oxizilor ferici în masa fundamentală, fără a li se putea preciza natura.

După datele de raze X și DTA rezultă însă că avem de a face în primul rind cu hematitul (hematogel) și, în subsidiar, cu goethitul și cu oxizii hidratați rezultați prin alterare. Aceste minerale pigmentează și fac opacă masa geloidă. Fisurile rocilor deferizate sunt adeseori colmatate cu goethit mai mult sau mai puțin recristalizat. Microscopic se constată prezența corpusebulor cu diferite nuanțe în care procesele de deferizare pot determina o zonă periferică săracă în fier și ca urmare, mai deschisă la culoare.

În cazul aflorimentului din valea Peștera Ohaba, roca argilo-bauxitică este parțial deferizată : în mezostaza hematitică se individualizează corpusculi hematitici cu forme circulare sau alungite, ce fuzionează în corpusculi complexi (pl. II, fig. 1).

Caolinurile hematitice, rezultă din creșterea cantitativă a conținutului în caolin, fiind în același timp intens feruginoase, astfel că observațiile microscopice devin posibile în cazul unor caolinuri deferizate. Cînd procesul de deferizare este avansat, aceste caolinuri sunt reduse la roci albicioase, constituîte aproape exclusiv dintr-o masă criptocristalină, total caolinitică, cu puțin pigment feruginos (pl. II, fig. 2) sau total lipsită de el și în care structura rocii devine evidentă. Local se observă individualizări aciculare rezultate din concentrarea hematitului în urma proceselor de deferizare (pl. II, fig. 3). Uneori avem impresia unor ace de ilmenit a căror apariție ar trebui pusă în legătură, eventual, cu mobilitatea odată cu fierul și a unui mic adaos de titan (pl. II, fig. 4).

2. Caolinitul este unul dintre componenții de importanță deosebită, datorită participării sale atât în constituția masei fundamentale cât și a umpluturii fisurilor tuturor tipurilor de roci din complexul bauxitifer. Natura acestui caolinit este dublă. În unele bauxite, argile bauxitice sau argile hematitice, ca urmare a procesului de deshidratare și contracție a gelului ferallitic, fisurile formate alcătuind de obicei o rețea, au fost colmatate cu minerale noi în cursul diagenezei penecontemporane. Dintre

acestea, caolinitul în stare criptocristalină, are o mare răspândire, atât în mezostaza opacă, feruginoasă, pe care uneori o poate cuprinde în întregime, cît și în formațiunile ooidale. El apare în stare de la criptocristalină pînă la larg dezvoltat vermiciform (pl. III, fig. 1). În aceleasi roci întîlnim însă și caolinit format secundar (epitacic) pe seama muscovitului, cu sau fără faze evidente de tranziție (hidromuscovit?).

Creserea cantitativă a conținutului în caolinit, conduce după cum s-a mai spus, la caolinuri hematitice în care 80% din masa rocii revine caolinitului. În procesul de deferizare, astfel de roci evidențiază structura vermiciformă a agregatelor de caolinit, încrisă în spații rotunde, ovale, lobate sau sinusoase (pl. III, fig. 2). În aceste agregate, vermoizii variază dimensional ajungînd la dezvoltări largi, de ordinul milimetrelor, caz în care se poate admite natura lor secundară pe seama muscovitului. Această origine este mai clară în cazurile în care acești vermeizi mai mențin local culorile de birefringență ale muscovitului. Alteori, caolinurile hematitice deferizate, evidențiază o structură porfirică, impusă de cristalizarea în grade diferite a caolinitului.

3. Anatazul, fin granular (sub 0,02 mm Ø), dispers în mezostaza rocilor bauxitice, se individualizează ca un component de origine autigenă, vizibil în special în zonele deferizate ale acestora.

4. Turmalina, Un caz mai puțin clar (decît la caolinit), de mineral cu origine dublă, îl reprezintă turmalina. Aceasta este frecvent întîlnită în mezostaza unor roci bauxitice, avînd o foarte redusă dezvoltare (sub 0,03 mm Ø), culoare albastră-verzuie, cu absorbtie evidentă și formă granulară sau prismatică, cu tendințe de idiomorfism. Turmalina cu aceste caractere, a fost întîlnită aproape constant, în secțiunile subțiri, frecvent 1—2 granule, excepțional 3 granule, ceea ce reprezintă o frecvență demnă de menționat, cu atât mai mult cu cît aria de răspîndire este mare : sectorul Comarnic-Poeni, sectorul Murgoi, sectorul Peștera-Ohaba și mai rar în sectorul Fizești și sectorul Zăposu. Acest tip de turmalină descris, inclinăm să-l considerăm autogen, neexistînd dovezi vizibile, cum ar fi cele de ordin cristalografic care să indice o suprareștere pe un nucleu de origine detritică. Într-o argilă bauxitică parțial deferizată a fost recunoscută o turmalină fină autigenă (pl. III, fig. 3).

Turmalina detritică întîlnită cu totul accidental în rocile argiloase bauxitice (sectorul Ohaba-Ponor N și valea Peștera Ohaba), are culoare verzuie, conture colțuroase și frecvențe fisurații în interior. Unul dintre granule, cu dimensiuni de 1,50/0,80 mm (sectorul Ohaba Ponor N), con-

ține inclusiv de rutit și apatit, care-i precizează originea eruptivă-pegmatitică (pl. III, fig. 4). În alte două cazuri (valea Peștera Ohaba), turmalina cu aceeași colorație, are dimensiuni mai reduse ($0,27/0,20$ mm și $0,10/0,06$ mm).

Menționăm că turmalina detritică este prezentă atât în rocile cu un conținut carecare de muscovit detritic, cât și în argilă hematitică, cu caolinit criptocristalin și vermiciform alături de muscovit detritic (transformat parțial în caolinit) și de biotit eloritizat.

5. Muscovitul. Mineralul detritic cu cea mai mare frecvență este muscovitul, prezent în întreaga succesiune de roci care alcătuiesc complexul bauxitic din regiunea Hăteg, la alcătuirea cărora participă în proporții variate, mai ales în rocile argiloase. Foarte rar imprimă acestora o sistozitate, avind în general o distribuție haotică atât spațială cât și granulometrică deoarece, alături de pachete de dimensiuni mari (de 1 mm \varnothing), întâlnim pachete de $0,05$ mm \varnothing . În numeroase cazuri se remarcă transformări secundare ale muscovitului, trecind în caolinit prin intermediul unor faze de tranziție caracterizate prin deformări ale pachetelor și foilelor, ca și prin pierderea concomitantă și treptată a culorilor de birefringență. Ca și în cazul rocilor bauxitice de la Sohodol, faza intermediară în acest proces de caolinizare (hidromuscovit?) se caracterizează prin umflarea la periferie a pachetelor și diminuarea intensității culorii de birefringență pînă la culori scăzute de ord. I, caracteristice caolinitului (pl. IV, fig. 1). În alte cazuri, procesul de caolinizare a muscovitului are loc în zone paralele cu clivajul, ajungîndu-se la o alternanță de lamele de caolinit cu lamele de muscovit (epitaxie). După de Laparent (din Milot 1964), acest stadiu intermediar, cu caracterele descrise mai sus, ar fi leverrieritul format în condițiile milului originar, sub influența unei acidități întreținute de percolarea materiei organice (Kulbicki, Vetter 1955). Procentul maxim de muscovit detritic în rocile complexului bauxitic este de 30% (sectorul Comarnic-Poieni). Alteori, pe planele de clivaj ale muscovitului se insinuează materialul opac al masei fundamentale, muscovitul păstrîndu-și culorile de birefringență (Pl. IV, fig. 2). În ceea ce privește cheștiunile vom reveni la geneza. Subliniem comparativ deosebirea evidentă între modul în care apare muscovitul detritic în rocile complexelor bauxitice de la Sohodol și din Hăteg. În cazul rocilor de la Sohodol, este remarcabilă participarea foilelor sau a pachetelor fine de muscovit, mai mult sau mai puțin caoliniat și cu un grad avansat de sortare, astfel că nu prezintă mari variații dimensionale (în jur de $0,08/0,01$ mm; $0,25/0,03$ mm; $0,30/0,010$ mm).

În cazul rocilor argilo-bauxitice din bazinul Hațegului, muscovitul de obicei lipsește sau este slab reprezentat, pentru că să crească cantitativ spre rocile argiloase.

Intr-un caolinit hematitic cu structură porfirică, transformarea muscovitului este atât de avansată încit numai prezența locală a unor culori de birefringență ridicată, constituie în fapt mărturia existenței muscovitului detritic (pl. IV, fig. 3).

6. Cuarțul este unul dintre mineralele detritice cu rol important în stabilirea genezei și diagnosticarea rocii, din care decurge importanța de ordin economic pe care o prezintă complexul bauxitifer din această regiune.

Analizele chimice au pus în evidență o cantitate variabilă de SiO_2 și în același timp mult mai ridicată decât cea existentă în bauxitele propriu-zise din masivul Pădurea Crainului, silice care ar fi putut fi atribuită în mod greșit în totalitate cuarțului. Observațiile microscopice au precizat însă că numai o mică parte revine acestuia și nu în rocile bauxitice, mareea majoritate a silicei fiind datorată caolinitului. Prezența cuarțului în complexul bauxitifer din regiunea Hațeg este legată în mod constant de zonele bazale sau superioare ale lentelelor. Astfel, în afloamentul din affluentul stâng al văii Peștera-Ohaba, roca cu aspect grezos-șistos din bază, este alcătuită dintr-o alternanță de microzone mai mult sau mai puțin compacte, feruginoase, cu microzone de compozitie grezo-arkoziană, cu ciment feruginos și de aceeași natură cu cel al păturilor compacte (pl. IV, fig. 4). Cuarțul, predominant, apare uneori și în păturile geloide-feruginoase, alături de caolinit. Ritmurile acestei roci au grosimi milimetrice.

În cuprinsul unor argile bauxitice bazale există rareori intercalări de material detritic, cu grosimi milimetrice, care indică sensul stratificației și care sunt constituite din cuarț, fragmente de cuartite, microclin, clorit și muscovit, cimentate cu material argilos-hematitic (pl. V, fig. 1).

În rocile bauxitice, cuarțul nu a fost niciodată întlnit.

7. Biotitul. În complexul bauxitifer, acest mineral frecvent în gresiile superioare a fost întlnit și în argile. Colorația brună, inițială, este înlocuită, într-un prim stadiu de transformare, cu cea verde, menținându-se totuși culorile de birefringență. Treptat, acesta se opacitizează sau, urmând o altă etapă de transformare, se decolorează, pentru că în final, să imbrace aspectul caolinitului (pl. V, fig. 2).

Intr-un singur caz (sectorul Murgoi Sat) într-o rocă caolinoasă hematitică cu aspect grezos datorat dezvoltării nodulare a caolinitului, biotitul verde menționat conține ace de rutil (pl. V, fig. 3).

În argilele hematitice, biotitul apare excepțional. În una dintr-aceste roci, foilele și pachetele de biotit detritic eloritizat parțial, au forme rezultate din transformările chimice umflări și exfolieri specifice hidrobiotitului — consecință a proceselor de degradare.

8. Rutilel este prezent cu totul întâmplător în rocile bauxitice, recunoscut de două ori, odată în asociație cu o turmalină detritică (pl. I-II, fig. 4), pentru care am sugerat originea pegmatitică (sectorul Ohaba Ponor N) și a doua oară alături de un granul de zircon.

9. Zirconul este tot atât de rar ca și rutilel. Într-o probă de bauxită caolinoasă de la Murgoi (puș nr. 30 IGEX) dimensiunile maxime ale acestuia sunt de $0,175 / 0,080$ mm (pl. V, fig. 4). El apare prins în masa de caolinit care constituie intr-un fel mezostaza rocii, jucând rolul de ciment al corpusculilor feruginoși.

B) Studiul chimico-mineralogie

Pentru a obține o imagine mai riguroasă asupra alcăturirii chimico-mineralogice a complexului bauxitifer din bazinul Hăteganului au fost corelate rezultatele petrografice cu rezultatele analizelor chimice și determinărilor fizice (DTA — fig. 9), roentgenografice, analize spectrale). Analize chimice complete au fost executate pe 20 de probe alese (tab. 2), în care rocile au fost plasate în ordinea scăderii cantității de aluminiu, adică de la bauxite la argile. Pentru completare ne-am servit de încă cca 150 analize (numai pentru elementele principale Al-Fe-Ti-Si) din probele de carotaj continuu din forajele IGEX. După cum reiese din tabelul 2, o atenție specială a fost acordată bauxitelor mai curate, cu procente ușor subunitare de SiO_2 , provenite preponderent din sectorul Murgoi. Față de bauxitele autohtone din Pădurea Craiului, ca și față de cele allohtone de la Sohodol (Munții Apuseni), bauxitele din Hăteg prezintă o remarcabilă uniformitate chimico-mineralologică fiind cu desăvîrșire toate, bauxite ferice, în care cantitatea de fier bivalent lipsește sau se menține în conținut sub 2% (o excepție face în tabele o probă cu sideroză, mineral secundar a cărui prezență nu modifică cu nimic imaginea generală chimico-mineralologică prezintată).

TABELA

Analiza chimică a rocilor

Element	Proba		Ritn-Záposu Put 27 m 1,5-3,5	Murgoi Put 22 A m 8,5-9,5	Murgoi Put 22 A 7,5-8,5	Ritn-Záposu Put 27 m 0,5-1,5	Murgoi scărăsuara Put 58 m 13,4 14,4	Murgoi Put 22 A m 5,5-6,5	Murgoi scărăsuara Put 58 m 12,4-13,4	Comarnic Put 149	Comarnic Put 147
	Ritn-Záposu Put 385	Murgoi Put 431									
SiO ₂	1,50	0,82	0,80	2,61	0,68	3,50	3,49	4,87	7,37		
Al ₂ O ₃	54,83	51,40	50,60	51,34	49,07	47,53	46,60	51,32	51,81		
Fe ₂ O ₃	28,10	30,66	30,66	28,78	35,10	30,67	34,37	25,83	21,40		
FeO	—	—	—	urme	—	urme	urme	1,15	0,59		
MgO	0,03	0,04	0,03	0,04	0,02	0,03	0,10	0,09	0,10		
CaO	0,09	0,14	0,15	0,12	0,10	0,13	0,37	0,41	0,15		
Na ₂ O	0,27	0,35	0,43	0,16	0,38	0,19	0,13	0,21	0,21		
K ₂ O	urme	urme	urme	urme	urme	urme	urme	0,09	0,24		
Ti ₂ O	2,51	4,20	4,81	4,61	2,80	5,21	2,91	2,36	2,86		
MnO	0,07	0,30	0,52	0,09	0,38	0,29	0,53	0,45	0,12		
P ₂ O ₅	0,16	0,30	0,43	0,12	0,16	0,35	0,12	0,14	—		
S	0,12	urme	urme	urme	urme	urme	urme	0,09	—		
CO ₂	—	—	—	—	—	—	—	—	—		
H ₂ O	12,24	12,00	11,48	11,80	11,84	12,23	11,18	13,21	12,10		
Total	99,92	100,01	99,91	99,97	100,03	100,23	99,80	99,72	99,95		

* Analist Alexandra Danciulescu, I.P.G., — M.I.M.G.

În concluzie, putem considera că patru elemente (Al, Fe, Ti, Si) plus apă, alcătuiesc practic complexele bauxitifere ceea ce revine mineralogic la patru tipuri de minerale principale: boehmit, hematit (+oxizii ferice hidrate), caolinit (-dickit + muscovit) și anataz. Cum acesta din urmă se găsește în procente ce nu se ridică decât rareori peste 3%, am considerat seria ca alcătuință practic din trei elemente Al-Fe-Si, corespunzând la trei minerale boehmit-hematit + caolinit (și minerale înrudite). Pe baza acestor compoziții au fost întocmite graficele fig. 6 și fig. 7, în care au fost proiectate toate rocile analizate precum și curbele din fig. 8 și 9. În prima, se urmărește variația principalilor compoziții începând cu bauxitele cele mai bogate în alumina și terminând cu argilele cele mai bogate în silice și mai sărace în alumina, pe cele 20 analize complete. În curbele din fig. 9 se urmărește variația componentelor în masa complexelor bauxitifere.



LUL 2

bauxitice din bazinul Hațegului

Comanic Put 147		Viroaga Ohaba Pesteră		Viroaga Ohaba Pesteră		Comanic Put 150		Comanic Put 84		Comanic Put 147		Tădes Put 38 m 9,5		Mungoi Ponorici Put 2 m 1,8		Pitezeli		Pitezeli		Argila habă Pesteră oxigenă	
H 18a	H 33	H 29	H 9	II 26a	18 b																H 30
8,63	25,66	36,00	36,15	40,99	40,97	33,90	33,76	34,00	26,15	35,25	36,95										
43,98	40,53	31,43	30,90	35,00	35,77	30,00	28,73	31,30	38,80	34,80	29,93										
25,63	18,98	18,00	17,52	5,62	7,30	10,70	20,43	19,15	18,41	14,89	18,85										
1,30	0,77	1,24	0,75	0,75	urme	4,51	urme	1,55	0,68	0,90											
0,16	0,07	0,07	0,05	0,04	0,02	0,05	0,30	0,03	0,47	0,48	0,23										
0,18	0,20	0,31	0,19	0,10	0,06	0,25	0,88	0,20	0,19	0,18	0,17										
0,21	0,29	0,21	0,08	0,21	0,05	0,38	0,22	0,16	0,21	0,21	0,29										
0,22	0,48	0,36	0,24	0,15	urme	1,05	0,13	0,24	0,94	1,09	1,63										
2,81	1,20	1,50	2,21	2,81	2,15	2,80	2,40	2,80	1,60	1,10	0,95										
0,08	0,07	0,04	0,03	0,01	0,05	0,48	0,35	0,32	0,28	0,08	0,06										
0,25	0,07	0,07	0,10	0,10	0,12	0,10	0,10	0,10	0,05	—	—										
urme	—	—	—	0,22	—	0,08	urme	urme	0,05	0,03	—										
—	—	—	—	—	—	2,76	—	—	—	—	—										
11,38	11,63	11,26	11,39	14,12	13,48	13,11	12,73	12,21	11,31	11,60	10,09										
99,83	99,95	100,49	99,61	100,12	100,00	100,17	100,03	100,51	100,01	100,36	100,05										

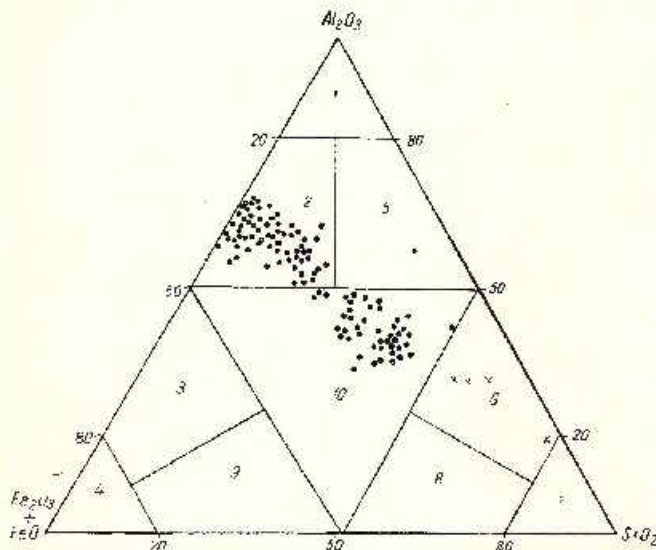


Fig. 7. Grafic ternar cu alcatuirea mineralogică a rocilor bauxitice din bazinul Hațegului.

1. bauxită; 2. bauxite feriferă; 3. hematită(b) bauxitice; 4. hematită(4); 5. bauxite argiloase; 6. argile bauxitice; 7. argile echioase; 8. argile hematitice; 9. hematită(9) argiloase; 10. bauxites argilo-hematitice.

Graphique ternaire avec la composition minéralogique des roches bauxitiques de

bassin de Hațeg.

1. bauxite; bauxite feriferă; 3. hematite (3) bauxitique (3); 4. hematite (4); 5. bauxite argiloase; 6. argiles bauxitiques; 7. argiles échinoases; 8. argiles hematitiques; 9. hematite (9) argiloase (9); 10. bauxites argilo-hematitiques.

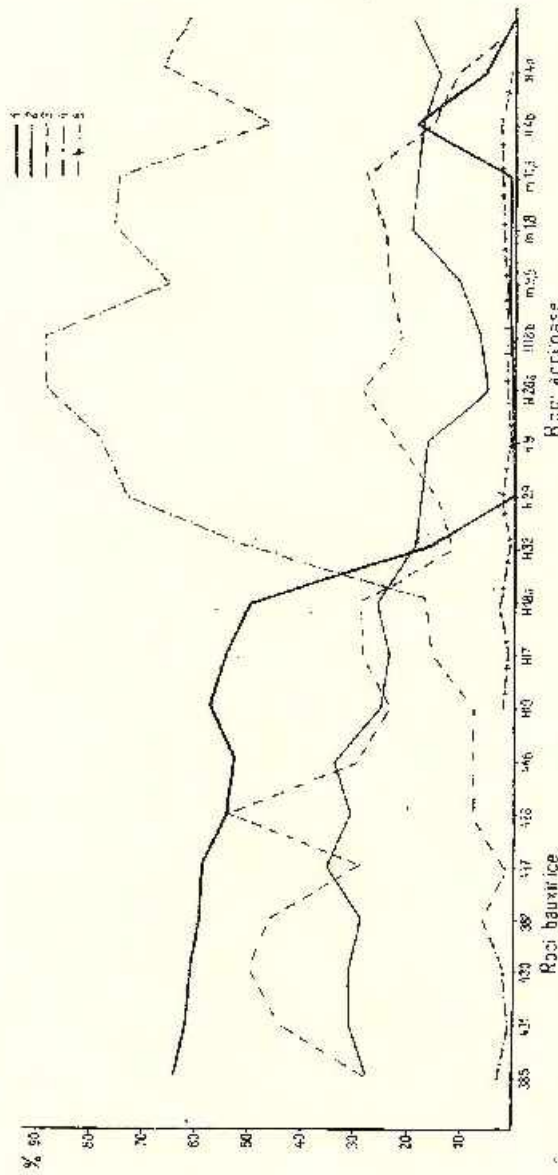


FIG. 8. — Varietatea principalelor componente ai complexelor bauxitifere din bazinul Hategului.

1, boehmit; 2, și total; 3, anataz; 4, caolinit + dickit; 5, clorit.

Variation des principales composants des complexes bauxitifères du bassin de Hateg.

1, boémite; 2, et total; 3, anatase; 4, kaolinite + dickite; 5, chlorite

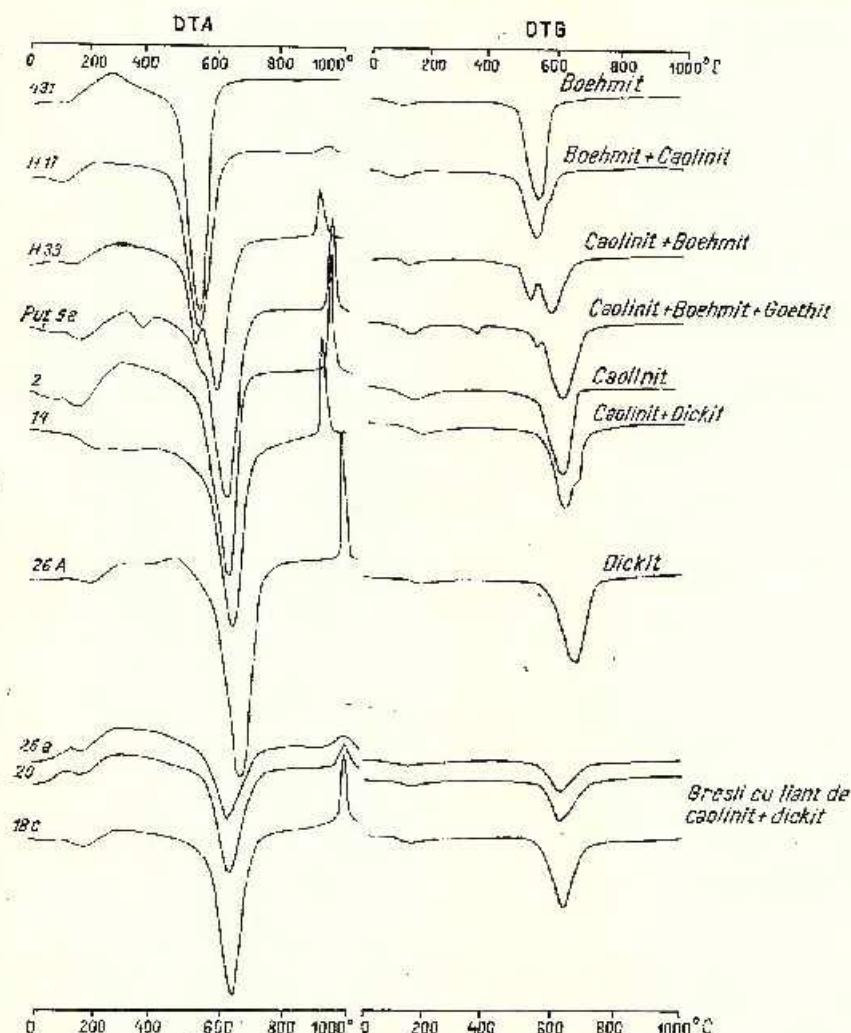


Fig. 9. — Curbe termodiferențiale (DTA) și termodiferențiale gravimetrice (DTG) în rocile bauxitice, argiloase și grezoase din bazinul Hătegului.

431, bauxita (boehmit); H 17, bauxita slab argiloasă (boehmit + puțin caolinit); H 33, argilă bauxitiferă (caolinit + boehmit); Put 58, argilă slab bauxitiferă (caolinit + boehmit + goethit); 2, argilă caolinoasă ($\text{CaO}(\text{MgO})_2$); 14, argilă caolinoasă - dickitică (caolinit + dickite); 26a, argilă dickitică (dickite); 26 a = 20; 18 c = grăsii hematitice cu matrice caolinito-dickitică.

Courbes thermodifférentielles (DTA) et thermodifférentielles gravimétriques (DTG) dans les roches bauxitiques, argileuses et gréseuses du bassin de Hăteg.

431, bauxite (boehmite); H 17, bauxite faiblement argileuse (boehmite + peu de kaolinite); H 33, argile bauxitifères (kaolinite + boehmite); Put 58, argile faiblement bauxitifères (kaolinite + boehmite + goethite); 2, argile kaolinoase (kaolinite); 14, argile kaolinoase - dickitiques (kaolinite + dickite); 26a, argiles dickitiques (dickite); 26 a = 20; 18 c = grès hématitiques à matrice kaolinito-dickitique.

Alcătuirea chimico-mineralogică rezultă din tabelul 3.

Aluminiul se găsește fixat sub formă de oxid monohidratat (exclusiv boehmit), caracterizând rocile bauxitice, și sub formă de silicati, preac-

TABEL
Alcătuirea mineralogică a rocilor

Minerale	Bauxite									
	Proba	Rită-Zăposu Put 27 m 1,5-2,5	Murgoi Put 22 A m 8,5-9,5	Murgoi Put 22 A m 7,5-8,5	Rită-Zăposu Put 27 m 0,5-1,5	Murgoi Scărisoara Put 58 m 13,4-14,4	Murgoi Put 22 A m 5,5-6,5	Murgoi Scărisoara Put 58 m 12,4-13,4	Gomanic Put 149	Gomanic Put 146
Mineral	385	431	430	382	447	428	446	H 19	H 17	H 18a
Boehmit	64,41	62,11	60,92	58,86	59,05	54,40	53,10	58,22	54,88	49,90
Caolinit	3,29	1,38	1,77	5,71	1,51	7,80	7,76	8,49	15,56	17,47
Dickit	-	-	-	-	-	-	-	-	-	-
Clorit	-	-	-	-	-	-	-	2,45	1,24	2,71
Muscovit	-	-	-	-	-	-	-	-	-	-
Hematit	20,96	28,78	28,70	18,78	33,21	26,27	33,19	15,36	21,29	18,67
Goethit	-	-	-	-	-	3,35	-	12,72	4,14	8,21
Oxizi de Fe hidratați	8,58	3,37	3,83	11,72	3,31	2,69	2,63	-	-	-
Anataz	2,58	4,40	4,99	4,69	2,90	5,41	3,01	2,45	2,93	2,86
Alți compoziți	0,20 ¹	-	-	-	-	-	-	-	-	-
Total	100,00	100,04	99,71	99,76	99,98	99,92	99,69	99,69	100,04	99,82

¹ conține 0,2% Fe S₂; ² conține 0,4% FeS₂; ³ conține 7,3% sideroză; ⁴ conține 1,6% quart.

tic exclusiv în minerale argiloase (caolinit, dickit, leptoclorite) și în micul procent de muscovit în bună măsură caolinizat, caracteristic rocilor argiloase. Variația cantitativă a aluminei nu se eșalonăază însă pe o scară prea întinsă intrucât scăderea cantității de boehmit este mai mult sau mai puțin compensată de creșterea celei de caolinit (în analizele din tabelul 2, Al₂O₃ = 55-59%) în bauxitele str.s conținutul în boehmit variază între 49-63%, și scade treptat către cele argiloase, putindu-se reduce uneori total, în avantajul caolinitului (Murgoi-Ponorici). Silicea liberă este absentă în complexul bauxitifer, rezultatele analizelor punând în evidență exclusiv mineralele argiloase. Procentul de SiO₂ variază de la

valori subunitare la bauxitele curate și pînă la 41% în argile. Mineralele argiloase din bauxite sunt limitate la caolinit care, în bauxitele curate, scade procentual pînă la 1,33%. În aceste roci mîcile sau formele de con-

LUL 3

Bauxitice din Bazinul Hategului

Rocă argiloasă											Argilă exogenă
Ohaba Peștera	Ohaba Peștera	Comarnic Put. 150	Comarnic Put. 84	Comarnic Put. 147	Murgoci Padis Put. 38 m. 9,5	Murgoci Ponorici Put. 2 m. 1,8	Murgoci Scărisoara Put. 58 m. 11,3 - 1,24	Fizești	Fizești	Ohaba Peștera	
H 33	H 29	H 9	H 26 a	H 18b	m 9,5	m 1,8	m 11,3	H 4 b	H 4 a	H 30	
22,52	1,13	0,32	0,33	1,20	1,99	—	2,62	20,00	5,87	—	
51,24	73,59	59,55	—	73,55	54,22	75,75	74,94	47,59	66,81	50,00	
—	—	18,21	88,20	15,72	12,98	—	—	—	—	12,98	
1,61	2,57	1,56	1,37	—	—	—	—	3,23	1,42	1,84	
4,13	3,06	—	—	—	9,30	—	—	8,08	9,33	14,11	
17,55	16,31	16,05	5,74	7,41	8,38	18,89	11,17	15,72	13,57	17,48	
1,95	—	—	—	—	—	—	7,27	—	—	—	
—	2,06	1,83	—	—	3,15	2,70	1,98	3,33	1,65	1,94	
1,22	1,51	2,23	2,87	2,18	2,41	2,51	2,85	1,63	1,11	1,97	
—	—	—	0,40 ²	—	7,63 ³	—	—	—	—	1,63 ⁴	
100,22	100,23	99,77	100,11	100,06	100,07	99,85	100,83	99,58	99,76	100,92	

creștere epitaxică cu caolinitul, în genere, lipsesc. În rocile argiloase, alături de caolinit, care ajunge pînă la 75%, (100% într-un caolinit bazal) apare dickitul (sectorul Comarnic și Murgoci Padis) care poate rămîne exclusiv, atingind peste 89% într-o rocă argiloasă de la Comarnic. În același timp și coreabil cu aceste date se remarcă absența K₂O din bauxite și prezența sa în rocile argiloase, în procente ce ating 1% în probele de la Padis și Fizești; sunt cele mai mari conținuturi dintre toate elementele dozate, în afară de metalele triadei și de apă. Acum fapt este legat direct de prezența muscovitului detritic în rocile argiloase, după cum s-a

mai arătat anterior, mineralul a cărui participare depășește 9% (în cazul probelor cu peste 1% K₂O).

Fierul apare în cantități apreciabile în rocile bauxitice (25—35% Fe₂O₃) pentru a scădea pînă la 5% în rocile argiloase, existind un raport direct între procentul de aluminiu liberă și cel de fier. Practic se poate afirma că aproape întregă sa cantitate se găsește sub forma oxidată, principalul mineral fiind hematitul de mare dispersie (hematogel) pe seama căruia, prin hidratare secundară, au luat naștere goethitul și oxizi de fier hidratati (recunoscuți pe cale termică diferențială); între hematit și aceste forme există, natural, un raport cantitativ invers. Este posibil ca, în parte, acest element să se găsească inclus în rețeaua boehmitului (boehmit ferifer, după Caillere și Pobenin, care au obținut și sintetic acest mineral — 1961 a și b).

Fierul feros lipsește complet în bauxitele cu conținut ridicat de aluminiu de la Murgoi, dar se găsește mai ales în rocile cu conținuturi mai ridicate de argilă, fiind legat mai ales în leptoclorite (0,5—1,5 FeO corespunzînd la 1,3—3,2 leptoclorit). O singură probă (Murgoi-Padeș) conține 4,5% FeO alături de 2,7% CO₂¹⁸ adică, 7,3% sideroză în timp ce, în alte două probe (Padeș și Comarnic) apare sulful fixat sub forma de FeS₂ (0,2 și 0,4%). Toate aceste trei minerale cu fier bivalent sunt produse secundare formate sub acțiunea soluțiilor reducătoare descendente.

Pe baza datelor prezentate și a celor privind restul bauxitelor din țară, ajungem la concluzia că bauxitele din bazinul Hațegului se asemănă chimico-mineralogic cu bauxitele ferice din masivul Tădurea Craiu-lui, în care valoarea raportului Fe₂O₃ : FeO depășește 20 (Papu et al. 1970), indicind cele mai oxidante condiții de acumulare, și en bauxitele ferice alohotone de la Sohodol-Cimpeni.

Cel de al treilea element al triadei, titanul, se găsește sub forma de anataz în gelul masei fundamentale, cu conținuturi ce depășesc 5% în bauxite și scad pînă la 1% în argile, aflindu-se de asemenea în raport direct cu conținutul în fier și în aluminiu (fig. 8). Celalți ioni recunoscuți în analizele complete, au participații procentuale sub 0,5% fiind în mareala lor majoritate absorbiți în argile și geluri fero-aluminioase. Sodiu depășește cantitativ potasiul în bauxite și este comparabil cu acesta în rocile argiloase; de asemenea fosforul, care se găsește în procente superioare în bauxite față de argile, cu excepția probelor argiloase de la Ohaba Peș-

¹⁸ Singura probă cu conținut de CO₂ înălțită pînă în prezent.

teră care au conținuturile cele mai ridicate. În rândul ionilor absorbibi se situează de asemenea Ca, Mg și Mn care vor fi discutați în capitolul cu determinări spectrografice.

C) Concluzii litologice

Alcătuirea litologică a complexelor bauxitice din bazinul Hațegului rezultată din datele de analiză menționate, a fost proiectată în două grafice ternare (fig. 6 și 7): primul, dedus din analizele chimice, cel de al doilea, din compoziția mineralologică și având la bază elementele și mineralele triadei Al-Fe-Ti; în primul, $\text{Al}_2\text{O}_3 - \text{Fe}_2\text{O}_3$ (total) — SiO_2 , iar în al doilea, boehmitul, caolinitul (+ dickit + muscovit) și oxizi ferici (hematit + goethit + oxizi ferici hidratați). Fiecare grafic a fost apoi împărțit în cîte zece cimpuri denumite litologic funcție de raportul cantitativ dintre termenii extremi (denumiri aflate în explicația figurilor). Prima observație ce se desprinde din examinarea ambelor grafice este remarcabilă concentrare a rocilor componente în sectoare bine definite. În graficul cu alcătuirea chimică, proiecțiile rocilor se concentreză în jumătatea inferioară a cimpului 2 (alferilite) și în partea dreaptă a jumătății superioare a cimpului 10 (ferisialite), primele corespunzind rocilor ferobauxitice, iar secundele rocilor argiloase cu conținuturi subordonate de aluminiu. Din graficul fig. 7 rezultă că amestecul binar boehmit-caolinit apare în toate proporțiile, cu o concentrare evidentă la cele două extremități, adică în cimpul 2 (bauxite ferifere) și la limita dintre cimpurile 7 (argile caolinoase) și 8 (argile hematitice), adică o evidentă tendință de concentrare de o parte a bauxitelor și de cealaltă a argilelor. Deosebit de semnificativă este prezența hematitului¹⁷ al căruia conținut variază între 15 și 40%, avind două zone de frecvență maximă: la cca 35% pentru bauxite și la cca 20% pentru argile. Este remarcabil faptul că rocile cu caracter intermediar între bauxite și argile conțin procente de asemenea intermediare de fier direct proporționale cu cantitatea de aluminiu liberă și invers proporționale cu cea de argilă. Această observație ne-a condus la anumite concluzii genetice privind sortarea diferențială gravitatională a materialului detritic primar, pe seama căruia au luat naștere complexele bauxitifere din bazinul Hațegului. Comparând curbele de repartiție a componentelor chimice și mineralogice a acestor complexe pe profilele din puțuri (planșa VI), cu datele graficelor ternare, ajungem la concluzia că, în zăcăminte de tip Comarnic, sedimentarca

¹⁷ Termen generic prin care denuminăm întregul complex de oxizi ferici.

incepe prin echilibre hematito-argiloase corespunzînd cîmpurilor 7 și 8 din graficul din fig. 7, spre a evoluă destul de rapid, cu sau fără stadii intermediare, (prin cîmpurile 7, 8, 10) spre cîmpul 2, specific rocilor hematito-bauxitice, iar de la acesta, caracteristic orizontului median, sedimentarea suferă o deplasare reversibilă prin revenirea la orizontul argilo-detritic superior. În corporile bauxitice de tip Murgoi, procesul se poate repeta de mai multe ori în cadrul orizontului bauxitic median (pl. VI). În același timp, studiile noastre s-au îndreptat și asupra argilelor cu material detritic introduse recent din afara zăcămintelor, pe calea apelor de infiltratie exogene. O argilă exogenă de la Ohaba Peștera, se încadrează perfect în chimismul menționat al rocilor argiloase, fiind însă lipsită de P_2O_5 , având cel mai mic conținut în TiO_2 și cel mai mare procent de K_2O (datorat adaosului de muscovit); nu conține boehmit iar mineralele argiloase sunt atât caolinitul cât și dickitul. Originea exogenă, o prezintă și un mic procent de euarț detritic (1,5%).

În concluzie, din examinarea graficelor și mai ales a curbelor din fig. 8, concludem la un raport direct între conținutul în fier și cel în alumina liberă și titan și un raport invers între acești compoziți și silicații aluminoși și potasici (minerale argiloase, clorite, muscovit). Acest fapt se constată și în cazul altor bauxite asemănătoare cum sunt cele din Ariège (S. Franței) (Combes 1969). Raportul invers dintre hematit și oxizii ferici hidratați, indică originea secundară a acestora (ca și a unor minerale cu fier feros — leptoclorite, sideroză, pirită).

D) Conținutul în elemente minore

Elementele minore din bauxitele și din rocile argiloase din bazinul Hațeg sunt prezentate în tabelul 4, probele analizate fiind mai puțin cu două față de cele asupra cărora s-au făcut analize chimice și cărora li s-a calculat și alcătuirea mineralologică. În același tablou au fost notate și conținuturile în boehmit, caolinit (+ dickit), Fe_2O_3 și FeO , fără a se denumi roca. Din examinarea sa rezultă anumite caracteristici în raportarea elementelor minore, legate atât de alcătuirea chimico-mineralologică a rocii cât și de sectorul de proveniență¹⁸ precum și unele asemănări între roci argiloase dintr-un sector, cu rocile bauxitice din altul. Aceste observații pot fi sistematizate astfel :

bauxitele sunt în general mai bogate decît rocile argiloase în următoarele elemente : Ni, Co, V, Zr, Sn, Ga;

¹⁸ care au fost corelate cu datele chimice redate mai sus.

rocile argiloase conțin mai mult Ba, decât cele bauxitice;

ambele tipuri de roci prezintă conținuturi mai mult sau mai puțin analoge din următoarele elemente: Be, Ca, Cu, Sr;

cromul variază în limite analoge în rocile de ambele tipuri, exceptie făcând bauxitele din sectorul Comarnic, în care conținutul este aproximativ dublu decât în toate celelalte;

magneziul atinge conținuturile cele mai ridicate în rocile argilo-bauxitice de la Fizești, urmate de bauxitele de la Comarnic și în final, de bauxitele din sectorul Murgoi;

litiul prezintă fluctuațiile recunoscute și în celelalte bauxite și roci argiloase asociate (Pădurea Craiului, Sohodol) dar caracterizează în mod deosebit sectorul Murgoi, prin conținuturi de același ordin de mărime și în general, de cel puțin 10 ori mai mici decât în celelalte tipuri litologice;

manganul apare în cantități superioare în bauxite față de rocile caolinoase, cu excepția celor din lentila Fizești, în care ordinul de mărime este același cu al bauxitelor;

plumbul este în genere superior cantitatativ în bauxitele de la Murgoi față de toate celelalte tipuri litologice care prezintă procente sensibil apropiate între ele.

Încercind acum o caracterizare a fiecărui sektor în parte, funcție de conținuturile de elemente minore și ținând seama de datele menționate și în capitolul precedent, ajungem la următoarele concluzii:

1. Sectorul Murgoi (bauxitele cele mai curate) se caracterizează prin cantitățile cele mai mici de Mg și mai ales de Li, la care se adaugă lipsa de Fe^{2+} și K.

2. Sectorul Comarnic-Obaba Penor.

a) *bauxitele* prezintă cele mai ridicate conținuturi de Cr, conținuturi foarte ridicate de Mg și conținuturi de Ca superioare bauxitelor de la Murgoi;

b) *rocile caolinițice* se încadrează în cele menționate, cu observația că dețin mai puțin magneziu decât bauxitele din același sektor dar superioare față de Murgoi.

3. Rocile caolino-bauxitice de la Fizești prezintă cele mai ridicate conținuturi de Mg și Sr dintre toate tipurile de roci analizate precum și concentrații de Mn de ordinul de mărime al bauxitelor.

TABELUL 4
Găsindul în elemente mici de la roților argiloase asociate din bazinul Hategului

Nr. probet	Proveniența	Boeh- mit %	Caoh- nit - Dichtit %	Fe ₂ O ₃ %	Fe O %	p.p.m.													
						Ni	Co	Cr	V	Mn	Be	Zr	Sn	Cu	Pb	Ga	Ba	Li	
385	Ritu Zăpusu Put, 27 m 1,5-2,5	63	3,2	28	-	113	60	155	370	680	7,0	480	8	14 150	44	85	23 190	370	
431	Murgoi Put 22 A m 8,5-9,5	69	1,3	31	-	136	65	163	375	1000	6,2	1050	8	5 132	47	35	33 280	620	
430	Murgoi Put 22 A m 7,5-8,5	59	1,7	31	-	150	74	185	380	1000	6,0	970	6	14 123	38	44	37 390	660	
382	Ritu Zăpusu Put, 27 m 0,5-1,5	58	5,6	29	-	93	74	180	325	880	6,3	710	9,5	12 122	42	154	44 138	560	
447	Murgoi Scărilești Put 58 m 13,4-14,4	57	1,5	35	-	84	19,5	102	310	1000	10,3	890	11	4 123	69	11	6 268	445	
428	Murgoi Put 22 A m 5,5-6,5	52	7,5	31	-	urne	132	60	175	330	1000	5,8	1030	8	17,5	136	42	33	21 350
446	Murgoi Scărilești Put 58 m 12,4-13,4	51	7,5	34	-	urne	115	17,5	110	41,5	1000	10	420	5,3	4 104	46	17,5	26 250	440
H 33	Ohaba Peștera Viroasă	22	50	19	0,77	81	17	183	280	670	8,5	300	4,4	11,5	90	33	134	470	610
H 29	Ohaba Peștera Viroasă	1,2	76	18	1,24	58	8,5	136	134	420	7,6	470	4,4	42	75	24	140	166	830
H 30	Ohaba Peștera	-	C=30	D=13	18,35	0,90	48	10	115	112	600	7,0	265	7,2	40	68	32	470	146
H 119	Comarnic Put 149	-	56	8,2	26	1,13	95	48	315	390	1000	5,3	710	9,5	55	67	43	45	140
H 117	Comarnic Put 146	-	54	15,2	24	0,5	180	30	425	330	1000	6,2	790	10,5	27	114	54	42	650
H 18a	Comarnic Put 147	-	49	17,2	25	1,3	245	55	355	460	790	6,9	760	7	14,5	92	43	48	625
H 19	Comarnic Put, 150	-	C=59	D=18	17	0,75	38	7	153	160	230	4,3	400	4,4	31,5	92	22	81	310
H 26A	Comarnic put, 84	-	0,32	D=87	5,6	0,73	35	4	290	156	81	6,0	400	5,6	32	110	23	46	1000
H 18b	Comarnic Put, 147	-	C=72	D=15	7,3	urne	52	20	202	80	530	3,6	270	7	14	50	27	97	800
H 43	Fizești	-	22	50	18,48	1,55	270	64	100	322	1000	8,2	325	6,2	70	86	38	127	730
H 48	Fizești	-	5,8	66	14,89	0,68	158	18,5	105	154	835	5,8	255	5,3	31	83	30	200	1050

¹ C = Caohnit; D = dictit



Conținuturile în elemente minore încadrează argila exogenă de la Ohaba Peștera între rocile argiloase, de care se deosebește însă prin procente cu mult mai ridicate de Mg, Ca și Ba, primul element apropiindu-se de rocile de la Fizești; barinul (mai ales) și calciul depășesc net toate rocile analizate. Acest fapt este poate legat direct de originea sa exogenă și de calcarele carstului înconjurător.

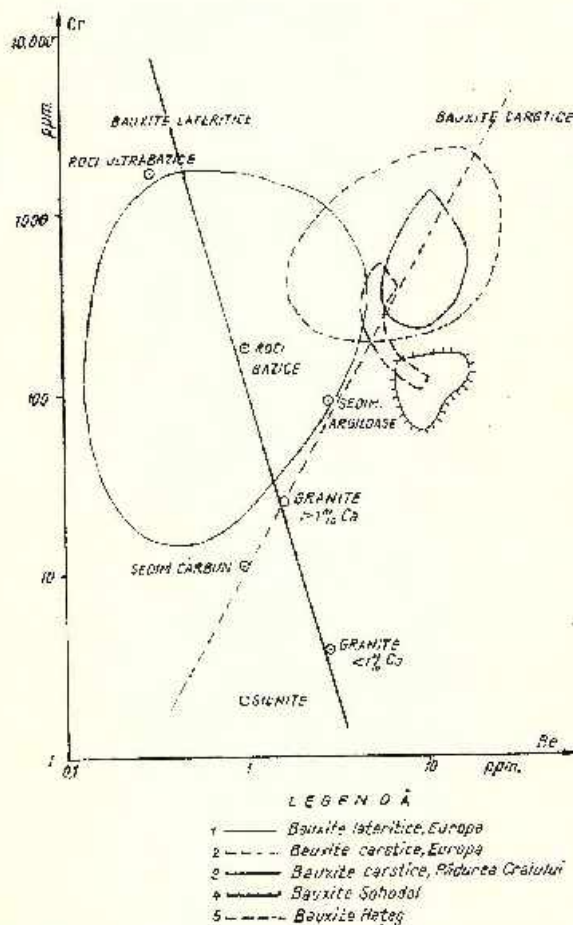


Fig. 10. - Diagrama Cr-Be (după Schrödl 1964) cu proiecțiile cimpurilor bauxitelor și argilelor asociate, din România.

1. bauxite lateritice, Europa; 2. bauxite carstice, Europa; 3. bauxite carstice, Padurea Craiului; 4. bauxite Schodol; 5. bauxite Hațeg.

Diagramme Cr-Be (d'après Schrödl 1964) avec les projections des champs des bauxites et des argiles associées de Roumanie.

1. bauxites latéritiques, Europe; 2. bauxites karstiques, Europe; 3. bauxites karstiques, Padurea Craiului; 4. bauxites Schodol; 5. bauxites Hațeg.

Înădrîndu-le în diagrama Cr-Be (fig. 10 și 11) (Schrödl 1964), se constată că bauxitele din Hațeg ocupă o zonă situată, în mareala sa majoritate, în afara cimpurilor afectate bauxitelor carstice și lateritice și

chiar deosebită de propriile noastre bauxite din Munții Apuseni. Atribuim această situație caracterului alogen, special al acestor roci, precum și unei surse de origine deosebită.

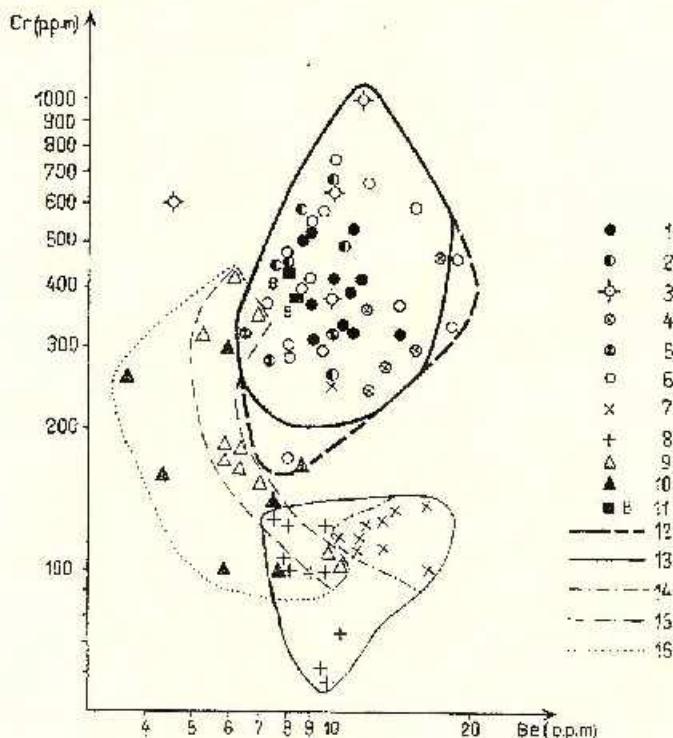


Fig. 11. — Diagrama Cr-Be (după Schroll 1964) cu detalierea pe probe analizate

1, bauxite ferice, Pădurea Craiuș; 2, bauxite fero-fericice vișinii (Pădurea Craiuș); 3, bauxite fero-fericice negre (Pădurea Craiuș); 4, bauxite fero-fericice cenușii (Pădurea Craiuș); 5, bauxite feroase verzi (Pădurea Craiuș); 6, bauxite defețite (Pădurea Craiuș); 7, bauxite ferice (Sohodol); 8, bauxite ferace (Sohodol); 9, bauxite ferice (Hațeg); 10 roci argileuze (Hațeg); 11, bauxite (Bihor); 12, cimpul bauxitifer (Pădurea Craiuș); 13, cimpul bauxitifer (Sohodol); 14, cimpul bauxitelor ferice (Sohodol); 15, cimpul bauxitelor ferice (Hațeg); 16, cimpul roctelor argiloase (Hațeg).

Diagramme Cr-Be (d'après Schroll 1964) détaillé par échantillons analysés.

1, bauxites feriques, Pădurea Craiuș; 2, bauxites ferroferiques gréseuses (Pădurea Craiuș); 3, bauxites ferreuses noires (Pădurea Craiuș); 4, bauxites ferro-terriques brunes (Pădurea Craiuș); 5, bauxites ferreuses vertes (Pădurea Craiuș); 6, bauxites déferélasses (Pădurea Craiuș); 7, bauxites feriques (Sohodol); 8, bauxites feraceuses (Sohodol); 9, bauxites feriques (Hațeg); 10 roche argileuses (Hațeg); 11, bauxites (Bihor); 12, champ bauxitifère (Pădurea Craiuș); 13, champ bauxitifère (Sohodol); 14, champ des bauxites feriques (Sohodol); 15, champ des bauxites feriques (Hațeg); 16, champ des roches argileuses (Hațeg).

IV. CARACTERELE LITOLOGICE ALE DEPOZITELOR ACOPERITOARE

Gresiile și microconglomeratele acoperitoare

Depozitele care acoperă direct formațiunea bauxitiferă din bazinul Hațegului sunt reprezentate, printr-o stivă de gresii, uneori fin conglomeratice, cu intercalări argilo-siltitice, lipsite de stratificație, de culoare roșie sau cenușiu-verzui, a cărei grosime variază de la cîțiva metri pînă la cca 15 m. Este remarcabilă, în mod deosebit, relația dintre aceste două culori complimentare care se întrepătrund lateral sau apar una pe fondul celeilalte sub forma unor zone fie lenticulare fie cu contururi neregulate, păstrînd însă o oarecare orientare pe direcția căreia, în genere, se efilează. În majoritatea cazurilor, intercalările cenușiu-verzui apar în masa de culoare roșie, acestea din urmă părind a reprezenta depozitul primar din care au rezultat, prin procese de reducere, de defezizare, gresiile cenușiu-verzui.

Aceste roci prezintă un grad de agregare destul de slab, probele ușor alterate putînd fi sfărimate între degete, precum și o porozitate evidentă și ea. Prin umectare culorile se intensifică și apoi se închid, cele roșii ajungind pînă la brun, iar cele cenușiu-verzui pînă la negru-cenușiu. Prin uscare avansată culoarea roșie vîrează spre portocaliu gălbui, iar cea cenușiu-verzui, spre verde și albicioasă.

1. Gresiile roșii și cenușiu-verzui. Studiul microscopic al acestor roci a fost corelat cu rezultatele studiilor termodiferențial și roentgenografic cum și cu patru analize chimice totale, trei efectuate pe probe de culoare roșie și una pe gresia cenușie, obținîndu-se în felul acesta imaginea chimico-mineralogică din tabelele 5, 6 și 7.

După cum s-a menționat, primul caracter care reține atenția la aceste roci este lipsa stratificației și variația uneori pe distanțe foarte mici (centimetrice) a culorii. La acestea se adaugă totala lipsă de granoclăsare sau sortare. Raportul între materialul detritic și liant variază uneori chiar pe distanțe foarte mici, pe o scară întinsă, de la gresii cu ciment pelicular și pînă la roci în care masa matricială constituie pînă la 90%. Studiul chimico-mineralogic al matricei (tab. 7) arată în primul rînd prezența mineralelor argiloase — caolinitul și dickitul — fapt ce le apropie de argilele asociate bauxitelor și, spre deosebire de acestea, totala absență a aluminei libere. Matricea gresiilor roșii conține în plus adaosuri importante de hematit și, subordonat, de goethit. În matricea gresiilor cenușii și verzuie se constată prezența acelorași minerale argiloase, și ma-

siva scădere a cantității de fier. Deferizarea este consecința unor procese de levigare sub acțiunea apelor de infiltratie încărcate cu substanță organică.

TABELUL 5

Alcătuirea chimică a gresiilor suprabauxitice

Oxizi	H 180	H 20	H 25a	H 25b
SiO ₂	45,89	47,04	52,30	76,57
Al ₂ O ₃	25,10	26,28	22,69	17,10
Fe ₂ O ₃	7,97	10,48	7,71	2,12
FeO	0,77	1,94	1,80	0,48
MgO	2,00	0,22	0,70	1,20
CaO	0,94	1,13	1,32	0,60
Na ₂ O	3,12	0,13	0,29	0,30
K ₂ O	0,27	0,01	4,63	3,14
TiO	2,28	1,28	0,95	0,65
OMn	0,08	0,15	0,14	0,09
P ₂ O ₅	0,04	0,12	0,15	0,11
S	0,30	urme	0,12	0,05
CO ₂	—	—	—	—
H ₂ O	10,70	8,39	6,96	4,06
Total	100,44	100,17	99,56	10,0 47

Analist Alexandra Dănciulescu
H 180 = gresie roșie. Puțul 147 Comarnic; H 20 = gresie roșie. Puțul 150 Comarnic; H 25 = gresie roșie cu zone cenușii de deferizare — Puțul 83 Peștera-Ohaba a = roșie; b = cenușie

TABELUL 6

Alcătuirea mineralologică a gresiilor din acoperișul bauxitelor (analize planimetrice)

Minerale	Cenușie H 25 - b		Roșie H 25 - a		Roșie H 20	Cenușiu-verzuie H 35	
	limite de variație	media	limite de variație	media		limite de variație	media
Cuart	31,27—38,35	34,78	46,40—27,50	37,00	47,5	40,50—sub 20	± 30
Microclin	8,55—5,36	6,99	3,60—0,99	2,20	—	Sp — Sp	Sp
Biotit	7,60—4,70	6,16	—	—	—	— 25—30	± 10—15
Biotit ± cloritizat	10,53—15,98	13,16	11,00—8,50	9,80	13,0	1,5— Sp	± 0,5—1
Muscovit-sericit	27,54—24,44	26,03	20,50—14,10	17,30	11,0	28,50—40,00	34,25
Alte materiale detritice	4,15—5,17	4,88	2,50—1,00	1,70	1,5	1,5— Sp	—
Liant argilo-hematitic	—	—	16,00—48,00	32,00	27,0	—	—
Liant argilo-leptocloritic	10 — 6	8	—	—	—	28,50— 10	20



TABELUL 7

Alcătuirea chimico-mineralogică a matricelor gresiilor suprabauzitice¹

Minerale	Numărul probei			
	H 180	H 20	II 25 a	II 25 b
Caolinit	55,5	58,1	30,1	82,2
Dickit	25,2	15,3	39,4	4,8
Leptoclorit	—	5,7	4,5	—
Hematit	11,4	18,6	18,5	10,1
Goethit	5,3	—	4,8	—
Anataz	2,6	2,3	2,7	2,9
	100	100	100	100

¹ Din corelarea datelor chimice, DTA și raze X.

H 18a = gresie roșie Puțul 147 Comarnic;

II 20 = gresie roșie Puțul 150 Comarnic;

H 25 = gresie roșie cu zone cenușii de defețizare.

a = roșie; b = cenușie.

Prezența leptocloritelor chiar și în matricea gresiilor roșii, considerăm că trebuie legată de atare aporturi reducătoare exogene, insuficiente însă pentru a produce defețizarea sau cel puțin pentru a determina schimbarea parțială a culorii gresiilor. Este notabilă de asemenea apariția sporadică a cimentului calcitic produs diagenetic ce înlocuiește uneori masa argilo-feruginoasă.

Materialul detritic își are originea în masele de roci mezometamorfice ce alcătuiesc cristalinul Sebeșului și prezintă un grad redus de sortare și rotunjire, granulele fiind în genere colțuroase sau subcolțuroase, rar subrotunjite, cu raportul dintre sfericitate și rotunjire (S : R = 0,3 – 0,7 ; 0,1 – 0,3).

Gradul de maturitate al sedimentelor este de asemenea foarte redus; conținut redus de cuarț (în genere sub 50%) și conținut ridicat de mice, feldspați și mai ales minerale accesori (ultimele variind cantitativ între 1,50 și 5,17%). Remarcabilă este mai ales marea cantitate de biotit, adeseori în diferite grade de cloritizare și de caolinizare (pl. V, fig. 1).

În microconglomerate, conținutul în material detritic se poate ridica pînă la 80 – 90 %, fragmentele fiind incluse într-o matrice cu caracter pelicular sau de umplere a porilor. Materialul detritic este reprezentat, în acest caz, prin roci cristaline diferite, mai ales prin cuartite cu dimensiuni în genere subcentimetrice.



Conținutul în TiO_2 al gresiilor analizate prezintă fluctuații între 0,65 și 1,28%. Fără a exclude ca o parte să provină din mineralele rămănite, marca să majoritate ne apere legată de materialul argilos matricial, sub formă de anataz, ca și în rocile bauxitice. Conținutul minim apărind într-o greșie cenușie deferizată, avansăm ipoteza că, odată cu îndepărarea fierului, sedimentul de origine a pierdut și o parte din titanul fixat în acumulare.

În cele ce urmează prezentăm caracterele mineralelor detritice pe baza studiului optic, cu unele aprecieri genetice desprinse din aceste caractere:

Quarțul este, în toate cazurile, de natură metamorfică sau filoniană, lipsit în genere de incluziuni și cu caracterele strucurale menționate. În unele cazuri, i se adaugă procente variate de granule de quarțite. Raportul dintre diferențele clase dimensionare este variabil. Astfel, într-o probă din sectorul Comarnic repartitia granulometrică este aproximativ următoarca:

granule peste 1 mm = $\pm 20\%$ (quarț filonian)

granule de 0,25–0,75 mm = 40–50%

granule sub 0,10 mm = 10–40%

Din aceste date rezultă unele domenii granulometrice fără participarea (în general) a fracțiilor de 0,75–1 mm și 0,1–0,25 mm. Într-o gresie fin conglomeratică de la limita dintre seria argilo-bauxitică subiacentă și stiva de gresii și conglomerate fine superioare de la Comarnic, quarțul detritic se repartizează în trei clase granulometrice astfel: granule lithice (70–80% quarțite din conținutul de fragmente de roci cristalofilene) = D. 1–2,5 mm; granule de quarț psamitic = D. peste 0,5 mm; granule de quarț siltice = D. sub 0,1 mm; lipsește clasa granulometrică 0,1–0,5 mm.

Acstea elemente indică surse variate de proveniență, majoritatea caracterelor dimensionale fiind mai mult sau mai puțin moștenite de la rocile de origine și după un transport redus și probabil agitat (torrential).

Micile alcătuiesc în genere principalul component detritic, conținutul lor depășind procentul de quarț sau fiind analog cu acesta. Caracterele le apropie, din toate punctele de vedere, de miciile întâlnite în argilele bauxitice de la Sohodol¹⁰. Este evident că, în cazul gresiilor, procesul de sortare nu a avut loc, amestecul cu restul de material detritic indicând fie o geneză comună, fie aporturi care „au ajuns din urmă” miciile

¹⁰ Op. cit. pet. 3.

provenite din aporturi anterioare, dar aflate încă în suspensie în apele domeniului de sedimentare.

Ca și argilele consanguine bauxitelor, miciile din gresii sunt reprezentate prin muscovit și biotit, putând prezenta grade diferite de caolinizare, în primul caz, de cloritizare, și caolinizare, în cel de al doilea. Sericitul provine în primul rînd prin remaniere; este probabil că, în parte, își are originea și în diageneza materialului argilos. Lamile de muscovit au dimensiuni variabile, apropiindu-se uneori de 1 mm. În cazul unei gresii cenușiu-verzui de pe viroaga de la Ohaba-Ponor, dimensiunile variază între 0,16 – 0,70 mm. Prin caolinizare continuă, ca și în cazul rocilor subjacente, muscovitul își pierde adesea culorile de birefringență, în diferite grade și în diferite porțiuni. Fenomenul se manifestă mai ales la periferia lamelor și, de aici, evoluează în mod general sau numai de-a lungul unora dintre ele mergind pînă la totala caolinizare (epitaxie).

Biotitul, uneori în cantitate apreciabilă în stare proaspătă (cu 25 – 30%), prezintă în general grade diferite de alterare. Alterarea conduce la o serie de minerale noi al căror produs final este în unele cazuri caolinitul. Astfel, se recunosc: treceri la hidrobiotit cu umflare și mularea granulelor de quart și feldspat; uneori hidrobiotitul evoluează spre caolinit (pl. V, fig. 2); decolorarea în diferite grade cu formarea de muscovit, în unele pachete constăindu-se alternanță acestor două minerale; formarea mineralului verde cu culori ridicate de birefringență care evoluează pînă la clorite magneziene propriu zise (cu slabe culori de birefringență) care pot evoluă apoi spre caolinit; transformarea directă în caolinit a „biotitului verde”, care se manifestă la marginica lamelor, pachetele desfășurîndu-se larg și dind, în secțiune, aspectul de evantai. Treccerea de la culoarea verde la incolor (caolinit) se face gradat. Oxizii de fier eliminări se concentrează uneori la suprafața plăcuțelor componente sau în interstițiile vermoizilor de caolinit; opacitizarea biotitului prin impregnarea cu oxizi sau prin simpla depunere a acestora pe fețele de clivaj.

De multe ori lamele de mice sunt despărțite și deplasate prin pătrunderea între ele a materialului din liant, argilă + oxizi sau caleit.

Feldspații sunt reprezentați, în probele analizate de noi, exclusiv prin microclin proaspăt, în granule colțuroase în genere sub 0,5 mm atingînd procentul maxim 9,5% într-o gresie (pl. IV, fig. 4), ceea ce împrină caracterul de gresie arkoziană.

Mineralele accesoriei, mai mult sau mai puțin denaturate de abraziune, sunt reprezentate în primul rînd prin turmalină verde, turmalină

galben-brună, rutil, zircon și foarte rar staurolit. Aceste accesorii ating uneori procente surprinzătoare ridicate (5,50% în proba de la Ohaba Peștera), indicând un grad redus de maturitate a sedimentului.

În concluzie, caracterele mineralogice apropiate acestei roci de tipul grauwacke-subgrauwacke, însă totală lipsă de granoclasare ca și caracterul lor continental ne conduc la o formare cu mult mai comprehensivă și mai simplă: „gresii și microconglomerate heterogene cu ciment argiloferuginos”.

2. Gresiile și microconglomeratele de la Fizești. Rocile au caracterul unor gresii cuarțoase grosiere, friabile cu treceri la porțiuni microconglomeratice. Studiul microscopic arată structuri ce conduc spre microbreccii și ortocuarțite. Este curioasă apariția gresiilor cuarțitice în această regiune într-un bazin de sedimentare a cărui arie de alimentare, alcătuită din roci cristalofiliene variate, cum este la cristalinul Sebeșului, cu atât mai mult eu că microconglomeratele asociate remaniază o variație gamă de roci metamorfice care le imprimă un caracter polimictic autentic.

Microbreccia este alcătuită din fragmente milimetrice și din granule psamitice grosiere și medii, colțuroase pînă la așchioase uneori avînd forme alungite, aproape rubanate și chiar filiforme. Aceste granule de forme neregulate se întrepătrund; între ele apar granule fine de cuarț ce se orientează pe anumite direcții, indicând zone de neoformăriune. Cimentul nu se recunoaște, ca atare, granulele aderind probabil datorată unor pelicule foarte fine de silice. Extincția ondulatorie prezintă o mare variație în modul de manifestare dînd impresia uneori a unor efecte optice de matăci și prezentând „dungiile lui Boehm”.

Microconglomeratele conțin fragmente de șisturi cristalofiliene, de dimensiuni milimetrice, bine rotunjite, între care se deosebesc în primul rînd cuarțite, urmate de șisturi cloritice blastodetritice, slab metamorfozate, de tipul șisturilor verzi piroclastogene, acestea conținind romboedri idiomorfi de sideroză și pîrîtă limonitizată periferie. În abundantul material granular, s-au recunoscut următoarele minerale: cuarț, albit proaspăt, microclin (granule mari, colțuroase, pătrunse de calcit pe fisuri sau elivaj), lame de muscovit indoite sau fracturate între granulele de cuarț. Cimentul conglomeratelor este calcitic și cu caracter de peliculă sau de umplere a porilor. În masa friabilă a acestor roci se găsesc uneori fragmente centimetrice de cărbuni. Prezența cărbunilor, lipsa de stratificare și caracterul litologic al formațiunii indică, și în acest caz, depunerea continentală în regim torrential.

B) Formațiunea cenomaniană

Depozitele aparținând Cenomanianului au fost examineate la confluența văii Văratecului cu pârâul Gruzoni, în aval de lentila de caolinit bauxitic descrisă, de la Fizești. Seria este alcătuitură dintr-o succesiune de gresii siltitice în bancuri centimetrice alternind cu șisturi grezoase și argiloase fosilifere, cu minuscule fragmente cărbunoase și prezintă numeroase falii și deranjamente tectonice rupturale locale. Gresiile fin șistoase au enloarea cenușiu-negricioasă și conțin mult material organodetritic. Alcătuirea variază în următoarele limite :

Detritus organic 30–40%
 Detritus mineral 30–50%
 Ciment calcaros 20–30%

Ele corespund astfel termenului de subgrauwacke calcaroase pînă la calcare grezoase.

Datorită procesului de autocimentare pe seama detritusului organogen, uneori între acești doi compoziți nu se poate face deosebirea. Materialul detritic mineral este reprezentat prin granule de quart psamitic fin, colțuros, prin muscovit și biotit în parte cloritizat. Detritusul organogen cuprinde resturi de alge calcaroase, de lamelibranhiate și de amoniți, în diferite grade de transformare diagenetică, precum și mici fragmente de țesuturi vegetale carbonificate. Între resturile organice au mai fost întlnite fragmente și uneori chiar schelete intregi de viermi serpulizi, forma *Humulus*, atestând vîrstă cenomaniană, ca și fragmentul de amonit (*Calicoceras* sp.) colectată cu aceeași ocazie (det. P. tru liu s).

Varietățile siltitice conțin muscovit și biotit mai mult sau mai puțin cloritizat cu separare de oxizi ferici sau transformat în hidrobiotit. Mineralele accesoriai, cu totul subordonate cantitativ, sunt magnetitul, rutitul, zirconul și granații. Masa argilo-siltitică a rocii este pigmentată de substanță organică (asociată poate cu hidrotroilitul).

BIBLIOGRAFIE

- Bushinsky B. I. (1964) Types of Karst bauxite deposits and their genesis. *Symp. Baux. Ox. Hydros. d'alum.* I. 1963, Zagreb.
- Gaillère S., S. Henin (1961 a) Sur les minéraux ferrifères des bauxites. *C.R. Acad. Sci. Fr.* 253, Paris.
- (1961 b) Préparation d'hydroxydes mixtes d'aluminium et de fer. *C.R. Acad. Sci. Fr.* 254, Paris.
- Combes P. J. (1960) Observations et interprétations nouvelles sur les bauxites de l'Arride (France). *Conf. int. géol. baux.* Budapest.

- Halavats J. (1897) Das Kricidegebiet von Olaba-Ponor. I.U.G.A.
- Kulbicki G., Vetter P. (1956) Sur la présence d'argiles bauxitiques dans le Stephanien de Decazeville. *C.R. Acad. Sci. Fr.* 240 Paris.
- Laufer F. (1924) Studiul geologic al imprejurimilor orașului Hațeg. *An. Inst. Geol. Rom.* X, 1921-1924, București.
- Lucas J. (1962) La transformation des minéraux argileux dans la sédimentation. Etude sur les argiles du Trais. *Mém. Serv. Carte Géol. Als.-Lor.* 23.
- Mamulea A. (1958) Studii geologice în regiunea Sînpetru-Pui (Bazinul Hațeg). *An. Com. Geol.* XXV, București.
- Millot R. (1964) Géologie des argiles. Ed. Masson et Cie. Paris.
- Murgeanu Gh., Patrulius D. (1960) Les formations mesozoïques de la Roumanie. *An. Inst. Geol. Hung.* 49/2, Budapest.
- Papiu V. Corvin (1970) Litologia calcarelor mezozoïce asociate bauxitelor din masivul Pădurea Crainului (Munții Apuseni). *D.S. Inst. Geol.* LVI/1 București.
- Silvia Minzatu, V. Iosof (1970) Asupra caracterelor petrologice ale bauxitelor din Munții Bihorului (regiunea văii Galbina). *D.S. Inst. Geol.* LVI/1. București.
- Schroll E., Sauer D. (1964) Ein Beitrag zur Geochemie der seltenen Elemente in Bauxiten. *Symp. Baux. ox. Hydrox. d'Alum.* I. Zagreb.
- Weisse G. De (1964) Bauxite latéritique et bauxite karstique. *Symp. Baux. Ox. Hydrox. d'Alum.* I. Zagreb.
- * * Guide d'excursions (1969) La géologie de bauxite de la montagne centrale de Transdanubie. *Conf. int. géol. baux.* Budapestia.

CONSTITUTION CHIMICO-MINÉRALOGIQUE DE LA FORMATION BAUXITIFÈRE DU BASSIN DE HATEG

(Résumé)

Les bauxites du bassin de Hațeg (Carpates méridionales-Roumanie) qui font l'objet de cette étude chimico-minéralogique appartiennent au type de bauxites karstiques : des dépôts d'âge aptien supérieur ou albien, cantonnés à la surface d'un paléokarst, creusé dans des calcaires jurassiques supérieurs et crétacés inférieurs en faciès urgonien. Le soubassement de la région est représenté par les schistes cristallophiliens de la série de Sebes. Nous avons déjà démontré, dans nos exposés antérieurs, que ces dépôts ont un caractère allochton, résultant de l'accumulation détrito-chimique d'un matériel bauxitique préexistant ou latéritiquement transporté et resédimenté sur le soubassement actuel. L'occurrence de ces roches est variée : elles sont associées avec des dépôts argilo-hématitiques à matériel détritique, presque exclusivement micacé ; l'horizon basal présente parfois de aspects locaux macroclastiques. Le toit de ces "complexes bauxitifères" est constitué de dépôts grésomicroconglomératiques rouges à liant argilo-hématifique qui passent localement à des zones de déferrisation grises ou verdâtres à quelques intercalations argilo-siltitiques. Ces dépôts qui ont protégé les complexes bauxitifères contre l'érosion continentale et marine en les recouvrant, ont résulté de la transgression cénonancienne.

La constitution lithologique de la formation varie dans le cadre des différents secteurs de la région. La structure est généralement caractérisée par un horizon basal argileux.



ou argilo-détritique, surmonté par l'horizon bauxitique moyen et par un autre horizon argileux, supérieur, recouverts à leur tour par les dépôts gréso-conglomératiques (secteur Poeni-Comarnic et Ohaba-Pestera). Quelquefois, la formation se réduit même à un ou deux horizons (secteur Murgoi); d'autres fois le schéma se complique par l'apparition des intercalations argileuses dans l'horizon bauxitique; il en résulte des associations à caractère plus ou moins rythmique (section Murgoi). Dans le secteur Fizești, les roches argilo-bauxitiques se disposent dans un horizon unique au-dessus des calcaires jurassiques. L'épaisseur totale des complexes bauxitifères varie de 1 ou 2 m jusqu'à 20 m dans le secteur Poeni Comarnic et de 1 jusqu'à 12 m dans le secteur Murgoi en fonction du relief du soubassement qu'ils moulent. À la base des complexes bauxitifères on trouve des calcaires jurassiques supérieurs et crétacés inférieurs. Du point de vue lithologique, les calcaires jurassiques sont représentés par des dépôts biocalcaréniques parfois très purs (jusqu'à des types de microcoquina), d'autres fois en mélange avec du matériel détritique calcaire et à intraclastes. Ils contiennent un très petit pourcentage de matériel argileux et d'accidents siliceux à caractères lithologiques: des calcaires siliceux jusqu'à de véritables chailles résultés des concentrations de radiolaires et de l'épizie de spongiaires.

Dans les fissures et sur les plans de séparation entre couches, à la limite avec la bauxite, on trouve dans la masse du calcaire des grès grossiers feldspathiques à ciment hématiflique que les auteurs tiennent pour un ancien limon karstique grossier introduit par les eaux d'infiltration.

Les calcaires urgoniens d'âge barrémien-bédoulien ont la texture massive, spécifique aux calcaires récifaux. Ces roches ont en général un caractère sous-récifal, étant constituées d'un riche détritus organique à apports de matériel calcaires pseudoolithique dans lequel la diagenèse a effacé, en différents degrés, la structure primaire.

Les stades les plus diagénétisés, sont représentés par des calcaires finement granulaire dans lesquels la structure primaire a été complètement effacée. Dans le cas où le matériel composant est grossier, les roches passent à des biocalcirlinites. Du tableau 1 il résulte que tant les calcaires jurassiques que surtout ceux urgoniens présentent une grande pureté chimique; les premiers indiquent plus de 1% SiO₂ qui peut être mis en corrélation avec les accidents siliceux et avec un petit apport initial d'argile, tandis que les seconds indiquent seulement „des traces“ de ces éléments.

Du point de vue macroscopique, les roches qui forment les complexes bauxitifères sont très ressemblantes bien que les termes extrêmes (argiles et bauxites) se distinguent nettement car entre ces termes existent toutes les stades intermédiaires de mélange. L'étude optique met en évidence une masse fondamentale rouge-griotte, parfois opaque et confuse, pigmentée avec de la hématite et où quelquefois s'individualisent des formes corpusculaires opaques à contours plus ou moins circulaires ou lobés, contournés par la kaolinite. Les fissures de contraction parfois concentriques sont aussi remplies par la kaolinite cryptocrystalline. L'augmentation de la teneur en kaolinite et les processus de déferrisation permettent surtout l'étude des roches argileuses qui présentent des structures cryptocrystallines. Contraire aux bauxites, dans ces roches on trouve de la muscovite détritique parfois à différents degrés de kaolinisation, processus qui se manifeste le long des plans de clivage (épitaxie). La teneur en biotite est tout à fait subordonnée; le minéral présente de différents degrés de chloritisation et kaolinisation. Les granules détritiques de rutile, de zircon et de tourmaline sont sporadiques. Les leptochlorites situées dans les fissures, l'anatase et la tourmaline de néoréformation sont des minéraux secondaires décélables au microscope.

Par l'étude chimico-minéralogique (DTA, rayons X) on a établi que les complexes bauxitifères du bassin de Hateg sont constitués de deux séries de composants à savoir:



les oxydes de la triade Al-Fe-Ti (caractéristiques pour les bauxites) et les minéraux du groupe de la kaolinite (spécifiques pour les argiles). Entre ces deux types extrêmes de roches il y a tous les mixtures possibles. Celles-ci sont représentées dans le tableau 6 (le chimisme) et le tableau 7 (la composition minéralogique de la série). Les oxydes de la triade sont exclusivement représentés par de la boéhmite, de la hématite (à formes pour différents degrés d'hydratation secondaire : la goethite, la limonite) et respectivement par de l'anathase de grande dispersion. Les minéraux argileux sont représentés par de la kaolinite, de la dickite (constituée sur le compte de la muscovite) et des chlorites ferrifères. La sidérose et la pyrite, secondaires, apparaissent tout à fait sporadiquement. De l'examen des figures 5, 6 et 7 il résulte le rapport direct entre le fer, l'aluminium et le titane d'une part, et d'autre part le rapport inverse entre ceux-ci et la silice (minéraux argileux) faits attribués au processus de séparation gravitationnelle dans le bassin de sédimentation. Il est à remarquer que la plupart des roches se situent dans le champ des bauxites ferrifères et à la limite des champs des argiles kaoliniques et des argiles hématitiques, à environ 35% hématite pour les bauxites et 20% hématite pour les argiles. La teneur maximum des bauxites en boéhmite est de 63%, en kaolinite de 75% et en dickite de 89%. Exceptionnellement, la kaolinite apparaît presque pure à la basac de la série à Murgoi, en englobant des fragments détritiques de bauxite. Il est à remarquer la composition chimique minéralogique très simple des bauxites de Hatęg par rapport aux bauxites autochtones du massif de Pădurea Craiului (monts Apuseni).

L'étude spectrographique a conduit aux conclusions suivantes : les bauxites et les roches argileuses contiennent des pourcentages analogues de Be, Cu, Ga, Sr ; les bauxites sont plus riches en Ni, Co, V, Zn, Sn, Ga et les roches argileuses en Ba, K (de la muscovite) et Cr (à l'exception que dans les bauxites du secteur Comarnic, le pourcentage de cet élément est double). Le Mg et le Li présentent de grandes fluctuations, les moindres pourcentages étant enregistrés dans le secteur Murgoi (ou l'on trouve aussi des quantités minimums de Fe²⁺ et K).

Les argiles exogènes, infiltrées dans les complexes contiennent des pourcentages maximums de Ga, Mg et Ba ; du point de vue minéralogique, elles contiennent de la kaolinite, de la dickite, des oxydes ferriques, du quartz et de la muscovite, et sont dépourvues d'aluminium libre.

Les grès et les microconglomérats qui recouvrent le complexe bauxitique sont des dépôts continentaux à degré réduit de maturité et dépourvus de classement granulométrique. Ils sont constitués de minéraux spécifiques à la série métamorphique de Sebeș (carpathes méridionales) : quartz (au-dessous de 50%), microcline, biotite, muscovite et subordonnément de grands pourcentages de minéraux lourds accessoires (zircone, rutile, tourmaline), ainsi que de fragments arrondis de schistes cristallophiliens. Du point de vue lithologique ces roches peuvent être dénommées grès feldspathiques hétérogènes à liant argilo-hématitique. La matrice est pour la plupart hématitique associée, tout aussi que les argiles de la série subjacente, à la kaolinite, la dickite et à l'anathase ; la boéhmite est absente. Il est à noter les alternances ou les passages entre les grès hématitiques et celles grisâtres, qui parfois forment des horizons indépendants. Ces derniers résultent des grès hématitiques par la défermentation de la matrice sous l'action des solutions réductrices exogènes, avec du matériel organique (on trouve sporadiquement des fragments de charbons). Dans la région Șilești, ces dépôts sont remplacés par des grès et des brèches grises quartzitiques continentales (des accumulations torrentielles).

PLANŞA I

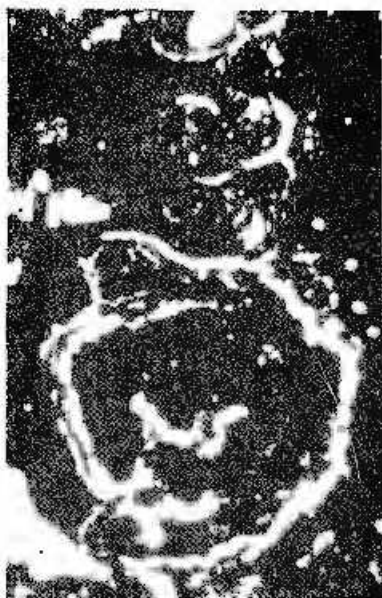


Institutul Geologic al României

PLANŞA I

- Fig. 1. — Fisuri de contracție circulară în bauxită visinie, compactă. 80.X. NII
Fissures de contraction circulaire en bauxite gratté, compacte. 80.X NII
- Fig. 2. — Fisuri în rețea, umplute cu caolinit. Sectorul Ohaba-Ponor-Murgoi. 40. X. XII
Fissures en réseau, remplies de kaolinite. Secteur Ohaba-Ponor Murgoi. 40. X. XII
- Fig. 3. — Bauxită constituită din corpusculi sferici, ovali lobati, cu liant caolinitic. Sectorul Căpriori. 35. X. NII
Bauxite constituée de corpuscules sphériques, ovales, lobés, à liant kaolinétique, Secteur Căpriori. 35. X. NII
- Fig. 4. — Bauxită cu liant caolinitic cimentind corpusculii feruginoși. Secțiunile Baru Mare, D. Stînghele. 40 X. NII
Bauxite à liant kaolinétique qui cimente les corpuscules ferrugineux. Secteur Baru Mare, D. Stînghele. 40 X. NII.

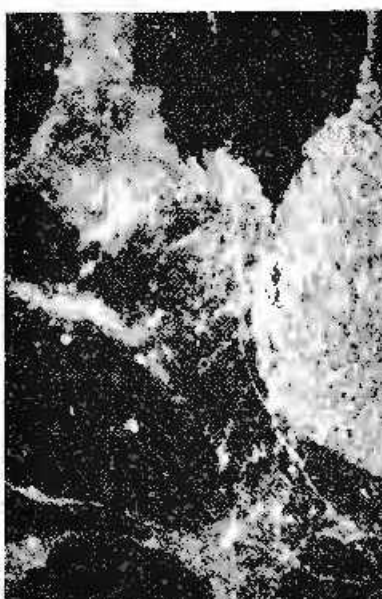




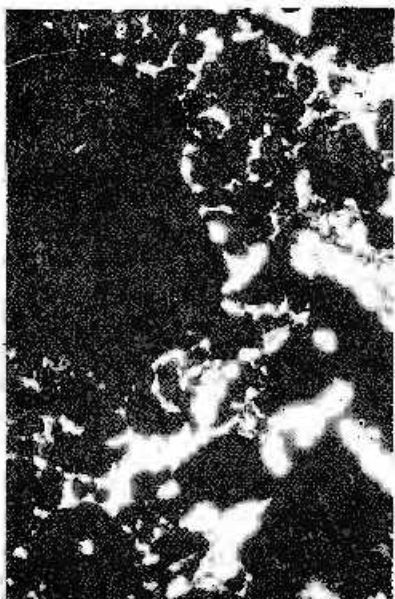
1



2



3

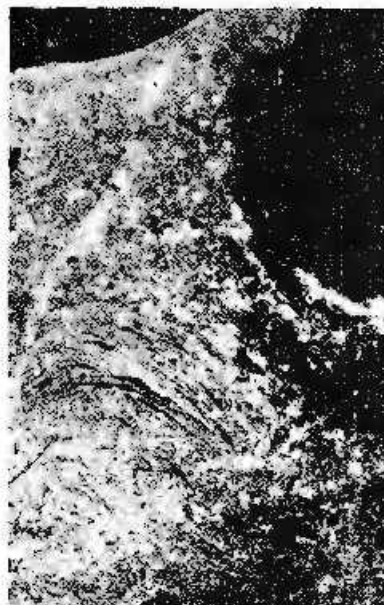


4

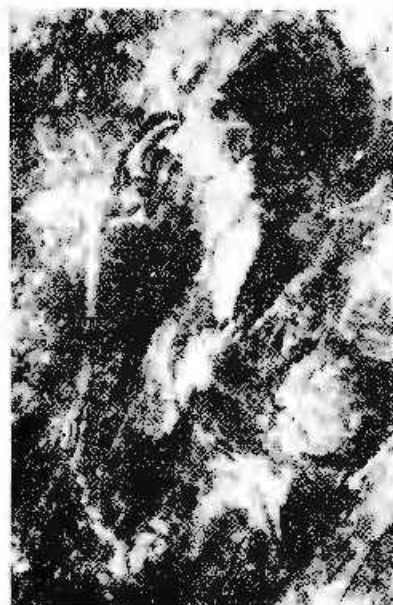
PLANŞA II

- Fig. 1. — Bauxită deferizată. Corpuscule feruginoși sunt prisă în hantul caolinos feruginos care prin deferizare evidențiază caracterul colomorf. Sectorul Găpriori 15 X, NII
Bauxite déferrisée. Corpuscules ferrugineux sont enveloppés dans le hant caolinique-ferrugineux qui, par déferrisation, met en évidence le caractère colomorphe. Secteur Găpriori, 15 X, NII
- Fig. 2. — Proces de deferizare cu aspect nebuloz și aspect caolinit hematitic. 10 X, NII
Processus de déferrisation à aspect nébuleux et aspect kaolinite hématitique. 10 X, NII
- Fig. 3. — Bauxită deferizată, albă, în care se remarcă concentrații de hematit acicular cu aspect dendritic. Sectorul Fizești, 45 X, XII
Bauxite déferrisée, blanche, dans laquelle on remarque des concentrations de hématite aciculaire à aspect dendritique. Secteur Fizești, 45 X, XII
- Fig. 4. — Bauxită deferizată având relictice aciculare ce ilmenit (?) în zonă incomplet deferizată, în mezostaza de caolinit criptocristalin se remarcă individualizările de vermoizi de caolinit I, acele de ilmenit - K, vermid de caolinit. Sectorul Găpriori, 100 X, NII
Bauxite déferrisée à reliques aciculaires d'ilménite (?) dans les zones incomplètement déferrisées. Dans la mésostase de kaolinite cryptocréallin on remarque de individualisations de vermicelles de knolluite, I, nœuds d'ilménite; K, vermod de kaolinite. Secteur Găpriori, 100 X, NII

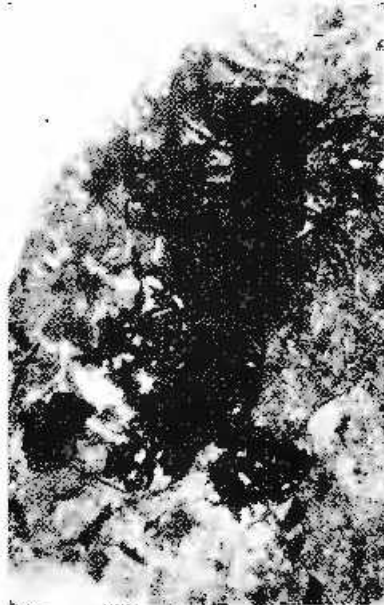




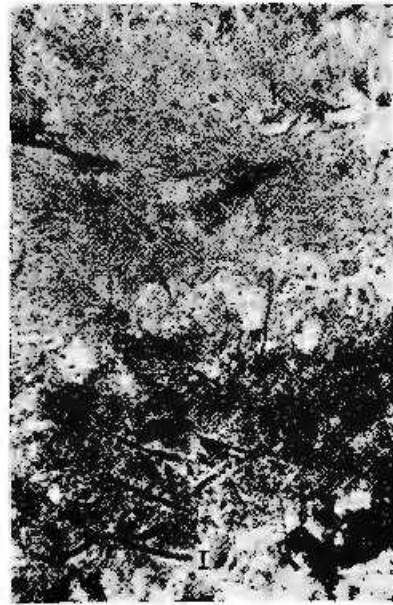
1



2



3



4

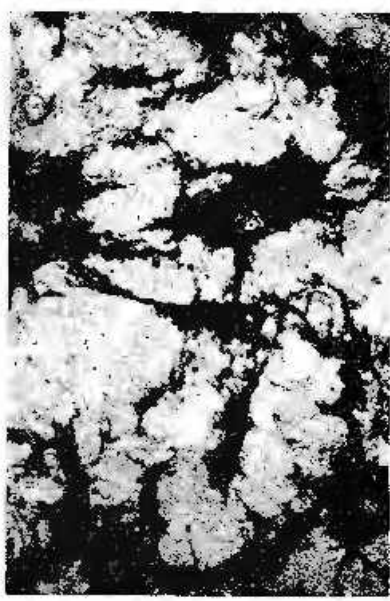
PLANŞA III

- Fig. 1. — Caoilinit vermiciform în bauxită. Sectorul Ohaba Ponor-Murgoi, liniș 30, 40 X, N + Kaolinițe vermiciforme dans la bauxite. Secteur Ohaba Ponor-Murgoi, Plaç 30, 40 X, N ;
- Fig. 2. — Agregate de caoilinit criptocristalin pînă la cristaline în caoilinit hematitic, 45 X, NII
Aggrégats de kaoliniète cryptocrystalline jusqu'à cristallines dans la kaoliniète hématitique, 45 X, NII.
- Fig. 3. — Turmalină autigenă (T) în bauxită. Sectorul Peștera-Ohaba, 200 X, NII
Tourmaline autigène (T) dans la bauxite. Secteur Peștera Ohaba, 200 X, NII
- Fig. 4. . . Turmalină detritică în rochă argilo-bauxitică cu incluziuni: R, rutile; A, apatit. Sectorul Ohaba Ponor N, 30 X, NII
Tourmaline détritique dans une roche argilo-bauxitique à inclusions : R, rutile; A, apatite. Secteur Ohaba Ponor N, 30 X, NII

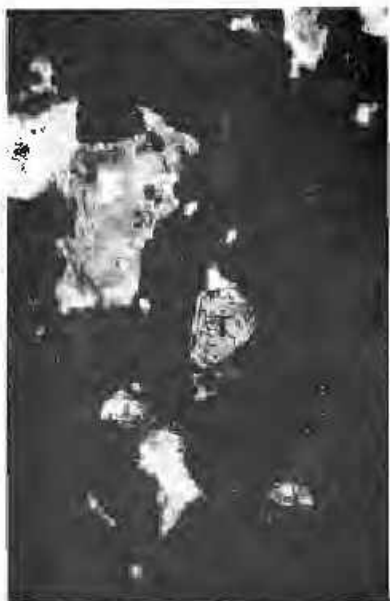




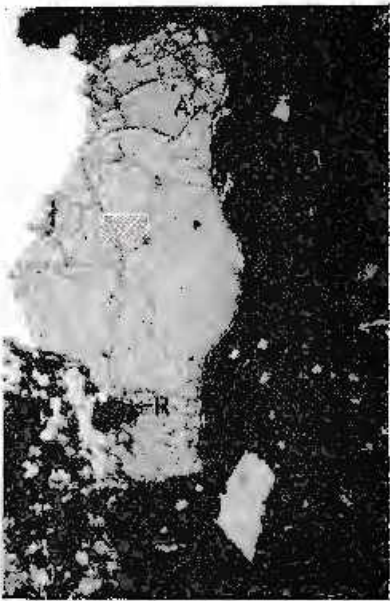
1



2



3



4

PLANSĂ IV

- Fig. 1. — Muscovit (Liidromuscovit) în curs de caolinizare, cu marginea umflată, deformată, în evantai. Valea Dreptului, 230 X, NII
Muscovite (hydromuscovite) en train de kaolinisation, à bordure gonflée, en évan-tail. Vallée Dreptului, 230 X, NII
- Fig. 2. — Muscovit cu material opac-feruginos însinuat pe planele de clivaj și cu extremitățile deformate și transformate în kaoliniță (K). Sectorul Murgoi, dealul Robului, 100 X, NII
Muscovite à matériel opaque-ferragineux insinué dans les plans de clivage ayant les extrémités déformées et transformées en kaoliniète (K). Secteur Murgoi, colline Robului, 100 X, NII
- Fig. 3. — Muscovit detritic relief prim în masa de caoliniță secundară. M, Muscovit; K, kao-linită. Sectorul Murgoi, 40, X, NII
Muscovite détritique relique enlevées par la masse de kaoliniète secondaire. M, Muscovite; K, kaoliniète. Secteur Murgoi, 40 X, NII
- Fig. 4. — Alternanță de microzoni de gresii arkoziene cu zone compacte feruginouse, în partea bazală a lentiile de roci bauxitice. Affuentul stâng al văii Peștera Ohaba, 50 X, NII
Alternance de microzones de grès arkosiques avec des zones compactes ferrugi-noses dans la partie basale de la lentille de roches bauxitiques. Affluent de gauche de la vallée Peștera Ohaba, 50 X, NII

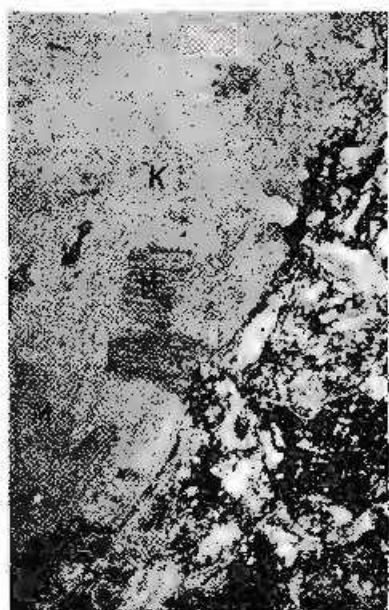




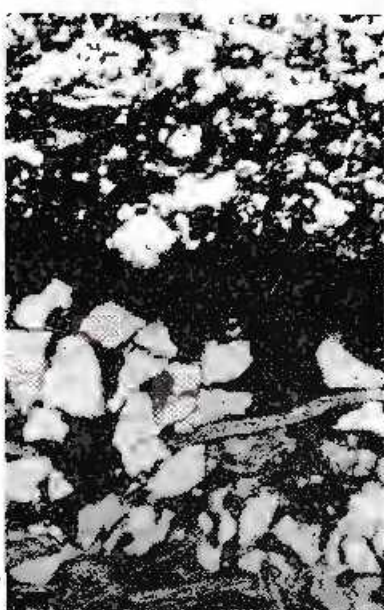
1



2



3

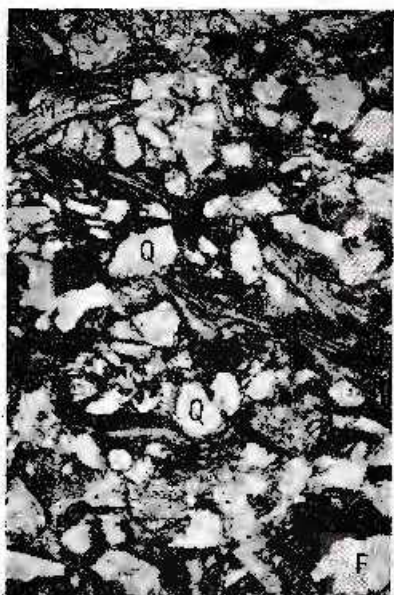


4

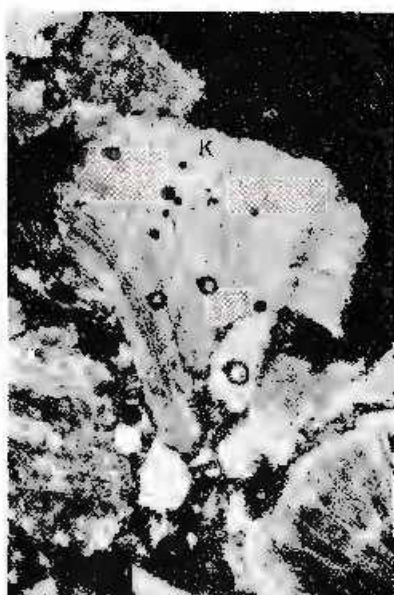
PLANSA V

- Fig. 1. Gresie verde cenușie de la partea superioară a complexului bauxitic. Q, quarz; F, microclin; M, muscovit; C, clorit; 40 X, XII
Grès vert-grisâtre de la partie supérieure du complexe bauxitique. Q, quartz; F microcline; M, muscovite; C, chlorite; 40 X, XII
- Fig. 2. Pachet de biotit decolorat, în formă de evantai, transformat la periferie în kaolinit (K), la contactul cu o argilă bauxitică și o gresie ferruginoasă. Sectorul Comaruie - Poieni, 40 X, XII
Paquet de biotite décolorée, en éventail, transformée à la périphérie en kaolinite (K), au contact d'une argile bauxitique avec un grès ferrugineux. Secteur Comaruie - Poieni, 40 X, XII
- Fig. 3. Biotit decolorat, pat verzu, cu ace de rulît pe față (001), într-o gresie caolinică hematitică. Sectorul Murgoi-Sau, 100 X, XII
Biotite décolorée, verte pâle, à aiguilles de rutil sur la face (001), dans un grès kaolinique-hématifique. Secteur Murgoi-Sau, 100 X, XII
- Fig. 4.— Zircon (Z) în bauxită caolinică. Sectorul Ohaba-Ponor-Murgoi, 100 X, XII
Zircon (Z) en bauxite kaolinique. Secteur Ohaba-Ponor Murgoi, 100 X, XII

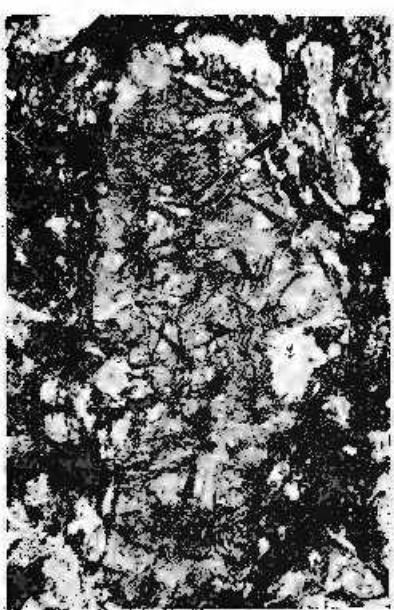




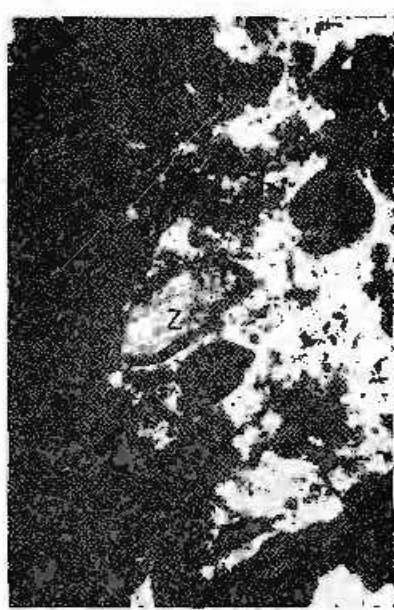
1



2

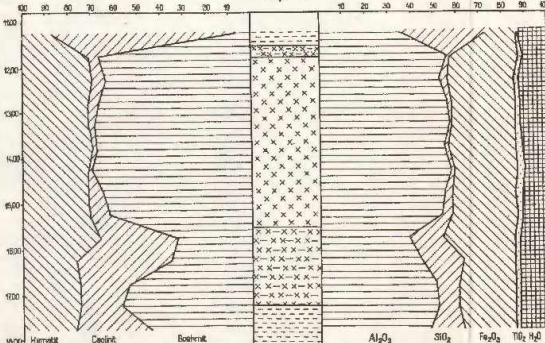


3

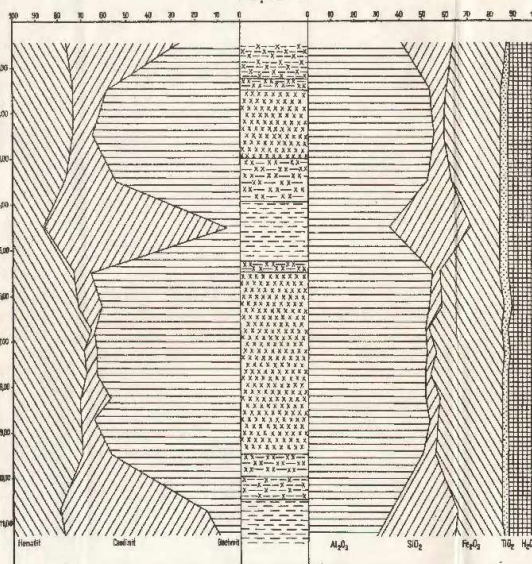


4

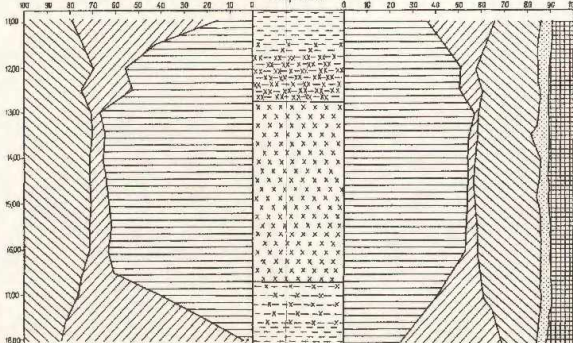
PUTUL 8



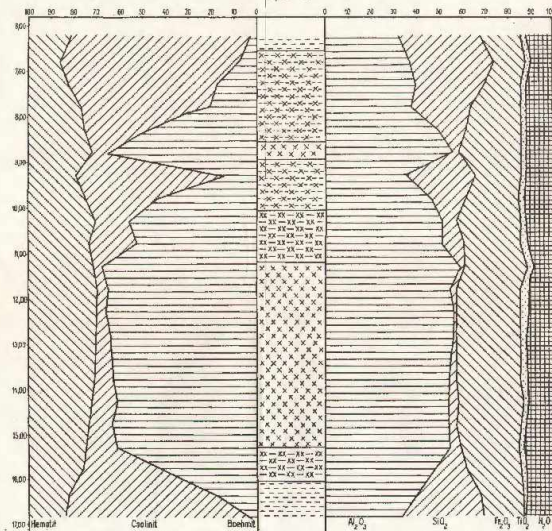
PUTUL 22



PUTUL 5



PUTUL 37



LEGENDA

$\square \times \square$ Bisanite $\square \times \square$ Bisanite argonitice $\square - \square$ Argite însoțitoare $\square - \square$ Argite

La série entière est recouverte par la formation argilo-détritique transgressive d'âge cénomanien où l'on remarque la stratification rythmique et, lithologiquement, le caractère sub-grauwake. Les dépôts cénomaniens sont fossilifères (*Gallicoceras sp.*, *Humulius*) et contiennent de minuscules fragments charbonneux.

EXPLICATIA PLANSET

Planche VI

Fig. 1. — Puits 8, échelle 1:50

Fig. 2. — Puits 5, échelle 1:50

Fig. 3. — Puits 22, échelle 1:50

Fig. 4. — Puits 37, échelle 1:50

Légende : 1, bauxites ; 2, bauxites argileuses ; 3, argiles bauxitiques ; 4, argiles.



C U P R I N S

ZĂCĂMINTE

	Pug.
1. Ianovici V., Dimitriu A.I., Andăr P. Considerații chimico-statistice asupra genezei mineralizației de la Altin Tepe	5
2. Ianovici V., Silaș L. Determinarea conținutului mediu în compoziții utile a rezervelor de substanțe minerale utile în funcție de legea de distribuție a elementelor chimice în zăcăminte	15
3. Kisgyörgy Z. Despre un proces de eroziune în complexul cărbunos de la mina Vîrghiș (bazinul Baraolt)	31
4. Mușat A.I., Vasilescu Olympia, Vancea Șt. Considerații petrografice și geochimice asupra unor mineralizații de sulfuri polimetale din regiunea Mestecăniș-Fărăoane, Munții Bistriței (Carpații Orientali)	59
5. Papiu V. Corvin, Minzatu Silvia, Iosof V. Geneza formațiunii bauxitifere din bazinul Hațegului	53
6. Papiu V. Corvin, Minzatu Silvia, Iosof V., Udrescu Constanța, Giușcă R. Aleașuirea chimico-mineralologică a formațiunii bauxitifere din bazinul Hațegului	77



CONTENU

(Résumés)

GISEMENTS

	<u>Page</u>
1. Ianovici V., Dimitriu A.I., Andăr P. Considérations chimiques statistiques sur la genèse de la minéralisation d'Altin Tepe	12
2. Ianovici V., Silaș I. Determination of the Average Content of Valuable Components in the Reserves of Minerals Accordingly to the Distribution Law of Chemical Elements in Ore Deposits	27
3. Kisgyörgy Z. Concernant le processus d'érosion dans le complexe charbonneux de la mine Virghiș (bassin de Baraolt)	37
4. Mușat A.I., Vasilescu Olympia, Vancea Șt. Considérations pétrographiques et géochimiques sur quelques minéralisations de sulfures polymétalliques de la région Mestecăniș-Fărăoane, monts Bistriței (Carpates Orientales) . . .	50
5. Papiu V. Corvin, Minzatu Silvia, Iosof V. Genèse de la formation bauxitifère du bassin Hațegului	73
6. Papiu V. Corvin, Minzatu Silvia, Iosof V., Udrescu Constanța, Giușcă R. Constitution chimico-minéralogique de la formation bauxitifère du bassin de Hațeg	120

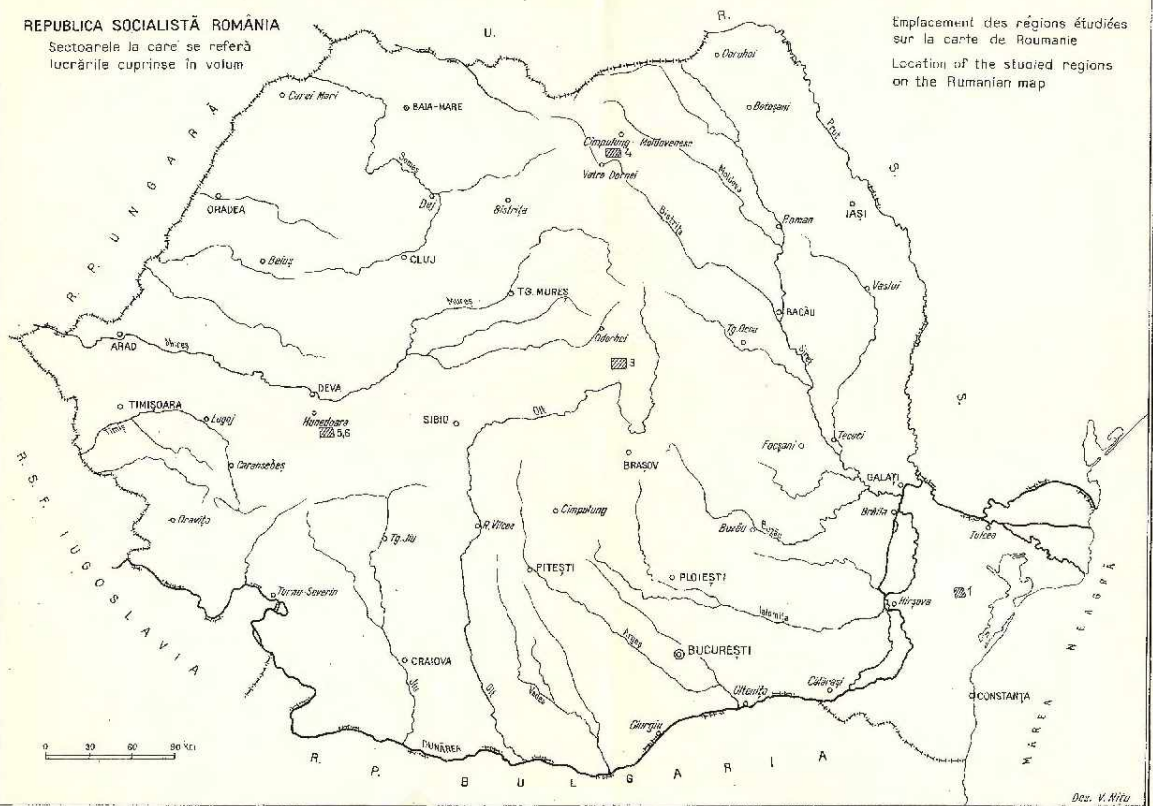




Institutul Geologic al României

REPUBLICA SOCIALISTĂ ROMÂNIA

Sectoarele la care se referă lucrările cuprinse în volum



Emplacement des régions étudiées sur la carte de Roumanie

Redactor: MARGARETA PELTZ
Tehnoredactor și corrector: OVIDIU RINAAT
Traduceri: MARGARETA HÂRJEU, FLORIN CHIUTU
Illustrația: VIRGIL NITU

Dat la editare; an. 1971. Bani de tipar; tiraj 1571. Tiraj; 1000 ex. Hărți
scris 1A. Format 70 x 100/56 g. Culoare tipar; 3. Comanda; 1033. Pe fundal
bibliotecă indicată să clasificare; 55(053).

Intreprinderea poligrafică „Informația” str. Brașovianu 28-29, București.

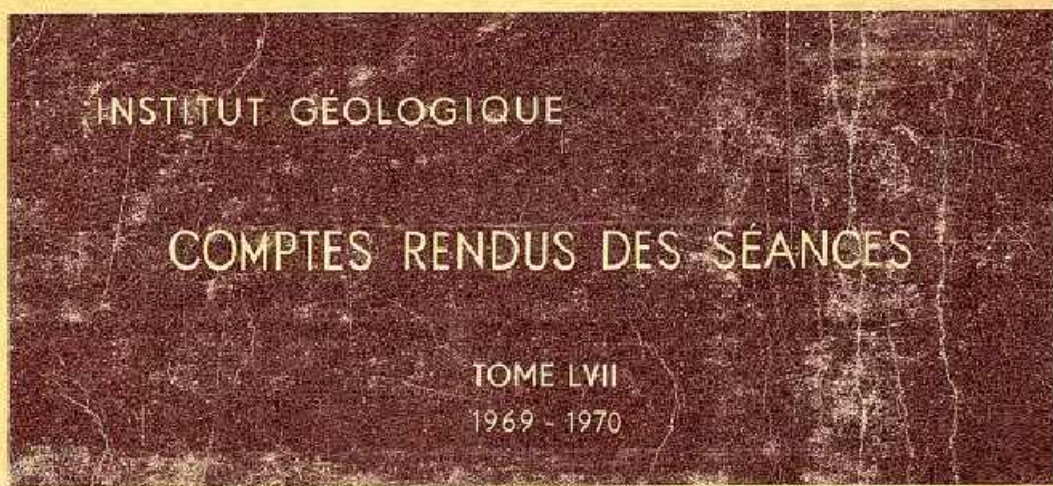


Institutul Geologic al României

**Responsabilitatea asupra conținutului articolelor
revine în exclusivitate autorilor**



Institutul Geologic al României



2. GIEMENTS



Institutul Geologic al României